

Министерство образования и науки Российской Федерации  
ФЕДЕРАЛЬНОЕ ГОСУДАРСТВЕННОЕ БЮДЖЕТНОЕ ОБРАЗОВАТЕЛЬНОЕ  
УЧРЕЖДЕНИЕ ВЫСШЕГО ПРОФЕССИОНАЛЬНОГО ОБРАЗОВАНИЯ  
РОССИЙСКИЙ ГОСУДАРСТВЕННЫЙ ГИДРОМЕТЕОРОЛОГИЧЕСКИЙ УНИВЕРСИТЕТ

Т.Г. Андреева

МАТЕМАТИКА:  
СПЕЦИАЛЬНЫЕ ФУНКЦИИ И  
НЕКОТОРЫЕ ПРИЛОЖЕНИЯ

Учебное пособие



Санкт-Петербург  
2013

**УДК 556.557**

Андреева Т.Г. Математика: Специальные функции и некоторые приложения. – СПб.: РГГМУ, 2013. – 102 с.

**ISBN 978-5-86813-367-1**

*Рецензент:* В.К. Рябчук, д-р физ.-мат. наук, проф. физ. фак-та СПбГУ.

В учебном пособии излагаются основы теории специальных функций, наиболее часто встречающихся в физико-математических дисциплинах.

Пособие предназначено для студентов и аспирантов РГГМУ, изучающих математическую физику и дифференциальные уравнения.

Andreeva T.G. Mathematics: Special functions and some applications.  
St. Petersburg: RSHU, 2013. – 102 pp.

In this tutorial describe basic foundation of theory special function. This functions more particularly used by research people in physico-mathematical disciplines.

The tutorial assign (purpose) for students and graduate student RSHU which investigate mathematical physics and differential equations.

**ISBN 978-5-86813-367-1**

© Андреева Т.Г., 2013

© Российский государственный гидрометеорологический университет (РГГМУ), 2013

## **Содержание**

Введение . . . . .	5
Глава 1. Специальные функции . . . . .	6
§ 1. Понятие о дельта-функции. Единичная функция . . . . .	6
§ 2. Интегральные функции . . . . .	9
2.1. Интегральная показательная функция . . . . .	9
2.2. Интегральный логарифм . . . . .	10
2.3. Интегральный синус . . . . .	11
2.4. Интегральный косинус . . . . .	11
2.5. Интеграл ошибок . . . . .	12
2.6. Интеграл вероятности (функция Лапласа) . . . . .	13
2.7. Синус- и косинус-интегралы Френеля . . . . .	14
§ 3. Гамма-функция. Бета-функция . . . . .	16
§ 4. Цилиндрические функции . . . . .	21
4.1. Функции Бесселя 1-го рода . . . . .	21
4.2. Функции Бесселя 1-го рода с целыми индексами . . . . .	24
4.3. Функции Бесселя 2-го и 3-го рода . . . . .	26
4.4. Функции Бесселя 3-го рода . . . . .	26
4.5. Асимптотика . . . . .	27
4.6. Функции Бесселя с полуцелым индексом . . . . .	27
4.7. Рекуррентные соотношения . . . . .	28
4.8. Обобщённое уравнение Бесселя . . . . .	30
4.9. Модифицированные функции Бесселя . . . . .	31
4.10. Ортогональность функций Бесселя . . . . .	34
§ 5. Ортогональные полиномы . . . . .	38
5.1. Уравнение Лежандра. Полиномы Лежандра . . . . .	38
5.2. Присоединённые полиномы Лежандра . . . . .	43
5.3. Полиномы Чебышева . . . . .	45
5.4. Полиномы Лагерра . . . . .	48
5.5. Полиномы Эрмита . . . . .	50
§ 6. Сферические функции . . . . .	51
Глава 2. Некоторые примеры из математической физики . . . . .	55
§ 1. Уравнение Лапласа в цилиндре . . . . .	55
§ 2. Уравнение Лапласа в шаре . . . . .	61
§ 3. Уравнение Гельмгольца в шаре . . . . .	67
§ 4. Некоторые задачи дифракции и рассеяния . . . . .	77
Глава 3. Ортогональные ряды . . . . .	84
§ 1. Скалярное произведение и норма в функциональном пространстве . . . . .	84
§ 2. Базисы в функциональных пространствах. Ряды Фурье . . . . .	86
§ 3. Ортогональные системы . . . . .	90
§ 4. Применение ортогональных рядов для решения дифференциальных уравнений . . . . .	97
Литература . . . . .	101

## **Contents**

Introduction . . . . .	5
Chapter I. Special functions . . . . .	6
§ 1. Delta-function. Unit function . . . . .	6
§ 2. Integral functions . . . . .	9
2.1. Exponential integral . . . . .	9
2.2. Integral Logarithmic function . . . . .	10
2.3. Integral sine . . . . .	11
2.4. Integral cosine . . . . .	11
2.5. Error integral . . . . .	12
2.6. Probability integral (Laplace function) . . . . .	13
2.7. Sine and Cosine-Fresnel Integrals . . . . .	14
§ 3. Gamma-function. Beta-function . . . . .	16
§ 4. Cylindrical functions . . . . .	21
4.1. Bessel functions of the first kind . . . . .	21
4.2. Bessel functions of the first kind with integer index . . . . .	24
4.3. Bessel functions of the second and third kind . . . . .	26
4.4. Bessel functions of third kind . . . . .	26
4.5. Asymptotic form . . . . .	27
4.6. Bessel functions with semi-integer index . . . . .	27
4.7. Recurrence relations . . . . .	28
4.8. Generalized Bessel equation . . . . .	30
4.9. Modified Bessel functions . . . . .	31
4.10. Orthogonality Bessel functions . . . . .	34
§ 5. Orthogonal polynomials . . . . .	38
5.1. Legendre equation. Legendre polynomials . . . . .	38
5.2. Associated Legendre polynomials . . . . .	43
5.3. Chebyshev polynomials . . . . .	45
5.4. Laguerre polynomials . . . . .	48
5.5. Hermitian polynomials . . . . .	50
§ 6. Spherical functions . . . . .	51
Chapter II. Some examples of mathematical physics . . . . .	55
§ 1. Laplace`s equation in cylinder . . . . .	55
§ 2. Laplace`s equation in sphere (ball) . . . . .	61
§ 3. Helmholtz equation in sphere (ball) . . . . .	67
§ 4. Some applications to the theory of diffraction and scattering . . . . .	77
Chapter III. Orthogonal series . . . . .	84
§ 1. Inner product and norm in the functional space . . . . .	84
§ 2. Basis in the functional space. Fourier series . . . . .	86
§ 3. Orthogonal function systems . . . . .	90
§ 4. Application orthogonal series for solve differential equations . . . . .	97
Literature . . . . .	101

## Введение

В данном пособии излагаются основы наиболее часто встречающихся специальных функций, к которым приходится обращаться при решении различных физических задач.

Материал пособия представляет необходимый минимум по данной тематике и приближается к краткому справочному пособию.

К специальным функциям приводит решение таких задач, как например, поглощение и отражение акустических или электромагнитных волн, распределение газовых или аэрозольных компонентов в среде, тепловое излучение объектов, а также обработка результатов измерений методами математической статистики.

Пособие состоит из трёх глав. В первой главе рассмотрены основные специальные функции и их свойства. Представлены графики функций, которые получены в пакете MathCAD. Во второй главе иллюстрируется применение функций для решения некоторых классических уравнений математической физики. В третьей главе изложены основные понятия рядов Фурье, используемых для представления решений краевых задач. В конце каждой главы предлагаются различные упражнения, на основные из них даётся ответ.

Выбор приложений в пособии имеет целью проиллюстрировать применение специальных функций и не ставит задачей дать подробное освещение соответствующих разделов математической физики.

Данное пособие представляет собой краткий обзор основных специальных функций и предназначено для студентов старших курсов и аспирантов РГГМУ, которые работают в области физико-математических дисциплин.

Подробно специальные функции и их свойства изложены, в частности, в [1] – [11].

Список дополнительной литературы представляет монографии по математической физике, где можно найти многочисленные примеры с использованием специальных функций.

## Глава 1. СПЕЦИАЛЬНЫЕ ФУНКЦИИ

### § 1. Понятие о дельта-функции. Единичная функция

Дельта-функция (функция Дирака)  $\delta(x)$ , так же, как и единичная функция (функция Хевисайда)  $\mathbf{1}(x)$ , относится к так называемым символическим, или обобщенным, функциям и не является функцией в обычном смысле.

Не давая строгого математического определения, под обобщенной функцией будем понимать предельный элемент последовательности семейства непрерывных функций. Этот предельный элемент может не принадлежать классу рассматриваемых функций.

Введение дельта-функции дает возможность использовать ее как удобную математическую модель для описания сосредоточенных величин, таких как, например, точечная масса, точечный заряд, точечный источник тепла и т.д. Имеются в виду явления, описываемые функциями, равными нулю всюду, кроме промежутка очень малой длины, а в этом промежутке принимающие очень большие значения.

Функция  $\delta(x)$  может быть многими способами представлена в виде некоторого предела дельта-образных функций, например:

а) дифференцируемыми функциями:

$$\delta(x) = \frac{1}{\pi} \lim_{n \rightarrow \infty} \frac{\sin nx}{x};$$

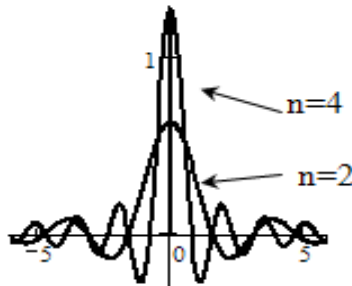


Рис. 1

б) ступенчатыми функциями:

$$\delta(x) = \lim_{\varepsilon \rightarrow 0} \delta_\varepsilon(x), \text{ где } \delta_\varepsilon(x) = \begin{cases} 0, & |x| > \varepsilon \\ \frac{1}{2\varepsilon}, & |x| \leq \varepsilon \end{cases}.$$

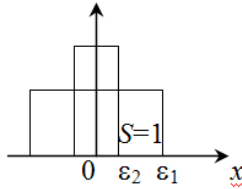


Рис. 2

Основания прямоугольников уменьшаются при  $\varepsilon \rightarrow 0$ , а высоты  $\frac{1}{2\varepsilon}$  увеличиваются так, что площади  $S$  всех прямоугольников равны 1.

Дельта-функцию можно аппроксимировать и разрывными функциями.

$\delta$ -функция обладает следующими свойствами:

1.  $\delta$ -функция ставит в соответствие всякой непрерывной функции  $f(x)$  её значение в точке  $x = 0$ , являясь ядром интегрального оператора.

$$\int_{-\infty}^{\infty} f(x)\delta(x)dx = f(0), \quad (1.1)$$

2. Выполняется условие нормировки:

$$\int_{-\infty}^{\infty} \delta(x)dx = 1. \quad (1.2)$$

3. Функция  $\delta(x) = 0$  всюду, кроме  $x = 0$ , где она становится бесконечной и притом такой, что выполняется условие (1.2). Поэтому формально можно записать

$$\delta(x) = \begin{cases} 0, & x \neq 0 \\ \infty, & x = 0 \end{cases}. \quad (1.3)$$

4. Аналогично, для смещённой дельта-функции  $\delta(x - x_0)$  выполняется

$$\int_{-\infty}^{\infty} f(x)\delta(x-x_0)dx = f(x_0). \quad (1.4)$$

Формальная запись:  $\delta(x-x_0) = \begin{cases} 0, & x \neq x_0 \\ \infty, & x = x_0 \end{cases}$ .

Условие нормировки:  $\int_{-\infty}^{\infty} \delta(x-x_0)dx = 1$ .

5.  $\delta(-x) = \delta(x)$ , — четная функция,  $\delta(x-x_0) = \delta(x_0-x)$ .

6.  $\delta(\alpha x) = \frac{1}{|\alpha|} \delta(x)$ .

7.  $\delta'(x) = -\delta'(-x) = -\frac{1}{x} \delta(x)$ ,  $\delta''(x) = \frac{2}{x^2} \delta(x)$ .

8.  $\int_{-\infty}^{\infty} f(x)\delta'(x-x_0)dx = -f'(x_0)$ , если  $f'(x)$  непрерывна в точке

$x = x_0$ .

9. Справедливо следующее формальное соотношение:

$$\delta(x-x_0) = \frac{1}{2} \frac{\partial^2}{\partial x^2} |x-x_0|.$$

10.  $\delta$ -функция представима интегралом Фурье:

$$\delta(x) = \frac{1}{2\pi} \int_{-\infty}^{\infty} e^{i\omega x} d\omega, \text{ откуда } \int_{-\infty}^{\infty} e^{i\omega x} d\omega = 2\pi\delta(x).$$

10. Связь  $\delta(x)$  с единичной функцией.

Единичная функция  $\mathbf{1}(x)$ , или функция Хевисайда, определяется равенством:

$$\mathbf{1}(x) = \begin{cases} 0 & x < 0 \\ 1 & x > 0 \end{cases}.$$

При  $x = 0$  функция имеет разрыв 1-го рода, причём значение  $\mathbf{1}(0)$  не определено. Однако могут быть и другие определения  $\mathbf{1}(x)$  при  $x = 0$ , например,  $\mathbf{1}(0) = 1$  или  $\mathbf{1}(0) = 0$ . Выбор того или иного определения  $\mathbf{1}(0)$  зависит от конкретной задачи.



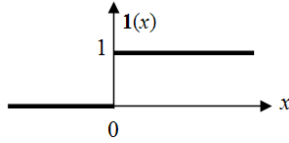


Рис. 3

Смещённая единичная функция:

$$\mathbf{1}(x - x_0) = \begin{cases} 0 & x < x_0 \\ 1 & x > x_0 \end{cases}. \quad (1.5)$$

Производная от единичной функции есть дельта-функция:

$$\mathbf{1}'(x) = \delta(x).$$

**Пример.**  $\int_{-1}^2 \sin x \delta(x - \frac{\pi}{6}) dx = \sin\left(\frac{\pi}{6}\right) = \frac{1}{2}.$

## § 2. Интегральные функции

В приложениях часто встречаются функции, интегралы от которых не выражаются конечным числом элементарных функций.

### 2.1. Интегральная показательная функция $Ei(x)$

Интегральная показательная функция определяется формулой

$$Ei(x) = \int_{-\infty}^x \frac{e^t}{t} dt, \quad x < 0. \quad (2.1)$$

Здесь  $x$  – аргумент,  $t$  – переменная интегрирования,  $t = 0$  – особая точка подынтегральной функции. Интеграл сходится при  $x < 0$ .

С в о й с т в а  $Ei(x)$ .

1.  $Ei(-\infty) = 0$ ,  $Ei(0) = -\infty$ .
2.  $Ei(x)$  представляется степенным рядом

$$Ei(x) = \gamma + \ln(-x) + \sum_{n=1}^{\infty} \frac{x^n}{n!n}, \quad x < 0,$$

число  $\gamma = 0,577\dots$  – постоянная Эйлера (см. § 3).

3. Иногда используют вспомогательную функцию  $E1(x)$ :

$$E1(x) = -Ei(-x) = \int_x^{\infty} \frac{e^{-t}}{t} dt, \text{ интеграл сходится при } x > 0.$$

4. Графики  $Ei(x)$  и  $E1(x)$ :

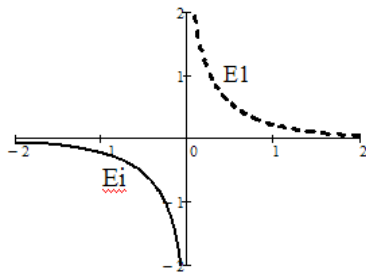


Рис. 4

## 2.2. Интегральный логарифм $Li(x)$

Интегральный логарифм определяется формулой

$$Li(x) = \int_0^x \frac{dt}{\ln t}, \quad x > 0. \quad (2.2)$$

При  $x = 1$  функция  $Li(x)$  обращается в минус бесконечность, а при  $x > 1$  интеграл понимается в смысле главного значения, то есть как предел

$$Li(x) = \lim_{\varepsilon \rightarrow 0} \left[ \int_0^{1-\varepsilon} \frac{dt}{\ln t} + \int_{1+\varepsilon}^x \frac{dt}{\ln t} \right].$$

Свойства  $Li(x)$ .

1. Функцию  $Li(x)$  можно представить степенным рядом:

$$Li(x) = \ln(|\ln x|) + \gamma + \sum_{n=1}^{\infty} \frac{(\ln x)^n}{n \cdot n!}, \quad \gamma = 0,577... \text{ — постоянная Эйлера.}$$

2. График  $Li(x)$ :

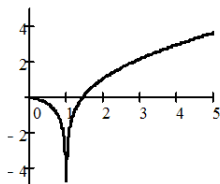


Рис. 5

3. Функции  $Ei(x)$  и  $Li(x)$  связаны соотношением

$$Li(x) = Ei(\ln x).$$

### 2.3. Интегральный синус $Si(x)$

Интегральный синус определяется формулой

$$Si(x) = \int_0^x \frac{\sin t}{t} dt, \quad x \in (-\infty, \infty). \quad (2.3)$$

$t = 0$  – устранимая особая точка подынтегральной функции и интеграл существует при любых значениях  $x$ .

С в о й с т в а  $Si(x)$ .

1.  $Si(-x) = -Si(x)$  – нечётная функция.
2.  $Si(0) = 0$ ,  $Si(\infty) = \pi/2$ .
3. Функция  $Si(x)$  представима степенным рядом

$$Si(x) = \sum_{n=0}^{\infty} \frac{(-1)^n x^{2n+1}}{(2n+1)!(2n+1)}.$$

4. Вместо  $Si(x)$  можно рассматривать функцию  $si(x)$ :

$$si(x) = \int_{\infty}^x \frac{\sin t}{t} dt. \quad (2.4)$$

Функции связаны соотношением:  $Si(x) = si(x) + \pi/2$ .

5. Графики  $Si(x)$  и  $si(x)$ :

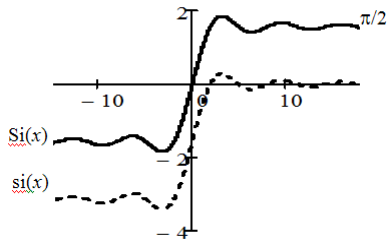


Рис. 6

### 2.4. Интегральный косинус $Ci(x)$

Интегральный косинус определяется формулой

$$Ci(x) = - \int_x^{\infty} \frac{\cos t}{t} dt, \quad x > 0. \quad (2.5)$$

При  $x = 0$  интеграл расходится.

Свойства  $\text{Ci}(x)$ .

1.  $\text{Ci}(\infty) = 0$ .
2.  $\text{Ci}(x)$  можно представить степенным рядом

$$\text{Ci}(x) = \gamma + \ln(x) + \sum_{n=1}^{\infty} \frac{(-1)^n x^{2n}}{2n(2n)!}, \quad \gamma = 0,577\dots - \text{постоянная Эйлера.}$$

3.  $\text{Ci}(x)$  выражается через интегральную показательную функцию

$$\text{Ci}(x) = \frac{\text{Ei}(ix) + \text{Ei}(-ix)}{2}, \quad \text{где } ix - \text{ чисто мнимый аргумент.}$$

4. График  $\text{Ci}(x)$ :

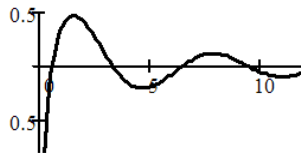


Рис. 7

5. Интегральный косинус можно представить в виде:

$$\text{Ci}(x) = \gamma + \int_0^x \frac{\cos(t) - 1}{t} dt, \quad \gamma = 0,577\dots - \text{постоянная Эйлера.}$$

### 2.5. Интеграл ошибок $\text{erf}(x)$

Интеграл ошибок определяется формулой

$$\text{erf}(x) = \frac{2}{\sqrt{\pi}} \int_0^x e^{-t^2} dt. \quad (2.6)$$

Свойства  $\text{erf}(x)$ .

1.  $\text{erf}(-\infty) = -1$ ,  $\text{erf}(+\infty) = 1$ .
2.  $\text{erf}(-x) = -\text{erf}(x)$  – нечётная функция.
3. График  $\text{erf}(x)$ :

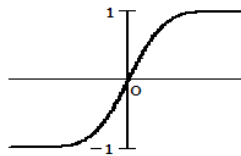


Рис. 8

## 2.6. Интеграл вероятности $\Phi(x)$

Интеграл вероятности, или **функция Лапласа**, определяется формулой

$$\Phi(x) = \frac{1}{\sqrt{2\pi}} \int_{-\infty}^x e^{-\frac{t^2}{2}} dt, \quad x \in (-\infty, \infty). \quad (2.7)$$

Свойства  $\Phi(x)$ .

1.  $\Phi(-\infty) = 0, \Phi(\infty) = 1$ .

2. Часто используется **приведённая** функция Лапласа  $\Phi_0(x)$ :

$$\Phi_0(x) = \frac{1}{\sqrt{2\pi}} \int_0^x e^{-\frac{t^2}{2}} dt. \quad (2.8)$$

Связь между функциями:  $\Phi(x) = \Phi_0(x) + \frac{1}{2}$ .

$\Phi_0(-x) = -\Phi_0(x)$  – нечётная функция,  $\Phi_0(-\infty) = -\frac{1}{2}, \Phi_0(\infty) = \frac{1}{2}$ .

3.  $\Phi'(x) = \frac{1}{\sqrt{2\pi}} e^{-\frac{x^2}{2}}$ .

4.  $\Phi(x) = \text{erf}\left(\frac{x}{\sqrt{2}}\right), \text{erf}(x) = \Phi(x\sqrt{2})$ .

5. Графики функций  $\Phi(x)$  и  $\Phi_0(x)$ :

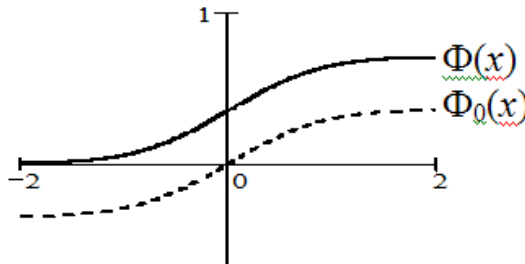


Рис. 9

Функция Лапласа используется в теории вероятностей. В частности, если случайная величина  $X$  подчиняется нормальному закону [ $X \in N(m_x, \sigma)$ ], то вероятность, что  $X$  принадлежит интервалу  $(\alpha; \beta)$ , вычисляется по формуле

$$\begin{aligned}
 P(\alpha < X < \beta) &= \Phi\left(\frac{\beta - m_x}{\sigma}\right) - \Phi\left(\frac{\alpha - m_x}{\sigma}\right) = \\
 &= \Phi_0\left(\frac{\beta - m_x}{\sigma}\right) - \Phi_0\left(\frac{\alpha - m_x}{\sigma}\right).
 \end{aligned}$$

где  $m_x$  – математическое ожидание,  $\sigma$  – среднее квадратическое отклонение.

### 2.7. Интегралы Френеля $S(x)$ , $C(x)$

Синус- и косинус-интегралы Френеля определяются формулами:

$$S(x) = \sqrt{\frac{2}{\pi}} \int_0^x \sin t^2 dt, \quad C(x) = \sqrt{\frac{2}{\pi}} \int_0^x \cos t^2 dt. \quad (2.9)$$

Свойства  $S(x)$  и  $C(x)$ .

1.  $S(+\infty) = C(+\infty) = \frac{1}{2}$ .

2. Графики  $S(x)$  и  $C(x)$ :

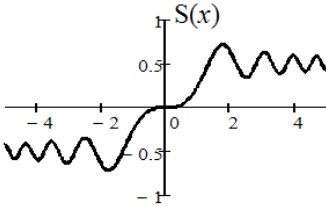


Рис. 10

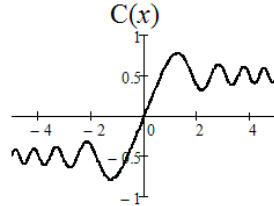


Рис. 11

#### Задачи.

1. Показать справедливость соотношений:

1)  $Ei(\ln(x)) = Li(x)$ ; 2)  $Li(e^x) = Ei(x)$ ; 3)  $Li(x) \sim \frac{x}{\ln x}$ ,  $x \rightarrow 0$ ;

4)  $Si(x) \sim x$ ,  $x \rightarrow 0$ ; 5)  $Ei(-x) \sim -\frac{e^{-x}}{x}$ ,  $x \rightarrow \infty$ ; 6)  $Si(x) \sim -\frac{\cos x}{x}$ ,  $x \rightarrow \infty$ ;

7)  $Ci(x) \sim \frac{\sin x}{x}$ ,  $x \rightarrow \infty$ .

2. Выразить через интегральные функции следующие неопределённые интегралы:

$$1) \int \frac{dx}{\ln x}; 2) \int \frac{\cos x}{x} dx; 3) \int \frac{\sin x}{x} dx; 4) \int \frac{dx}{\ln ax}; 5) \int \frac{\sin \frac{x}{2}}{x} dx;$$

$$6) \int \frac{e^{mx}}{x} dx; 7) \int \frac{e^x}{x-a} dx; 8) \int \frac{\sin x}{x-a} dx; 9) \int \frac{\cos x}{x-a} dx.$$

*Ответы 2.*

$$1) \text{Li}(x) + C; 2) \text{Ci}(x) + C; 3) \text{Si}(x) + C; 4) \frac{1}{a} \text{Li}(ax) + C; 5) \text{Si}\left(\frac{x}{2}\right) + C;$$

$$6) \text{Ei}(mx) + C; 7) e^a \text{Ei}(x - a); 8) \cos a \text{Si}(x - a) + \sin a \text{Ci}(x - a) + C;$$

$$9) \cos a \text{Ci}(x - a) - \sin a \text{Si}(x - a) + C.$$

3. Вычислить интегралы с помощью интегрирования по частям:

$$1) \int \sin \alpha x \cdot \text{Ci}(\beta x) dx; 2) \int \cos \alpha x \cdot \text{Si}(\beta x) dx; 3) \int \sin \alpha x \cdot \text{Si}(\beta x) dx;$$

$$4) \int \cos \alpha x \cdot \text{Ci}(\beta x) dx; 5) \int \text{Ci}(\alpha x) \cdot \text{Ci}(\beta x) dx; 6) \int \text{Ci}(\alpha x) \cdot \text{Si}(\beta x) dx;$$

$$7) \int \text{Si}(\alpha x) \cdot \text{Si}(\beta x) dx.$$

*Ответы 3.*

$$1) - \frac{\cos \alpha x \cdot \text{Ci}(\beta x)}{\alpha} + \frac{\text{Ci}(\alpha x + \beta x) + \text{Ci}(\alpha x - \beta x)}{2\alpha} + C;$$

$$2) \frac{1}{a} \sin \alpha x \text{Si}(\beta x) + \frac{1}{2a} [\text{Ci}(\alpha x + \beta x) - \text{Ci}(\alpha x - \beta x)] + C; 3) - \frac{1}{a} \cos$$

$$\alpha x \text{Si}(\beta x) + \frac{1}{2a} [\text{Si}(\alpha x + \beta x) - \text{Si}(\alpha x - \beta x)] + C; 4) \frac{1}{a} \sin \alpha x \text{Ci}(\beta x) -$$

$$- \frac{1}{2a} [\text{Si}(\alpha + \beta)x + \text{Si}(\alpha - \beta)x] + C; 5) x \text{Ci}(\alpha x) \text{Ci}(\beta x) + \frac{1}{2a} [\text{Si}(\alpha +$$

$$+ \beta x) + \text{Si}(\alpha x - \beta x)] + \frac{1}{2\beta} [\text{Si}(\alpha + \beta)x + \text{Si}(\alpha - \beta)x] - \frac{1}{a} \sin \alpha x \text{Ci}(\beta x) -$$

$$- \frac{1}{\beta} \sin \beta x \text{Ci}(\alpha x) + C; 6) x \text{Ci}(\alpha x) \text{Si}(\beta x) + \frac{1}{\beta} \cos \beta x \text{Si}(\alpha x) - \frac{1}{a} \sin \alpha x$$

$$\text{Si}(\beta x) - \frac{1}{2} \left( \frac{1}{\alpha} + \frac{1}{\beta} \right) \text{Ci}(\alpha x + \beta x) - \frac{1}{2} \left( \frac{1}{\beta} - \frac{1}{\alpha} \right) \text{Ci}(\alpha x - \beta x) + C;$$

$$7) x \operatorname{Si}(\alpha x) \operatorname{Ci}(\beta x) - \frac{1}{2\beta} [\operatorname{Si}(\alpha + \beta)x + \operatorname{Si}(\alpha - \beta)x] - \frac{1}{2a} [\operatorname{Si}(\alpha x + \beta x) + \operatorname{Si}(\beta x - \alpha x)] + \frac{1}{a} \cos \alpha x \operatorname{Si}(\beta x) + \frac{1}{\beta} \cos \beta x \operatorname{Si}(\alpha x) + C.$$

### § 3. Гамма-функция. Бета-функция

Гамма-функцией  $\Gamma(x)$  называется интеграл Эйлера второго рода:

$$\Gamma(x) = \int_0^{\infty} e^{-t} t^{x-1} dt. \quad (3.1)$$

Здесь  $x$  – аргумент,  $t$  – переменная интегрирования. Интеграл (3.1) не выражается в элементарных функциях. Таблицы значений  $\Gamma(x)$  при  $1 \leq x \leq 2$  приведены в [1, 3, 5].

С в о й с т в а  $\Gamma(x)$ .

1. Найдём область определения  $\Gamma(x)$ .

Функция  $\Gamma(x)$  есть несобственный интеграл 1-го рода на верхнем пределе и 2-го рода на нижнем. На верхнем пределе интеграл сходится при любом  $x$ ,  $-\infty < x < \infty$ , на нижнем сходится только при  $x > 0$ . Поэтому  $\Gamma(x)$  определена при  $x > 0$ .

2. Вычислим  $\Gamma(1)$ :

$$\Gamma(1) = \int_0^{\infty} e^{-t} t^{1-1} dt = \int_0^{\infty} e^{-t} dt = -e^{-t} \Big|_0^{\infty} = -\lim_{t \rightarrow \infty} e^{-t} + e^{-0} = 1.$$

Получили:  $\Gamma(1) = 1$ . (3.2)

3. Формула приведения:  $\Gamma(x + 1) = x \Gamma(x)$ . (3.3)

Докажем формулу (3.3):

$$\begin{aligned} \Gamma(x + 1) &= \int_0^{\infty} e^{-t} t^{x+1-1} dt = \int_0^{\infty} e^{-t} t^x dt = \left\{ \begin{array}{l} u = t^x, du = x t^{x-1} dt \\ dv = e^{-t} dt, v = -e^{-t} \end{array} \right\} = \\ &= -t^x e^{-t} \Big|_0^{\infty} + \int_0^{\infty} e^{-t} x t^{x-1} dt = x \int_0^{\infty} e^{-t} t^{x-1} dt = x \Gamma(x), \end{aligned}$$

что требовалось доказать. Тогда

$$\Gamma(x + 2) = \Gamma[(x + 1) + 1] = (x + 1) \Gamma(x + 1) = (x + 1) x \Gamma(x),$$

$$\Gamma(x + 3) = (x + 2)(x + 1) x \Gamma(x) \text{ и т. д.}$$



Получили обобщение формулы (3.3):

$$\Gamma(x+n) = (x+n-1)(x+n-2) \dots (x+1)x\Gamma(x). \quad (3.4)$$

Обычно значения  $\Gamma(x)$  заданы в таблицах для  $1 \leq x \leq 2$ . Пользуясь формулой (3.4), можно получить значение  $\Gamma(x)$  для других интервалов.

Возьмем в равенстве (3.4) значение  $x = 1$ , тогда

$$\Gamma(n+1) = n(n-1)(n-2) \dots 1 \Gamma(1) = n! \Gamma(1) = n!,$$

то есть получили формулу

$$\Gamma(n+1) = n!. \quad (3.5)$$

Если  $n = 0$ , то

$$\Gamma(1) = 0! = 1. \quad (3.6)$$

Из формулы (3.4) получим

$$\Gamma(x) = \frac{\Gamma(x+n)}{(x+n-1)(x+n-2) \dots (x+1)x}. \quad (3.7)$$

Формула (3.7) дает возможность вычислять  $\Gamma(x)$  при отрицательных  $x \neq -n$ .

Из (3.7) следует, что точки  $x = -n$ ,  $n = 0, 1, 2, \dots$  — точки разрыва 2-го рода. В этих точках  $\Gamma$ -функция обращается в бесконечность:

$$\Gamma(-n) = (-n-1)! = (\pm) \infty, \quad n = 0, 1, 2, \dots \quad (3.8)$$

4. Производная от  $\Gamma(x)$ :

$$\Gamma'(x) = \left( \int_0^{\infty} e^{-t} t^{x-1} dt \right)'_x = \int_0^{\infty} e^{-t} t^{x-1} \ln t dt.$$

5. Постоянная Эйлера  $\gamma$ :

$$\gamma = -\Gamma'(1) \approx 0,577 \dots, \quad (3.9)$$

то есть  $\gamma = -\operatorname{tg} \alpha$  есть угловой коэффициент касательной к графику  $\Gamma(x)$  в точке  $x = 1$ , взятый со знаком «минус».

Постоянную  $\gamma$  можно представить интегралом

$$\gamma = \int_0^{\infty} \left( \frac{1}{1+t} - e^{-t} \right) dt$$

или с помощью предела  $\gamma = \lim_{n \rightarrow \infty} (S_n - \ln n)$ , где  $S_n = 1 + \frac{1}{2} + \dots + \frac{1}{n}$  — частичная сумма гармонического ряда, который, как известно, расходится.

Постоянная Эйлера  $\gamma$  часто встречается в различных выражениях.

#### 6. Формула дополнения (без доказательства)

$$\Gamma(x) \cdot \Gamma(1-x) = \frac{\pi}{\sin x\pi}. \quad (3.10)$$

Вычислим  $\Gamma\left(\frac{1}{2}\right)$  по формуле дополнения. Подставим в формулу (3.10)  $x = \frac{1}{2}$ :  $\Gamma\left(\frac{1}{2}\right)\Gamma\left(1-\frac{1}{2}\right) = \left[\Gamma\left(\frac{1}{2}\right)\right]^2 = \frac{\pi}{\sin \frac{\pi}{2}} = \pi$ , тогда полу-

чим  $\Gamma\left(\frac{1}{2}\right) = \sqrt{\pi} = 1,772\dots$

Найдём  $\Gamma\left(n + \frac{1}{2}\right)$ :

$$\begin{aligned} \Gamma\left(n + \frac{1}{2}\right) &= \left(n - \frac{1}{2}\right) \left(n - \frac{3}{2}\right) \left(n - \frac{5}{2}\right) \dots \frac{1}{2} \cdot \Gamma\left(\frac{1}{2}\right) = \\ &= \frac{(2n-1)(2n-3)(2n-5)\dots \cdot 1}{2^n} \sqrt{\pi} = \frac{(2n-1)!!}{2^n} \sqrt{\pi} = \\ &= \frac{(2n-1)(2n-3)\dots \cdot 3 \cdot 1}{2^n} \cdot \frac{2 \cdot 4 \dots 2n}{2 \cdot 4 \dots 2n} \sqrt{\pi} = \frac{(2n)!}{2^{2n} n!} \sqrt{\pi}. \end{aligned}$$

Получили формулу

$$\Gamma\left(n + \frac{1}{2}\right) = \frac{(2n)!}{2^{2n} n!} \sqrt{\pi}. \quad (3.11)$$

#### 7. График $\Gamma(x)$ .

Найдём несколько значений  $\Gamma(x)$ :  $\Gamma\left(\frac{1}{2}\right) = \sqrt{\pi} = 1,77$ ,  $\Gamma(1) = 1$ ,  $\Gamma(2) = 1! = 1$ ,  $\Gamma(3) = 2! = 2$ ,  $\Gamma(4) = 3! = 6$ ,  $\operatorname{tg} \alpha = \Gamma'(1) = -\gamma$ ,  $\gamma$  — постоянная Эйлера.

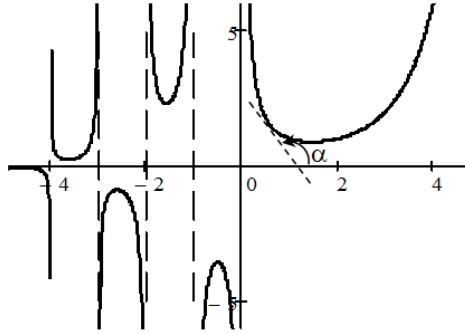


Рис. 12

### 7. Асимптотика.

Формулы называются асимптотическими, если в них входят обозначения  $o$ ,  $O$ ,  $\sim$ ; они появляются при рассмотрении пределов. Если

а)  $\lim_{x \rightarrow x_0} \frac{f(x)}{g(x)} = 0$ , то  $f(x) = o(g(x))$  ( $o$  – «меньше, чем»);

б)  $\lim_{x \rightarrow x_0} \frac{f(x)}{g(x)} = M$  ( $M \neq 0, \neq \infty$ ), то  $f(x) = O[g(x)]$ , ( $O$  – «равно с точностью до множителя»);

в)  $\lim_{x \rightarrow x_0} \frac{f(x)}{g(x)} = 1$ , то  $f(x) \sim g(x)$ , ( $\sim$  эквивалентно).

Для  $\Gamma$ -функции справедливо следующее асимптотическое представление:

$$\Gamma(x+1) = \sqrt{2\pi x} \left(\frac{x}{e}\right)^x \left[1 + O\left(\frac{1}{x}\right)\right], \quad x \rightarrow \infty.$$

Если  $x = n$ , то  $\Gamma(n+1) = n!$  Для вычисления  $n!$  применяется формула Стирлинга

$$n! \approx \sqrt{2\pi n} \left(\frac{n}{e}\right)^n, \quad (3.12)$$

или  $\ln(n!) \approx \ln \sqrt{2\pi n} - n + \left(n + \frac{1}{2}\right) \ln n$ .

8. Заменой переменной  $t = u^2 \Gamma(x)$  приводится к виду

$$\Gamma(x) = 2 \int_0^{\infty} e^{-u^2} u^{2x-1} du.$$

Полагая  $x = \frac{1}{2}$ , получим значение известного интеграла Эйлера–Пуассона:

$$\int_0^{\infty} e^{-t^2} dt = \frac{1}{2} \Gamma\left(\frac{1}{2}\right) = \frac{\sqrt{\pi}}{2}.$$

### Применение $\Gamma(x)$ .

Обобщение понятия факториала:  $x! = \Gamma(x + 1)$ .

При вычислении бесконечных произведений.

При вычислении многих определенных интегралов (см. [1]).

### **Бета-функция $B(x, y)$**

Бета-функцией называется интеграл Эйлера 1-го рода

$$B(x, y) = \int_0^1 t^{x-1} (1-t)^{y-1} dt. \quad (3.13)$$

$B(x, y)$  – функция двух аргументов  $x$  и  $y$ . Область определения:  $x > 0, y > 0$ .

Заменой переменной  $t = \cos^2 \varphi$  интеграл приводится к виду

$$B(x, y) = 2 \int_0^{\frac{\pi}{2}} \cos^{2x-1} \varphi \sin^{2y-1} \varphi d\varphi.$$

Сделав подстановку  $t = \frac{u}{u+1}$ , получим функцию в виде

$$B(x, y) = \int_0^{\infty} \frac{u^{x-1}}{(u+1)^{x+y}} du.$$

$\Gamma$ -функция и Бета-функция связаны соотношением

$$B(x, y) = \frac{\Gamma(x)\Gamma(y)}{\Gamma(x+y)}. \quad (3.14)$$

Бета-функция вычисляется через  $\Gamma(x)$  по формуле (3.14).

Многие определенные интегралы выражаются через Бета-функцию (см. [1]).

- Задачи 1.** Найти: 1)  $\Gamma\left(-\frac{1}{2}\right)$ ; 2)  $\Gamma(x)\Gamma\left(x+\frac{1}{2}\right)$ ; 3)  $B\left(\frac{1}{2}, \frac{1}{2}\right)$ ;  
 4)  $B(m, n)$ ,  $m, n \in \mathbb{N}$ ; 5)  $B(x, 1-x)$ .
- Ответы.* 1)  $\Gamma\left(-\frac{1}{2}\right) = -\Gamma\left(\frac{1}{2}\right) = -2\sqrt{\pi}$ ; 2)  $\Gamma(x)\Gamma\left(x+\frac{1}{2}\right) =$   
 $= \frac{\sqrt{\pi}}{2^{2x-1}}\Gamma(2x)$ ; 3)  $B\left(\frac{1}{2}, \frac{1}{2}\right) = \pi$ ; 4)  $B(m, n) = \frac{(m-1)!(n-1)!}{(m+n-1)!}$ ;  
 5)  $B(x, 1-x) = \frac{\pi}{\sin \pi x}$ .

- Задачи 2.** Вычислить интегралы: 1)  $\int_{\alpha}^{\beta} \sin^{\alpha} x \cos^{\beta} x dx$ ;  
 2)  $\int_0^{\pi} \frac{d\theta}{\sqrt{3-\cos\theta}}$ ; 3)  $\int_0^{\infty} \frac{t^{a-1}}{1+t^b} dt$ ; 4)  $\int_0^{\infty} \frac{1}{1+x^4} dx$ ; 5)  $\int_0^1 \frac{1}{\sqrt{1-x^a}} dx$ .

- Ответы.* 1)  $\frac{\Gamma\left(\frac{\alpha+1}{2}\right)\Gamma\left(\frac{\beta+1}{2}\right)}{2\Gamma\left(\frac{\alpha+\beta}{2}+1\right)}$ ; 2)  $\frac{[\Gamma\left(\frac{1}{4}\right)]^2}{4\sqrt{\pi}}$ ; 3)  $\frac{\pi}{b \sin\left(\frac{b}{a}\pi\right)}$ ;  
 4)  $\frac{\pi\sqrt{2}}{4}$ ; 5)  $\frac{\sqrt{\pi}\Gamma\left(\frac{1}{a}\right)}{a\Gamma\left(\frac{1}{a}+\frac{1}{2}\right)}$ .

## § 4. Цилиндрические функции

Многие модельные физические задачи описываются уравнением вида  $\Delta U = \lambda U$ , где  $\Delta$  – оператор Лапласа,  $\lambda$  – параметр. Решение этого уравнения приводит к цилиндрическим функциям, если граница задана в форме цилиндра или шара.

### 4.1. Уравнение Бесселя. Функции Бесселя 1-го рода

Уравнение вида

$$(xy')' + \left(x - \frac{\nu^2}{x}\right)y = 0, \quad (4.1)$$

или 
$$y'' + \frac{1}{x} y' + \left(1 - \frac{\nu^2}{x^2}\right) y = 0$$

называется **уравнением Бесселя** с индексом  $\nu$ . Это линейное однородное дифференциальное уравнение 2-го порядка с переменными коэффициентами. Число  $\nu$  называется *индексом* уравнения.

Умножим второе уравнение на  $x^2$  и получим уравнение Бесселя в виде

$$x^2 y'' + xy' + (x^2 - \nu^2) y = 0. \quad (4.2)$$

Точка  $x = 0$  – особая точка дифференциального уравнения.

Любое решение  $Z_\nu(x)$  уравнения Бесселя называется **цилиндрической** функцией с индексом  $\nu$ .

Уравнение Бесселя есть частный случай общего уравнения Штурма–Лиувилля

$$(p(x) y')' - q(x) y = \rho(x) \lambda y, \quad (4.3)$$

при  $p(x) = x$ ,  $q(x) = \frac{\nu^2}{x}$ ,  $\rho(x) = x$  – весовая функция, параметр  $\lambda = 1$ .

Если  $p(x_0) = 0$ , то  $x_0$  – особая точка уравнения.

Частное решение линейного уравнения с переменными коэффициентами ищем в виде степенного ряда с неизвестными коэффициентами  $a_k$ :

$$y(x) = x^\nu \sum_{k=0}^{\infty} a_k x^k = \sum_{k=0}^{\infty} a_k x^{k+\nu},$$

где  $\nu$  – индекс уравнения.

Чтобы найти  $a_k$ , подставим этот ряд в дифференциальное уравнение (4.2) и приравняем коэффициенты при одинаковых степенях  $x$ . Получим коэффициенты

$$a_{2k} = \frac{(-1)^k}{2^{2k+1} k! \Gamma(k + \nu + 1)}, \quad a_{2k+1} = 0.$$

Тогда частное решение уравнения Бесселя имеет вид:

$$y_1(x) = J_\nu(x) = \sum_{k=0}^{\infty} \frac{(-1)^k \left(\frac{x}{2}\right)^{2k+\nu}}{k! \Gamma(k + \nu + 1)} = \left(\frac{x}{2}\right)^\nu \sum_{k=0}^{\infty} \frac{(-1)^k \left(\frac{x}{2}\right)^{2k}}{k! \Gamma(k + \nu + 1)}. \quad (4.4)$$

Этот ряд называется **функцией Бесселя 1-го рода**  $J_\nu(x)$  с индексом  $\nu$ .

Степенной ряд (4.4) сходится на всей числовой оси, что можно проверить по признаку Даламбера.

Найдём несколько первых членов ряда (4.4):

$$J_\nu(x) = \left(\frac{x}{2}\right)^\nu \left[ \frac{1}{\Gamma(\nu+1)} - \frac{x^2}{2^2 \Gamma(\nu+2)} + \frac{x^4}{2^4 \cdot 2! \Gamma(\nu+3)} + \dots \right]. \quad (4.5)$$

$y_1(x) = J_\nu(x)$  есть частное решение уравнения Бесселя.

Рассмотрим поведение  $J_\nu(x)$  при  $x \rightarrow 0$ , пользуясь формулой (4.1.5):

$$J_\nu(x) \sim \left(\frac{x}{2}\right)^\nu \left[ \frac{1}{\Gamma(\nu+1)} + o(x^2) \right],$$

тогда 
$$J_\nu(0) = \begin{cases} 1 & \text{при } \nu = 0 \\ 0 & \text{при } \nu > 0 \\ \infty & \text{при } \nu < 0, \nu - \text{дробное} \end{cases}. \quad (4.6)$$

Уравнение Бесселя не зависит от знака индекса  $\nu$ , так как в уравнение входит  $\nu^2$ , поэтому при замене  $\nu$  на  $-\nu$ , получим второе частное решение уравнения Бесселя – функцию Бесселя 1-го рода  $y_2(x) = J_{-\nu}(x)$  с отрицательным индексом  $-\nu$ :

$$J_{-\nu}(x) = \sum_{k=0}^{\infty} \frac{(-1)^k}{k!} \cdot \frac{\left(\frac{x}{2}\right)^{2k-\nu}}{\Gamma(k-\nu+1)} = \left(\frac{x}{2}\right)^{-\nu} \sum_{k=0}^{\infty} \frac{(-1)^k \left(\frac{x}{2}\right)^{2k}}{k! \cdot \Gamma(k-\nu+1)}. \quad (4.7)$$

Согласно (4.1.6),  $J_{-\nu}(0) = \infty$  при дробном  $\nu$ .

Известно, что если  $y_1$  и  $y_2$  – частные линейно независимые решения линейного однородного дифференциального уравнения, то общее решение строится по формуле

$$y(x) = C_1 y_1(x) + C_2 y_2(x),$$

где  $C_1$  и  $C_2$  – произвольные постоянные.

Функции  $y_1$  и  $y_2$  линейно независимы, если их вронскиан ни в одной точке не равен нулю:

$$W(x) = \begin{vmatrix} y_1 y_2 \\ y_1' y_2' \end{vmatrix} \neq 0.$$

Для двух функций  $y_1$  и  $y_2$  это условие независимости эквивалентно условию

$$\frac{y_1}{y_2} \neq C, C = \text{const} \neq 0 \text{ при всех } x. \quad (4.8)$$

Если одна из функций  $y_1$  или  $y_2$  в какой-то точке  $x_0$  обращается в бесконечность, а другая конечна в этой точке, то есть  $\frac{y_1}{y_2} = 0$

или  $\frac{y_1}{y_2} = \infty$  при  $x \rightarrow x_0$ , то условие (4.8) выполняется, и функции  $y_1$

и  $y_2$  линейно независимы.

При дробном параметре  $\nu$  функции  $J_\nu(x)$  и  $J_{-\nu}(x)$  линейно независимы, так как  $J_\nu(0)$  ограничено, а  $J_{-\nu}(0) = \infty$  при  $\nu \neq n$ .

Тогда общее решение уравнения Бесселя при дробном  $\nu$  можно записать в виде:

$$y(x) = C_1 J_\nu(x) + C_2 J_{-\nu}(x). \quad (4.9)$$

#### 4.2. Функции Бесселя 1-го рода с целыми индексами

Функцию Бесселя первого рода при  $\nu = n$  получим по формуле (4.1.4):

$$J_n(x) = \sum_{k=0}^{\infty} \frac{(-1)^k \left(\frac{x}{2}\right)^{2k+n}}{k! \Gamma(k+n+1)} = \left(\frac{x}{2}\right)^n \sum_{k=0}^{\infty} \frac{(-1)^k \left(\frac{x}{2}\right)^{2k}}{k!(k+n)!}. \quad (4.10)$$

Функции  $J_n(x)$  ограничены в нуле, поэтому их часто называют **регулярными** функциями Бесселя.

**С в о й с т в а**  $J_n(x)$ .

1. Найдём по формуле (4.10) первые функции:

$$J_0(x) = \sum_{k=0}^{\infty} \frac{(-1)^k \left(\frac{x}{2}\right)^{2k}}{(k!)^2} = 1 - \frac{x^2}{2^2} + \frac{x^4}{2^4 2^2} - \dots,$$

$$J_1(x) = \sum_{\kappa=0}^{\infty} \frac{(-1)^\kappa \left(\frac{x}{2}\right)^{2\kappa+1}}{\kappa!(\kappa+1)!} = \frac{x}{2} - \frac{x^3}{2^3 2!} + \dots \text{ и так далее.}$$

2. Можно показать, что  $|J_n(x)| \leq 1$ .



### 3. Графики функций $J_0, J_1, J_2$ :

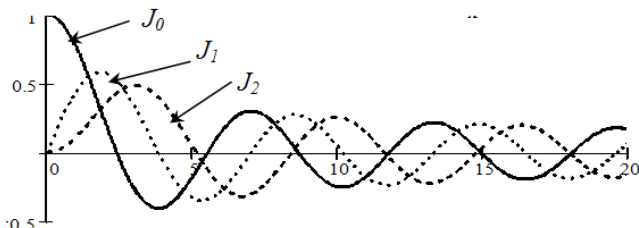


Рис. 13

Точки пересечения графика функции  $J_n(x)$  с осью  $Ox$  есть нули  $\mu_i^n$  функции  $J_n(x)$ , то есть корни уравнения  $J_n(x) = 0$ :  $\mu_1^n > \mu_2^n > \mu_3^n > \dots$

4. Покажем, что при  $\nu = n$  функции  $J_{-n}$  и  $J_n$  линейно зависимы. Подставим в формулу (4.10)  $\nu = -n$  и получим

$$J_{-n}(x) = \sum_{k=0}^{\infty} \frac{(-1)^k \left(\frac{x}{2}\right)^{2k-n}}{k!(k-n)!} = \sum_{k=n}^{\infty} \frac{(-1)^k \left(\frac{x}{2}\right)^{2k-n}}{k!(k-n)!}.$$

Суммирование можно начать с индекса  $k = n$ , так как предыдущие члены равны в нулю. Это связано с тем, что факториалы целых отрицательных чисел обращаются в бесконечность (см. свойства  $\Gamma$ -функции).

Введем новый индекс суммирования  $k'$ :  $k' = k - n$ ,  $k = k' + n$ ; если  $k = n$ , то  $k' = 0$ . Тогда для  $J_{-n}(x)$  получим

$$J_{-n} = \sum_{k'=0}^{\infty} \frac{(-1)^{k'+n} \left(\frac{x}{2}\right)^{2k'+2n-n}}{(k'+n)!(k')!} = (-1)^n \sum_{k'=0}^{\infty} \frac{(-1)^{k'} \left(\frac{x}{2}\right)^{2k'+n}}{(k')!(k'+n)!} = (-1)^n J_n(x),$$

то есть 
$$J_{-n} = (-1)^n J_n. \quad (4.11)$$

Получили, что  $J_{-n}$  и  $J_n$  линейно зависимы, так как  $\frac{y_1}{y_2} = (-1)^n = \text{const}$ .

Из формулы (4.11) следует, что при  $\nu = n$  в качестве общего решения нельзя брать линейную комбинацию  $J_{-n}$  и  $J_n$ , поэтому вводят другие функции.

### 4.3. Функции Бесселя 2-го и 3-го рода

Функция Бесселя 2-го рода определяется формулой

$$Y_\nu(x) = \frac{\cos(\pi\nu)J_\nu(x) - J_{-\nu}(x)}{\sin(\pi\nu)}. \quad (4.12)$$

Функции Бесселя 2-го рода  $Y_\nu(x)$  часто называют функциями **Неймана** [обозначают  $N_\nu(x)$ ] или функциями **Вебера**.

При целом индексе  $\nu = n$  под  $Y_n$  понимают предел

$$Y_n(x) = \lim_{\nu \rightarrow n} \frac{\cos(\pi\nu)J_\nu - J_{-\nu}}{\sin(\pi\nu)}. \quad (4.13)$$

Можно показать, что эти функции также являются решениями уравнения Бесселя.

С в о й с т в а  $Y_\nu(x)$

1. При  $x \rightarrow 0$   $Y_\nu \rightarrow -\infty$  из-за  $J_{-\nu}$ , поэтому функции Бесселя 2-го рода из-за поведения в нуле иногда называют **иррегулярными**.

2. Графики функций  $Y_0(x)$ ,  $Y_1(x)$ ,  $Y_2(x)$ :

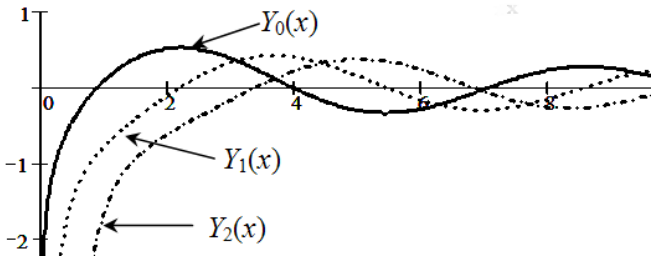


Рис. 14

### 4.4. Функции Бесселя 3-го рода

Функции Бесселя 3-го рода, или **функции Ханкеля** вводятся согласно формулам

$$H_\nu^{(1)}(x) = J_\nu(x) + iY_\nu(x), \quad (4.14)$$

$$H_\nu^{(2)}(x) = J_\nu(x) - iY_\nu(x). \quad (4.15)$$

Функции  $H_\nu^{(1)}$  и  $H_\nu^{(2)}$  линейно независимы как комплексно сопряженные величины.

В зависимости от задачи, в общем решении уравнения Бесселя в качестве  $y_1$  и  $y_2$  можно брать любую пару функций  $J_{-\nu}$ ,  $J_\nu$ ,  $Y_\nu(x)$ ,  $H_\nu^{(1)}$ ,  $H_\nu^{(2)}$ , кроме пары  $J_{-n}$  и  $J_n$  при  $\nu = n$ :

- 1)  $y(x) = C_1 J_\nu(x) + C_2 J_{-\nu}(x)$  при всех  $\nu$ , кроме  $\nu = n$ ,
- 2)  $y(x) = C_1 J_\nu(x) + C_2 Y_\nu(x)$  при любом  $\nu$ ,
- 3)  $y(x) = C_1 H_\nu^{(1)}(x) + C_2 H_\nu^{(2)}(x)$  при любом  $\nu$ .

Если на решение накладывается условие:  $y(0)$  ограничено, то можно брать только решение  $y(x) = J_\nu(x)$ , так как только оно ограничено в нуле.

#### 4.5. Асимптотика

Рассмотрим асимптотические формулы для функций Бесселя при  $x \rightarrow \infty$ :

$$J_\nu(x) \sim \sqrt{\frac{2}{\pi x}} \cos\left(x - \nu \frac{\pi}{2} - \frac{\pi}{4}\right), \quad Y_\nu(x) \sim \sqrt{\frac{2}{\pi x}} \sin\left(x - \nu \frac{\pi}{2} - \frac{\pi}{4}\right),$$

$$H_\nu^{(1)}(x) \sim \sqrt{\frac{2}{\pi x}} e^{i\left(x - \nu \frac{\pi}{2} - \frac{\pi}{4}\right)}, \quad H_\nu^{(2)}(x) \sim \sqrt{\frac{2}{\pi x}} e^{-i\left(x - \nu \frac{\pi}{2} - \frac{\pi}{4}\right)}.$$

При  $\nu = \frac{1}{2}$  формулы становятся точными, например:

$$J_{\frac{1}{2}} \sim \sqrt{\frac{2}{\pi x}} \cos\left(x - \frac{\pi}{4} - \frac{\pi}{2}\right) = \sqrt{\frac{2}{\pi x}} \sin x = J_{\frac{1}{2}}(x).$$

#### 4.6. Функции Бесселя с полуцелым индексом

Все функции Бесселя с полуцелым индексом  $\nu = n + \frac{1}{2}$  выражаются через элементарные функции. Покажем это, например, для  $J_{\frac{1}{2}}(x)$ :

$$J_{\frac{1}{2}}(x) = \left(\frac{x}{2}\right)^{\frac{1}{2}} \sum_{k=0}^{\infty} \frac{(-1)^k \left(\frac{x}{2}\right)^{2k}}{k! \Gamma\left(k + \frac{1}{2} + 1\right)}.$$

Подставим  $\Gamma\left(n + \frac{1}{2}\right) = \frac{(2n)!}{2^{2n} n!} \cdot \sqrt{\pi}$  при  $n = k + 1$ .

После преобразований получим

$$J_{\frac{1}{2}}(x) = \left(\frac{x}{2}\right)^{\frac{1}{2}} \sum_{k=0}^{\infty} \frac{(-1)^k \left(\frac{x}{2}\right)^{2k} 2^{k+1} (k+1)! 2^{2k+2}}{k!(2k+2)! \sqrt{\pi}} = \sqrt{\frac{2}{\pi x}} \sin x.$$

Приведём функции Бесселя при  $\nu = \pm \frac{1}{2}$ :

$$J_{\frac{1}{2}} = \sqrt{\frac{2}{\pi x}} \sin x, \quad J_{-\frac{1}{2}} = \sqrt{\frac{2}{\pi x}} \cos x, \quad Y_{\frac{1}{2}} = \sqrt{\frac{2}{\pi x}} \cos x, \quad Y_{-\frac{1}{2}} = \sqrt{\frac{2}{\pi x}} \sin x,$$

$$H_{\frac{1}{2}}^{(1)} = -i \sqrt{\frac{2}{\pi x}} e^{ix}, \quad H_{-\frac{1}{2}}^{(1)} = i \sqrt{\frac{2}{\pi x}} e^{-ix}, \quad H_{\frac{1}{2}}^{(2)} = \sqrt{\frac{2}{\pi x}} e^{ix}, \quad H_{-\frac{1}{2}}^{(2)} = \sqrt{\frac{2}{\pi x}} e^{-ix}.$$

При полуцелом индексе часто пользуются **сферическими** функциями Бесселя:

$$j_n(x) = \sqrt{\frac{\pi}{2x}} J_{n+\frac{1}{2}}, \quad n_n(x) = \sqrt{\frac{\pi}{2x}} Y_{n+\frac{1}{2}},$$

$$h_n^{(1)}(x) = \sqrt{\frac{\pi}{2x}} H_{n+\frac{1}{2}}^{(1)}, \quad h_n^{(2)}(x) = \sqrt{\frac{\pi}{2x}} H_{n+\frac{1}{2}}^{(2)}.$$

В частности, для  $n = 0$  имеем:

$$j_0 = \frac{\sin x}{x}, \quad n_0 = \frac{\cos x}{x}, \quad h_0^{(1)} = -i \frac{e^{ix}}{x}, \quad h_0^{(2)} = i \frac{e^{-ix}}{x}.$$

Графики сферических функций  $j_0, j_1, n_0, n_1$ :

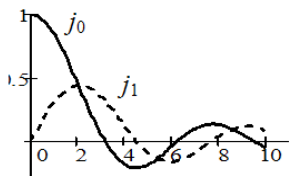


Рис. 15

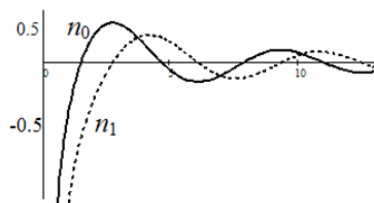


Рис. 16

#### 4.7. Рекуррентные соотношения

Рекуррентные соотношения связывают функции при различных индексах.

Пусть  $Z_\nu(x)$  – любая функция Бесселя.

1.  $\frac{d}{dx} x^\nu Z_\nu = x^\nu Z_{\nu-1}$
2.  $\frac{d}{dx} x^{-\nu} Z_\nu = x^{-\nu} Z_{\nu+1}$
3.  $\int x^\nu Z_{\nu-1} dx = x^\nu Z_\nu + c$
4.  $\int x^{-\nu} Z_{\nu+1} dx = -x^{-\nu} Z_\nu + c$
5.  $Z_{\nu+1} + Z_{\nu-1} = 2 \frac{\nu}{x} Z_\nu$
6.  $Z_{\nu+1} - Z_{\nu-1} = -2Z'_\nu$

Рекуррентное соотношение  $Z_{\nu+1} + Z_{\nu-1} = 2 \frac{\nu}{x} Z_\nu$  позволяет все функции Бесселя целых индексов выразить через функции индексов 0 и 1. Например, полагая  $Z_\nu(x) = J_\nu(x)$ ,  $\nu = n - 1$ , получим

$$J_n(x) = 2 \frac{(n-1)}{x} J_{n-1} - J_{n-2}(x).$$

**Задачи.** Показать, что:

- 1)  $J_2(x) = \frac{2}{x} J_1(x) - J_0(x)$ ; 2)  $J'_0(x) = -J_1(x)$ ; 3)  $J_2(x) = J''_0(x) - \frac{1}{x} J'_0(x)$ ;
- 4) Проверить, что функции  $\frac{\sin x}{\sqrt{x}}$  и  $\frac{\cos x}{\sqrt{x}}$  удовлетворяют уравнению Бесселя при  $\nu = \frac{1}{2}$ :  $y'' + \frac{1}{x} y' + (1 - \frac{1}{4x^2}) y = 0$ .
- 5) Выразить через элементарные функции  $J_{\frac{3}{2}}(x)$ ,  $J_{-\frac{3}{2}}(x)$ ,  $J_{\frac{5}{2}}(x)$ ,  $J_{-\frac{5}{2}}(x)$ ,  $Y_{\frac{3}{2}}(x)$ ,  $Y_{-\frac{3}{2}}(x)$ ,  $Y_{\frac{5}{2}}(x)$ ,  $Y_{-\frac{5}{2}}(x)$ .

*Ответ.*  $J_{\frac{3}{2}}(x) = \sqrt{\frac{2}{\pi x}} \left[ \frac{\sin x}{x} - \cos x \right]$ ,  $J_{-\frac{3}{2}}(x) = Y_{\frac{3}{2}}(x) =$   
 $= -\sqrt{\frac{2}{\pi x}} \frac{x \sin x + \cos x}{x}.$

6) Показать, что: а)  $J_0(x) = 1 - \frac{x^2}{4} + O(x^4)$  при  $x \rightarrow 0$ ; б)  $Y_0(x) =$

$= \frac{2}{\pi} \left( \ln \frac{x}{2} + \gamma \right) J_0(x) + O(x^2)$  при  $x \rightarrow 0$ ,  $\gamma$  – постоянная Эйлера.

7) Вычислить интегралы 1)  $\int_0^x x^7 J_2 dx$ ; 2)  $\int_0^x x^5 J_2 dx$ ; 3)  $\int_0^x x^2 J_1 dx$ ;

4)  $\int_0^x x J_0 dx$ .

*Ответ:* 1)  $-2x^6 J_0(x) + C$ ; 2)  $-2x^4 J_0(x) + C$ ; 3)  $x^2 J_2(x) + C$ ; 4)  $x J_1(x) + C$ .

8) Выразить интегралы Френеля  $C(x)$  и  $S(x)$  через функции Бесселя при  $\nu = \pm \frac{1}{2}$ .

*Ответ:*  $C(x) = \frac{1}{2} \int_0^{x^2} J_{\frac{1}{2}}(t) dt$ ,  $S(x) = \frac{1}{2} \int_0^{x^2} J_{-\frac{1}{2}}(t) dt$ .

**Тестовая задача.** Из перечисленных линейных комбинаций  $J_n(x) + N_n(x)$ ,  $J_n(x) \times N_n(x)$ ,  $J_n(x) + iN_n(x)$  функцией Ханкеля первого рода

*Варианты ответов:* 1) является линейная комбинация  $J_n(x) + iN_n(x)$ ;

2) не является никакая из перечисленных линейных комбинаций;

3) является линейная комбинация  $J_n(x) + N_n(x)$ ;

4) является линейная комбинация  $J_n(x) \times N_n(x)$ .

*Ответ.* Вариант 1).

#### 4.8. Обобщённое уравнение Бесселя

Дифференциальное уравнение вида

$$(xy')' + \left(k^2x - \frac{\nu^2}{x}\right)y = 0 \quad (4.16)$$

называется **обобщённым** уравнением Бесселя,  $k$  – заданное число,  $\nu$  – параметр.

Уравнение (4.16) в развёрнутом виде:

$$y'' + \frac{1}{x} y' + \left(k^2 - \frac{v^2}{x^2}\right) y = 0, \quad (4.17)$$

или 
$$x^2 y'' + xy' + (k^2 x^2 - v^2) y = 0. \quad (4.18)$$

Покажем, что это уравнение заменой  $t = kx$  приводится к уравнению Бесселя.

Имеем  $dt = kdx, \quad \frac{dt}{dx} = k, \quad y'_x = \frac{dy}{dt} \cdot \frac{dt}{dx} = y'_t k,$

$$y''_x = (ky'_t)'_t \frac{dt}{dx} = k^2 y''_t.$$

Подставим эти величины в уравнение (4.18):

$$x^2 k^2 y''_t + xky'_t + (k^2 x^2 - v^2) y = 0, \text{ так как } x = \frac{t}{k}, \text{ то}$$

$$\frac{t^2}{k^2} k^2 y''_t + \frac{x}{k} ky'_t + \left(k^2 \frac{t^2}{k^2} - v^2\right) y = 0.$$

Получили уравнение Бесселя

$$t^2 y''_t + ty'_t + (t^2 - v^2) y = 0.$$

Решение этого уравнения есть любая функция Бесселя  $Z(t)$ .  
Заменив аргумент  $t$  на  $kx$ , получим частное решение обобщенного уравнения Бесселя:

$$Z(kx) = \{J_\nu(kx), \dots, H_\nu^{(1,2)}(kx)\}.$$

Общим решением уравнения (4.16) будет линейная комбинация любых двух функций, кроме пары  $J_\nu(kx)$  и  $J_{-\nu}(kx)$  при  $\nu = n$ .

#### 4.9. Модифицированные функции Бесселя

Если в обобщённом уравнении Бесселя (4.16)  $k^2 = -1$  или в общем случае  $k^2 = -\alpha^2$ , то имеем **модифицированное** уравнение Бесселя:

$$(xy')' - \left(x + \frac{v^2}{x}\right) y = 0, \quad (4.19)$$

или **обобщённое модифицированное** уравнение Бесселя:

$$(xy')' - \left(\alpha^2 x + \frac{v^2}{x}\right) y = 0. \quad (4.20)$$

Решением уравнения (4.19) являются функции Бесселя мнимого аргумента  $ix$  или аргумента  $i\alpha x$  для уравнения (4.20):  $Z_\nu(kx) = Z_\nu(ikx)$ ,  $Z_\nu(kx) = Z_\nu(i\alpha x)$ ,  $i$  – мнимая единица.

Поставим мнимый аргумент  $ix$  в функцию Бесселя 1-го рода

$$J_\nu(x) = \sum_{k=0}^{\infty} \frac{(-1)^k \left(\frac{x}{2}\right)^{2k+\nu}}{k! \Gamma(k+\nu+1)}$$

и получим

$$J_\nu(ix) = \sum_{k=0}^{\infty} \frac{(-1)^k i^{2k+\nu} \left(\frac{x}{2}\right)^{2k+\nu}}{k! \Gamma(k+\nu+1)} = i^\nu I_\nu(x),$$

где  $I_\nu(x) = \sum_{k=0}^{\infty} \frac{(-1)^k \left(\frac{x}{2}\right)^{2k+\nu}}{k! \Gamma(k+\nu+1)}$  – вещественная функция.

Чтобы не иметь дело с комплексными величинами, вводят вещественные функции

$$I_\nu(x) = i^{-\nu} J_\nu(ix) \tag{4.21}$$

– **модифицированная** функция Бесселя и

$$K_\nu(x) = \frac{\pi}{2} i^{\nu+1} H_\nu^{(1)}(ix); \tag{4.22}$$

– **модифицированная** функция Ханкеля, или функция **Макдональда**.

Если  $\alpha \neq 1$ , то получим **обобщённые модифицированные** функции  $I_\nu(\alpha x)$  и  $K_\nu(\alpha x)$ .

Общее решение модифицированного уравнения Бесселя можно взять в виде:

- 1)  $y(x) = C_1 I_\nu(x) + C_2 I_{-\nu}(x)$ ,  $\nu$  – дробное ( $\nu \neq n$ ), или
- 2)  $y(x) = C_1 I_\nu(x) + C_2 K_\nu(x)$ ,  $\nu$  – любое;

Общее решение обобщённого модифицированного уравнения Бесселя можно взять в виде:

- 1)  $y(x) = C_1 I_\nu(\alpha x) + C_2 I_{-\nu}(\alpha x)$ ,  $\nu$  – дробное ( $\nu \neq n$ ), или
- 2)  $y(x) = C_1 I_\nu(\alpha x) + C_2 K_\nu(\alpha x)$ ,  $\nu$  – любое.

Асимптотические формулы для модифицированных функций при  $x \rightarrow \infty$ :



$$I_\nu \sim \sqrt{\frac{2}{\pi x}} e^x; K_\nu \sim \frac{1}{\sqrt{2\pi x}} e^{-x}.$$

Графики функций  $I_\nu(x)$  и  $K_\nu(x)$ :

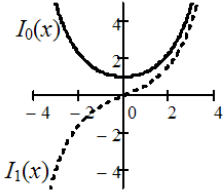


Рис. 17

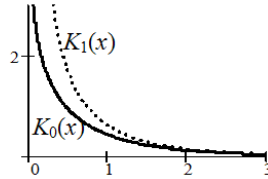


Рис. 18

**Задачи.**

1) Показать, что при  $x \rightarrow 0$ : а)  $K_0(x) \sim -\ln x$ , б)  $K_n(x) \sim \frac{1}{2^{n+1}} x^{-n}$ .

2) Проверить соотношение  $I'_0(x) = I_1(x)$ .

3) Выразить через элементарные функции  $I_{\frac{3}{2}}(x)$ ,  $I_{-\frac{3}{2}}(x)$ ,

$$K_{\frac{1}{2}}(x), K_{\frac{3}{2}}(x).$$

Ответ 3) :  $I_{\frac{3}{2}}(x) = \sqrt{\frac{2}{x\pi}} \left[ chx - \frac{shx}{x} \right]$ ,  $I_{-\frac{3}{2}}(x) = \sqrt{\frac{2}{x\pi}} \left[ shx - \frac{chx}{x} \right]$ ,

$$K_{\frac{1}{2}}(x) = \sqrt{\frac{2}{x\pi}} e^{-x}, K_{\frac{3}{2}}(x) = \sqrt{\frac{2}{x\pi}} e^{-x} \left( 1 + \frac{1}{x} \right).$$

Асимптотическое поведение функций Бесселя при  $x \rightarrow 0$  и  $x \rightarrow \infty$  представлено в табл. 1.

Таблица 1

Функция	Название	$x \rightarrow 0$	$x \rightarrow \infty$
1	2	3	4
$J_\nu(x)$	Функция Бесселя I рода с индексом $\nu \geq 0$	$J_0(0)$ – ограничено, $J_\nu(0) \rightarrow 0, \nu > 0$	$J_\nu(\infty) \rightarrow 0$
$J_{-\nu}(x)$	Функция Бесселя I рода с индексом $\nu < 0$	$J_{-\nu}(0) \rightarrow -\infty$	$J_{-\nu}(\infty) \rightarrow 0$
$Y_\nu(x)$	Функция Бесселя II рода с индексом $\nu$ (функция Неймана)	$Y_\nu(0) \rightarrow -\infty$	$Y_\nu(\infty) \rightarrow 0$

1	2	3	4
$H_\nu^{(1)}(x)$	Функция Бесселя III рода с индексом $\nu$ (функция Ханкеля I)	$H_\nu^{(1)}(0) \rightarrow -i\infty$	$H_\nu^{(1)}(\infty) \rightarrow \frac{1}{\sqrt{x}} e^{ix}$
$H_\nu^{(2)}(x)$	Функция Бесселя III рода с индексом $\nu$ (функция Ханкеля II)	$H_\nu^{(2)}(0) \rightarrow i\infty$	$H_\nu^{(2)}(\infty) \rightarrow \frac{1}{\sqrt{x}} e^{-ix}$
$I_\nu(x)$	Модифицированная функция Бесселя I	$I_0(0)$ – ограничено, $I_\nu(0) \rightarrow 0, \nu > 0$	$I_\nu(\infty) \rightarrow \infty$
$K_\nu(x)$	Модифицированная функция Бесселя II (функция Макдональда)	$K_\nu(0) \rightarrow \infty$	$K_\nu(\infty) \rightarrow 0$

#### 4.10. Ортогональность функций Бесселя

Рассмотрим *краевую задачу*: найти ненулевое решение обобщённого уравнения Бесселя

$$(xy')' + (k^2x - \frac{\nu^2}{x})y = 0, \quad (4.23)$$

где  $k$  – заданное число,  $x \in [0, \ell]$ , удовлетворяющие на концах интервала  $[0, \ell]$  однородным граничным условиям:

$$\begin{cases} y(0) & \text{– ограничено} \\ y(\ell) & = 0 \end{cases}. \quad (4.24)$$

Данная краевая задача есть *задача Штурма–Лиувилля* (ЗШЛ) (см. главы 2 и 3).

Общее решение уравнения Бесселя при любом  $\nu$  имеет вид

$$y(x) = C_1 J_\nu(kx) + C_2 Y_\nu(kx).$$

В силу первого граничного условия  $C_2 = 0$ , так как надо отбросить слагаемое с функцией  $Y_\nu(kx)$  из-за её поведения в нуле:  $Y_\nu \rightarrow \infty$  при  $x \rightarrow 0$ .

Тогда  $y(x) = C_1 J_\nu(kx)$  – общее решение.

Из второго граничного условия получим  $y(\ell) = C_1 J_\nu(k\ell) = 0$ .

Ищем ненулевое решение, поэтому  $C_1 \neq 0$ , тогда  $J_\nu(k\ell) = 0$ .

Получили:  $k\ell = \mu_n^v$ ,  $n = 1, 2, \dots$ , где  $\mu_n$  – нули функции Бесселя с индексом  $v$ .

Числа  $\{\mu_n^v\}_{n=1}^{\infty}$  заданы в таблицах,  $k_n = \frac{\mu_n^v}{\ell}$ ,  $n = 1, 2, \dots$ ,

$\lambda_n = k_n^2 = \left(\frac{\mu_n^v}{\ell}\right)^2$  – собственные значения задачи Ш-Л.

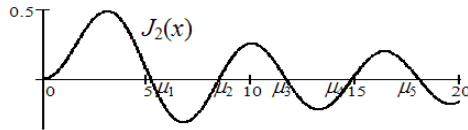


Рис. 19

На рис. 19 точки пересечения графика функции  $J_2(x)$  с осью  $Ox$  есть нули  $\mu_1, \mu_2, \dots, \mu_n$  функции  $J_2(x)$ .

Краевая задача даёт систему собственных функций, ортогональных на интервале  $(0, \ell)$  с весом  $\rho = x$

$$\left\{ J_v\left(\frac{\mu_n^v}{\ell}x\right) \right\}_{n=1}^{\infty}.$$

Запишем условие ортогональности для функций Бесселя :

$$[J_v\left(\frac{\mu_n^v}{\ell}x\right), J_v\left(\frac{\mu_k^v}{\ell}x\right)] = \int_0^{\ell} J_v\left(\frac{\mu_n^v}{\ell}x\right) J_v\left(\frac{\mu_k^v}{\ell}x\right) x dx = \begin{cases} \frac{\ell^2}{2} J_{v+1}^2(\mu_n^v) & n = k \\ 0 & n \neq k \end{cases}.$$

Функция  $f \in L_2[0; \ell]$  раскладывается в ряд Фурье на отрезке  $[0; \ell]$  по функциям Бесселя 1-го рода:

$$f(x) = C_1 J_v\left(\frac{\mu_1^v}{\ell}x\right) + C_2 J_v\left(\frac{\mu_2^v}{\ell}x\right) + \dots = \sum_{n=1}^{\infty} C_n J_v\left(\frac{\mu_n^v}{\ell}x\right),$$

$$\text{где } C_n = \frac{\left[ f, J_\nu \left( \frac{\mu_n^\nu}{\ell} x \right) \right]}{\left\| J_\nu \left( \frac{\mu_n^\nu}{\ell} x \right) \right\|^2} = \frac{2}{\ell^2 J_{\nu+1}^2(\mu_n^\nu)} \int_0^\ell f(x) J_\nu \left( \frac{\mu_n^\nu}{\ell} x \right) x dx -$$

коэффициенты Фурье.

Если  $f(x)$  удовлетворяет краевым условиям данной задачи и имеет производные до второго порядка, то можно показать, что её ряд Фурье сходится равномерно на  $[0, \ell]$ .

**Пример 1.** Разложить в ряд Фурье функцию  $f(x) = 1 - x$  в системе  $\{J_0(\mu_n x)\}_{n=1}^\infty$  на отрезке  $[0, 1]$ , где  $\mu_1 < \mu_2 < \dots$  – положительные корни функции  $J_0(x)$ :  $\mu_1 = 2,40$ ,  $\mu_2 = 5,52$ ,  $\mu_3 = 8,62$ , ...

*Решение.* Ряд имеет вид

$$1 - x = C_1 J_0(\mu_1 x) + C_2 J_0(\mu_2 x) + C_3 J_0(\mu_3 x) + \dots + C_n J_0(\mu_n x) + \dots$$

Коэффициенты Фурье вычисляются по формуле

$$C_n = \frac{2}{[J_1(\mu_n)]^2} \int_0^1 x(1-x) J_0(\mu_n x) dx.$$

Чтобы найти интеграл, сделаем замену переменной  $z = \mu_n x$ , тогда получим

$$C_n = \frac{2}{[J_1(\mu_n)]^2} \left[ \frac{1}{(\mu_n)^2} \int_0^{\mu_n} z J_0(z) dz - \frac{1}{(\mu_n)^3} \int_0^{\mu_n} z^2 J_0(z) dz \right].$$

Проинтегрируем по частям второй интеграл и используя рекуррентные соотношения (п. 4.6), получим

$$C_n = \frac{2}{[J_1(\mu_n)]^2 \mu_n^3} \int_0^{\mu_n} J_0(z) dz.$$

Вычислим первые два коэффициента:

$$C_1 = \frac{2}{[J_1(2,42)]^2 (2,42)^3} \int_0^{2,42} J_0(z) dz = 0,779,$$

$$C_2 = \frac{2}{[J_1(5,5)]^2(5,5)^3} \int_0^{5,5} J_0(z) dz = 0,069.$$

Следовательно, искомый ряд имеет вид:

$$1 - x = 0,779J_0(2,405x) + 0,069 J_0(5,520x) + \dots$$

На рис. 20 функция  $f(x) = 1 - x$  (сплошная линия) аппроксимируется двумя членами ряда  $\tilde{y} = 0,779J_0(2,405x) + 0,069 J_0(5,520x)$  (пунктирная линия).

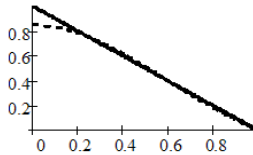


Рис. 20

### Пример 2.

Разложить в ряд Фурье функцию  $f(x) = x - x^3$  по системе  $\{J_1(\mu_n x)\}_{n=1}^{\infty}$  на интервале  $[0, 1]$ , где  $\mu_1 < \mu_2 < \dots$  – положительные корни функции  $J_1(x)$ :  $\mu_1 = 3,83$ ,  $\mu_2 = 7,02$ ,  $\mu_3 = 10,20$ ,  $\dots$ .

*Решение.* Ряд имеет вид

$$x - x^3 = C_1 J_1(\mu_1 x) + C_2 J_1(\mu_2 x) + C_3 J_1(\mu_3 x) + \dots + C_n J_1(\mu_n x) + \dots$$

Найдём  $C_n$ , используя рекуррентные соотношения:

$$\begin{aligned} C_n &= \frac{2}{[J_2(\mu_n)]^2} \int_0^1 x(x - x^3) J_1(\mu_n x) dx = -\frac{2}{J_0^2(\mu_n)} \cdot \frac{8J_0(\mu_n)}{\mu_n^3} = \\ &= -\frac{16}{\mu_n^3 J_0(\mu_n)}. \end{aligned}$$

Получили:

$$x - x^3 = -\sum_{n=1}^{\infty} \frac{16}{\mu_n^3 J_0(\mu_n)} = 0,706J_1(3,83x) - 0,154J_1(7,02x) + 0,061J_1(10,2x) + \dots$$

На рис. 21 функция  $f(x) = x - x^3$  (сплошная линия) аппроксимируется одним членом ряда (пунктирная линия), на рис. 22 – двумя членами, на рис. 23 – тремя членами данного ряда:

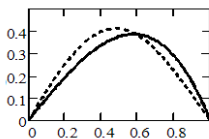


Рис. 21

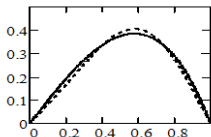


Рис. 22

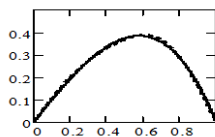


Рис. 23

Из рисунков видно, что уже два члена хорошо приближают данную функцию.

**Пример 3.** Разложение в ряд Фурье плоской волны  $e^{-ix \sin \varphi}$  имеет вид  $e^{-ix \sin \varphi} = \sum_{n=-\infty}^{\infty} J_n(x) e^{-in\varphi}$ .

## § 5. Ортогональные полиномы

### 5.1. Уравнение Лежандра. Полиномы Лежандра

Дифференциальное уравнение

$$[(1-x^2)y']' + \lambda y = 0, \quad x \in [-1, 1] \quad (5.1)$$

или в развёрнутом виде

$$(1-x^2)y'' - 2xy' + \lambda y = 0,$$

называется **уравнением Лежандра**,  $\lambda$  – параметр.

Уравнение (5.1) есть линейное однородное дифференциальное уравнение 2-го порядка с переменными коэффициентами. Точки  $x = \pm 1$  – особые точки уравнения.

Уравнение Лежандра есть частный случай уравнения Штурма–Лиувилля при  $p = 1 - x^2$ ,  $q = 0$ ,  $\rho = 1$ .

Решение уравнения с переменными коэффициентами ищут в виде степенного ряда  $y(x) = \sum_{k=0}^{\infty} a_k x^k$ .

Чтобы найти коэффициенты  $a_k$ , надо подставить ряд в дифференциальное уравнение и приравнять коэффициенты при одинаковых степенях  $x$ .

Если  $\lambda \neq n(n+1)$ , то ряд  $\sum a_k x^k$  расходится в особых точках  $x = \pm 1$ . Если  $\lambda = n(n+1)$ , то  $y(\pm 1) \neq \infty$ , и ряд сходится в точках  $x = \pm 1$ . В этом случае коэффициенты  $a_k$  обращаются в нуль при  $k > n$ , ряд обрывается и получается, что  $y(x)$  есть полином степени  $n$ .

Это ограниченное в точках  $x = \pm 1$  решение называется **полиномом Лежандра** и обозначается  $P_n(x)$ :

$$y_1(x) = P_n(x), n = 0, 1, 2, \dots, x \in [-1, 1]. \quad (5.2)$$

Линейно независимое решение  $y_2(x)$  обращается в бесконечность при  $x = \pm 1$ . Оно называется **функцией Лежандра 2-го рода** и обозначается  $Q_n(x)$ .

Уравнение Лежандра при  $\lambda = n(n+1)$  имеет вид

$$[(1-x^2)y']' + n(n+1)y = 0, n = 0, 1, 2, \dots \quad (5.3)$$

С в о й с т в а  $P_n(x)$ .

1. Полиномы Лежандра удобно вычислять при помощи **формулы Родрига**

$$P_n(x) = \frac{1}{2^n n!} \frac{d^n}{dx^n} (x^2 - 1)^n, n = 0, 1, \dots \quad (5.4)$$

2. Чётность  $P_n$  совпадает с чётностью  $n$ :  $P_n(-x) = (-1)^n P_n(x)$ , то есть  $P_n$  – чётные, если  $n$  – чётное и  $P_n$  – нечётные, если  $n$  – нечётные.

3. Найдём по формуле (5.4) первые полиномы:

$$P_0(x) = 1, P_1(x) = x, P_2(x) = \frac{2}{3}x^2 - \frac{1}{2}, P_3(x) = x^3 + \frac{3}{2}(x^2 - 1)x, \dots$$

4.  $P_n(1) = 1, P_n(-1) = (-1)^n$ , то есть  $P_n(-1) = 1$ , если  $n$  – чётное и  $P_n(-1) = -1$ , если  $n$  – нечётное.

5.  $P_n(0) = 0, n$  – нечётное,  $P_n(0) \neq 0, n$  – чётное.

6. Графики  $P_1(x), P_2(x)$  и  $P_3(x)$ :

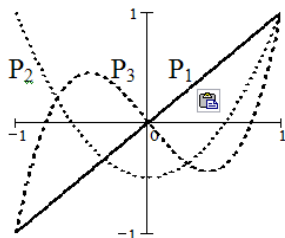


Рис. 24

7. Производящая функция.

Полиномы Лежандра можно получить как коэффициенты при разложении в ряд Тейлора по степеням  $t$  функции  $\frac{1}{\sqrt{1-2x+t+t^2}}$ ,

которая называется **производящей функцией**:

$$\frac{1}{\sqrt{1-2x+t+t^2}} = \sum_{n=0}^{\infty} C_n t^n = \sum_{n=0}^{\infty} P_n(x) t^n, \quad C_n = \frac{f^{(n)}(0)}{n!} = P_n(x).$$

8. Рекуррентные соотношения для полиномов Лежандра:

1)  $(n+1)P_n + 1(x) + nP_{n-1}(x) = (2n+1)xP_n(x)$ ;

2)  $P'_{n+1} - P'_{n-1} = (2n+1)P_n$ ;

3)  $\int P_n dx = \frac{1}{2n+1} [P_n(x) - P_{n-1}(x)] + C$ .

9. Ортогональность.

Система функций  $\{P_n(x)\}_{0}^{\infty}$  ортогональна на  $[-1, 1]$  с весом  $\rho = 1$ :

$$(P_n, P_m) = \int_{-1}^1 P_n(x) P_m(x) dx = \begin{cases} \frac{2}{2n+1} & n = m \\ 0 & n \neq m \end{cases}.$$

Функция  $f(x) \in L_2[-1, 1]$  разлагается в ряд Фурье по полиномам Лежандра на интервале  $(-1, 1)$

$$f(x) = C_0 P_0(x) + C_1 P_1 + \dots = \sum_{n=0}^{\infty} C_n P_n, \quad (5.5)$$

$$C_n = \frac{(f, P_n)}{\|P_n\|^2} = \frac{2n+1}{2} \int_{-1}^1 f(x) P_n(x) dx. \quad (5.6)$$

10. Рассмотрим разложение многочлена степени  $k$   $y(x) = a_0 + a_1 x + \dots + a_k x^k$  в ряд Фурье по полиномам Лежандра. Применяя формулы (5.5), (5.6) получим не ряд, а конечную сумму

$$y(x) = \sum_{n=0}^k C_n P_n(x), \text{ так как коэффициенты } C_n = 0 \text{ при } n > k.$$

В частности:

1) если  $y(x) = a_0$ , то только  $C_0 \neq 0$ ;

2) если  $y(x) = a_0 + a_1 x$  – полином 1-й степени, то не равны нулю только коэффициенты  $C_0$  и  $C_1$ ;

3) если  $y(x)$  содержит только нечётные степени  $x$ , то сумма

$$\sum_{n=0}^k C_n P_n(x) \text{ будет содержать слагаемые только с нечётными}$$



номера полиномов Лежандра.

Коэффициенты  $C_n$  в случае разложения многочлена степени  $k$  проще вычислять не по формулам (5.6), а методом неопределённых коэффициентов. Напишем, например, разложение многочлена  $y(x) = 1 - x + 2x^2$  в виде

$$1 - x + 2x^2 = C_0 P_0(x) + C_1 P_1(x) + C_2 P_2(x) = C_0 + C_1 x + C_2 \left( \frac{2}{3} x^2 - \frac{1}{2} \right),$$

где  $C_0, C_1, C_2$  – неопределённые коэффициенты. Приравнявая коэффициенты при одинаковых степенях  $x$ , получим

$$\left. \begin{array}{l} 1 = C_0 - \frac{1}{2} C_2 \\ -1 = C_1 \\ 2 = \frac{3}{2} C_2 \end{array} \right\} \Rightarrow \left. \begin{array}{l} C_0 = \frac{5}{3} \\ C_1 = -1 \\ C_2 = \frac{4}{3} \end{array} \right\}.$$

Итак,  $1 - x + 2x^2 = \frac{5}{3} P_0(x) - P_1(x) + \frac{4}{3} P_2(x)$ .

11. Если от переменной  $x$  перейти к переменной  $\theta$  заменой  $x = \cos \theta$ ,  $0 \leq \theta \leq \pi$ , то получим полиномы Лежандра  $P_n(\cos \theta)$ . Найдем вид уравнения Лежандра в этом случае. В уравнении (5.3)

$$\frac{d}{dx} \left[ (1 - x^2) \frac{d}{dx} y \right] + n(n + 1)y = 0$$

перейдём к новой переменной  $\theta$ :

$$x = \cos \theta, \quad dx = -\sin \theta \, d\theta, \quad \frac{d\theta}{dx} = -\frac{1}{\sin \theta},$$

$$\frac{d}{dx} y = \frac{dy}{d\theta} \frac{d\theta}{dx} = -\frac{1}{\sin \theta} \frac{d}{d\theta} y, \quad \text{то есть} \quad \frac{d}{dx} = -\frac{1}{\sin \theta} \frac{d}{d\theta}.$$

Подставим преобразованный оператор дифференцирования в уравнение Лежандра. Тогда уравнение примет вид

$$\frac{1}{\sin \theta} \frac{d}{d\theta} \left( \sin \theta \frac{dy}{d\theta} \right) + n(n + 1)y = 0, \quad 0 \leq \theta \leq \pi. \quad (5.7)$$

Запишем условие ортогональности системы функций  $\{P_n(\cos \theta)\} \Big|_{n=0}^{\infty}$ .

$$(P_n, P_m) = \int_0^\pi P_n(\cos\theta)P_m(\cos\theta)\sin\theta d\theta = \begin{cases} 0, & m \neq n \\ \frac{2}{2n+1}, & m = n \end{cases}.$$

Функция  $f(\theta) \in L_2[0, \pi]$  разлагается в ряд Фурье по полиномам  $P_n(\cos\theta)$  на  $[0, \pi]$ :

$$f(\theta) = C_0P_0 + C_1P_1(\cos\theta) + \dots = \sum_{n=0}^{\infty} C_nP_n(\cos\theta),$$

где  $C_n = \frac{2n+1}{2} \int_0^\pi f(\theta)P_n(\cos\theta)\sin\theta d\theta$ .

Если  $f(\theta)$  – тригонометрический многочлен степени  $k$ , то разложение  $f(\theta)$  не будет содержать полиномов  $P_n(\cos\theta)$  при  $n > k$ .

12. Разложение плоской волны:

$$e^{i\vec{k} \cdot \vec{r}} = e^{ikr\cos\theta} = \sum_{n=0}^{\infty} (2n+1)i^n P_n(\cos\theta)j_n(kr), \quad (5.8)$$

где  $j_n(x) = \sqrt{\frac{\pi}{2x}} J_{n+\frac{1}{2}}(x)$  – сферические функции Бесселя первого рода.

13. Второе частное решение уравнения Лежандра  $y_2(x) = Q_n(x)$ , линейно независимое с  $P_n(x)$ , неограниченно возрастает при  $x \rightarrow \pm 1$ .

Приведём эти решения для  $n = 0, 1, 2$ :

$$Q_0(x) = \frac{1}{2} \ln \left| \frac{1+x}{1-x} \right|, \quad Q_1(x) = \frac{1}{2} x \ln \left| \frac{1+x}{1-x} \right| - 1,$$

$$Q_2(x) = \frac{1}{3} (3x^2 - 1) \ln \left| \frac{1+x}{1-x} \right| - \frac{3}{2} x.$$

Общее решение уравнения Лежандра запишется тогда в виде

$$y(x) = C_1P_n(x) + C_2Q_n(x),$$

где  $C_1$  и  $C_2$  – произвольные постоянные.

**Пример.** Разложить по полиномам Лежандра функцию  $f(x)$ , заданную на отрезке  $[-1, 1]$  и имеющую разрыв первого рода в точке  $x = 0$ :

$$f(x) = \begin{cases} 0, & -1 < x < 0 \\ 1, & 0 < x < 1 \end{cases}.$$

Решение. Вычислим  $C_n$  по формуле (5.1.6).

Так как здесь  $C_n = \frac{2n+1}{2} \int_0^1 P_n(x) dx$ , то  $C_0 = \frac{1}{2}$ ,  $C_n = \frac{1}{2} [P_{n-1}(0) - P_{n+1}(0)]$ ,  $n \geq 1$ .

Получили разложение

$$f(x) = \frac{1}{2} P_0(x) + \frac{3}{4} P_1(x) - \frac{7}{16} P_3(x) + \frac{11}{32} P_5(x) - \frac{75}{256} P_7(x) + \dots$$

На рис. 25 функция  $f(x)$  представлена первыми четырьмя членами ряда (пунктирная линия):

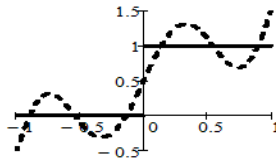


Рис. 25

## 5.2. Присоединённые полиномы Лежандра

Дифференциальное уравнение

$$\left[ (1-x^2)y' \right]' + \left( \lambda - \frac{m^2}{1-x^2} \right) y = 0, \quad x \in [-1, 1], \quad (5.9)$$

при  $\lambda = n(n+1)$ , где  $m, n$  – целые,  $n \geq 0$ ,  $m = 0, 1, \dots, n$ , называется **присоединённым** уравнением Лежандра.

Частными решениями  $y_1(x)$ , ограниченным в особых точках  $x = \pm 1$  являются **присоединённые** полиномы Лежандра  $P_n^m(x)$ , а неограниченные в этих точках частные решения есть **присоединённые функции** Лежандра второго рода  $Q_n^m(x)$ .

Общее решение присоединённого уравнения Лежандра имеет вид:

$$y(x) = C_1 P_n^m(x) + C_2 Q_n^m(x).$$

Свойства  $P_n^m(x)$ .

1. Присоединённые полиномы  $P_n^m(x)$  и  $Q_n^m(x)$  удобно находить по **формулам Родрига**:

$$P_n^m(x) = (1-x^2)^{\frac{m}{2}} \frac{d^m P_n(x)}{dx^m},$$

$$Q_n^m(x) = (1-x^2)^{\frac{m}{2}} \frac{d^m Q_n(x)}{dx^m}, \quad m = 0, 1, \dots, n. \quad (5.10)$$

2.  $P_n^0(x) = P_n(x)$  – присоединённые полиномы равны полиномам Лежандра при  $m = 0$ .

3. Найдём несколько первых полиномов:

$$P_0^0 = P_0 = 1, \quad P_1^0(x) = P_1(x) = x, \quad P_2^0(x) = P_2(x) = \frac{2}{3}x^2 - \frac{1}{2},$$

$$P_1^1(x) = \sqrt{1-x^2}, \quad P_2^1 = 3x\sqrt{1-x^2}, \quad P_2^2 = 3(1-x^2).$$

4. Ортогональность.

Система функции  $\{P_n^m(x)\}_{n=0}^{\infty}$  ортогональна на  $[-1, 1]$ :

$$(P_n^m, P_k^{m'}) = \int_{-1}^1 P_n^m(x) P_k^{m'}(x) dx = \begin{cases} 0, & k \neq n, m \neq m', \\ \frac{2}{2n+1} \cdot \frac{(n+m)!}{(n-m)!}, & k = n, m = m'. \end{cases}$$

Если перейти от переменной  $x$  к новой переменной  $\theta$  по формуле  $x = \cos\theta$ ,  $0 \leq \theta \leq \pi$ , то получим функции  $P_n^m(\cos\theta)$ :

$$P_1^0(\cos\theta) = x = \cos\theta, \quad P_1^1(\cos\theta) = \sqrt{1-x^2} = \sin\theta,$$

$$P_2^1 = 3x\sqrt{1-x^2} = 3\cos\theta \sin\theta = \frac{3}{2} \sin 2\theta, \quad P_2^2 = 3(1-x^2) = \frac{3}{2}(1-\cos 2\theta)$$

и т.д.

**Тестовая задача.**

Предел производной присоединённой функции Лежандра  $P_{11}^{(1)}(x)$  при  $x \rightarrow 1$  равен:

Варианты ответов: 1)  $\frac{\sqrt{11}}{7}$ , 2)  $\frac{2}{41}$ , 3)  $\frac{23}{4}$ , 4)  $\infty$ .

*Ответ.* Вариант 4) (при дифференцировании  $(1-x^2)^{\frac{1}{2}} \frac{dP_n(x)}{dx}$ )

получим  $\frac{1}{2\sqrt{1-x^2}} P'_n(x) + \dots$ .

### 5.3. Полиномы Чебышева

**Полиномы Чебышева первого рода**  $T_n(x)$  являются решениями дифференциального уравнения

$$(1-x^2)y'' - 2xy' + n^2y = 0, \quad x \in [-1, 1], \quad n = 0, 1, 2, \dots \quad (5.11)$$

Свойства  $T_n(x)$ .

1.  $T_n(\pm 1) \neq \infty$ .
2.  $T_n(x)$  можно вычислить по формуле:

$$T_n(x) = \cos(n \arccos x). \quad (5.12)$$

3. Первые полиномы:

$$T_0(x) = 1, \quad T_1(x) = x, \quad T_2(x) = 2x^2 - 1, \quad T_3(x) = 4x^3 - 3x.$$

4. Графики  $T_1(x)$ ,  $T_2(x)$ ,  $T_3(x)$ ,  $T_4(x)$ :

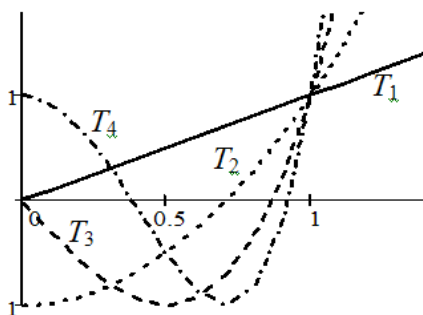


Рис. 26

5. Рекуррентная формула:  $T_n(x) = 2xT_{n-1}(x) - T_{n-2}(x)$ .

6. Производящая функция:  $\frac{1-tx}{1-2tx+t^2} = \sum_{n=0}^{\infty} T_n(x)t^n, \quad |x| \leq 1, \quad |t| < 1$ .

7. Ортогональность.

Система функций  $\{T_n(x)\} \Big|_0^{\infty}$  ортогональна на  $[-1, 1]$  с весом

$$\rho(x) = \frac{1}{\sqrt{1-x^2}} :$$

$$\int_{-1}^1 T_n(x)T_m(x) \frac{1}{\sqrt{1-x^2}} dx = \begin{cases} 0 & m \neq n \\ \pi & m = n \neq 0 \\ 2 & m = n = 0 \end{cases}$$

**Полиномы Чебышева второго рода**  $U_n(x)$  являются решениями дифференциального уравнения

$$(1-x^2)y'' - 2xy' + n(n+2)y = 0, x \in [-1, 1], n = 0, 1, 2, \dots \quad (5.13)$$

Первые полиномы:

$$U_0(x) = 1, U_1(x) = 2x, U_2(x) = 4x^2 - 1, U_3(x) = 8x^3 - 3x, \dots$$

Система функций  $\{U_n(x)\}_{n=0}^{\infty}$  ортогональна на  $[-1, 1]$  с весом

$$\rho(x) = \sqrt{1-x^2} :$$

$$(U_n, U_k) = \int_{-1}^1 U_n(x)U_k(x)\sqrt{1-x^2} dx = \begin{cases} 0, & n \neq k \\ \pi/2, & n = k \end{cases} .$$

Полиномы Чебышева применяются в теории аппроксимации функций.

Пусть  $f(x)$  – непрерывная на  $[-1, 1]$  функция. Требуется заменить её другой, аналитически более простой функцией  $g(x)$ . Выбрать функцию  $g(x)$  надо так, чтобы расстояние  $d$  между  $f(x)$  и  $g(x)$  было минимальным. За расстояние  $d$  при равномерном приближении принимается наибольшее значение абсолютного отклонения на заданном интервале:

$$d(f, g) = \max |f(x) - g(x)|, x \in [-1, 1].$$

Справедлива следующая теорема.

**Теорема.** Пусть  $p_n(x)$  – совокупность полиномов степени  $n$  с коэффициентом при  $x^n$ , равным единице, заданных на отрезке  $[-1, 1]$ . Рассмотрим величину  $M(p_n) = \max |p_n(x)|, x \in [-1, 1]$ .

Наименьшее значение  $M(p_n)$  достигается при

$$p_n(x) = \frac{1}{2^{n-1}} T_n(x), \text{ где } T_n(x) \text{ – полиномы Чебышева.}$$

Из теоремы следует, что  $d(f, g)$  принимает минимальное значение, если  $g(x)$  будет частичной суммой ряда Фурье функции  $f(x)$  по полиномам Чебышева

$$g(x) = S_n(x) = \sum_{k=0}^n C_k T_k(x),$$

$$C_0 = \frac{1}{\pi} \int_{-1}^1 f(x) \frac{1}{\sqrt{1-x^2}} dx, \quad C_n = \frac{2}{\pi} \int_{-1}^1 f(x) T_n(x) \frac{1}{\sqrt{1-x^2}} dx \quad \text{при } n \neq 0.$$

Из теоремы вытекает, что полином  $n$ -й степени

$$Q_n = \frac{T_n\left(\frac{x}{a}\right)}{T_n\left(\frac{1}{a}\right)},$$

равный 1 при  $x = 1$ , в промежутке  $[-a, a]$  даёт наименьшее отклонение от нуля, равное  $\pm \frac{1}{T_n\left(\frac{1}{a}\right)}$ .

**Пример 1.** Определить промежутки изменения  $x$ , в котором  $|Q_5(x)| \leq 0,1$ .

*Решение.* Надо найти параметр  $a$  из уравнения  $T_5\left(\frac{1}{a}\right) = 10$ . Используя пакет MathCad, найдём корень уравнения  $T_5(x) = 10$ :  $x = \frac{1}{a} = 1,195$ ,  $a = 0,837$ . Тогда получим, что полином, который по модулю не превосходит 0,1 на интервале  $-0,837 \leq x \leq 0,837$  имеет вид (рис. 27)

$$Q_5 = \frac{T_5(1,195x)}{T_5(1,195)}.$$

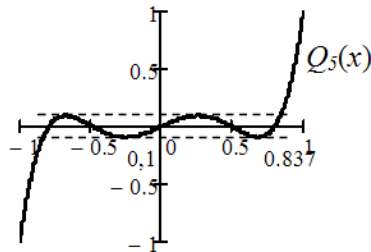


Рис. 27

**Пример 2.** Разложить по полиномам Чебышева I функцию  $f(x)$ , заданную на отрезке  $[-1, 1]$  и имеющую разрыв первого рода в точке  $x = 0$ :

$$f(x) = \begin{cases} 0, & -1 < x < 0 \\ 1, & 0 < x < 1 \end{cases}.$$

*Решение.* Ряд имеет вид

$$f(x) = C_0 T_0(x) + C_1 T_1(x) + C_2 T_2(x) + C_3 T_3(x) + \dots$$

Вычислим  $C_n$ . Так как  $T_0(x) = 1$ ,  $T_1(x) = x$ ,  $T_2(x) = 2x^2 - 1$ ,  $T_3(x) = 4x^3 - 3x$ , то

$$C_0 = \frac{1}{\pi} \int_0^1 \frac{dx}{\sqrt{1-x^2}} = 0,5; \quad C_1 = \frac{2}{\pi} \int_0^1 \frac{xdx}{\sqrt{1-x^2}} = 0,637;$$

$$C_2 = \frac{2}{\pi} \int_0^1 \frac{(2x^2 - 1)}{\sqrt{1-x^2}} dx \approx 0,0; \quad C_3 = \frac{2}{\pi} \int_0^1 \frac{(4x^3 - 3x)}{\sqrt{1-x^2}} dx = -0,212.$$

Получили:

$$f(x) = 0,5 + 0,635x + 0,0(2x^2 - 1) - 0,212(4x^3 - 3x) + \dots$$

На рис. 28 функция  $f(x)$  представлена первыми четырьмя членами ряда:

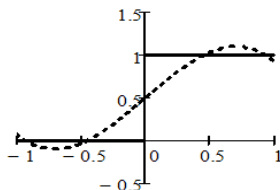


Рис. 28

Ранее эта же функция была разложена по полиномам Лежандра (см. рис. 25).

#### 5.4. Полиномы Лагерра

Полиномы **Лагерра**  $L_n(x)$  являются решениями дифференциального уравнения

$$y'' + (1-x)y' + ny = 0, \quad x \in [0, \infty), \quad n = 0, 1, 2, \dots \quad (5.14)$$

Свойства  $L_n(x)$ .

1. Полиномы Лежандра удобно вычислять при помощи **формулы Родрига**:



$$L_n(x) = (-1)^n e^x \frac{d^n}{dx^n} (e^{-x} x^n), n = 0, 1, \dots \quad (5.15)$$

2. Первые полиномы:

$$L_0(x) = 1, L_1(x) = 1 - x, L_2(x) = x^2 - 4x + 2, L_3(x) = -x^3 + 9x^2 - 18x + 6.$$

3. Производящая функция:

$$\frac{1}{1-t} e^{-\frac{xt}{1-t}} = \sum_{n=0}^{\infty} L_n(x) \frac{t^n}{n!}.$$

4. Рекуррентное соотношение:

$$L_{n+1}(x) + (x - 2n - 1) L_n(x) + n^2 L_{n-1}(x) = 0.$$

5. Графики  $L_1(x)$ ,  $L_2(x)$  и  $L_3(x)$ :

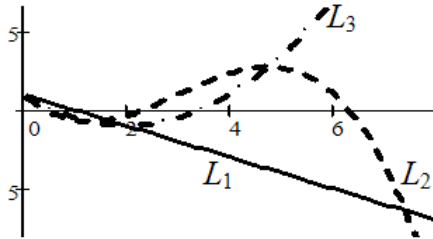


Рис. 29

6. Ортогональность.

Система полиномов  $\{ L_n(x) \}_{n=0}^{\infty}$  ортогональна на  $(0, \infty)$  с весом  $\rho = e^{-x}$ :

$$(L_n, L_m) = \int_0^{\infty} L_n(x) L_m(x) e^{-x} dx = \begin{cases} 0, & n \neq m \\ (n!)^2, & n = m \end{cases}.$$

Функция  $f(x) \in L_2(0, \infty)$  раскладывается в ряд Фурье по полиномам Лагерра на интервале  $(0, \infty)$ :

$$f(x) = C_0 L_0 + C_1 L_1 + \dots = \sum_{n=0}^{\infty} C_n L_n(x),$$

$$C_n = \frac{(f, L_n)}{\|L_n\|^2} = \frac{1}{(n!)^2} \int_0^{\infty} f(x) L_n(x) e^{-x} dx.$$

Полиномы Лагерра имеют большое значение для приложений. Наиболее важное применение полиномы Лагерра находят при решении уравнения Шредингера для атома водорода.

### 5.5. Полиномы Эрмита

Полиномы Эрмита  $H_n(x)$  являются решениями дифференциального уравнения

$$y'' - 2xy' + 2ny = 0, \quad x \in (-\infty, \infty), \quad n = 1, 2, \dots \quad (5.16)$$

Свойства  $H_n(x)$

1.  $H_n(x)$  можно вычислить по формуле Родрига

$$H_n(x) = (-1)^n e^{\frac{x^2}{2}} \frac{d^n}{dx^n} e^{-\frac{x^2}{2}}. \quad (5.17)$$

2. Первые полиномы:  $H_1(x) = 2x$ ,  $H_2(x) = 4x^2 - 2$ ,  $H_3(x) = 8x^3 - 12x$ , ...

3. Рекуррентное соотношение:

$$H_{n+1}(x) = x H_n(x) - n H_{n-1}(x).$$

4. Ортогональность.

Система функций  $\{H_n(x)\} \Big|_0^\infty$  ортогональна на  $(-\infty, \infty)$  с весом  $\rho(x) = e^{-x^2}$ :

$$(H_n, H_m) = \int_0^\infty H_n(x) H_m(x) e^{-x^2} dx = \begin{cases} 0, & m \neq n \\ 2^n \sqrt{\pi} n!, & m = n \end{cases}$$

5. Графики  $H_1, H_2, H_3, H_4$ :

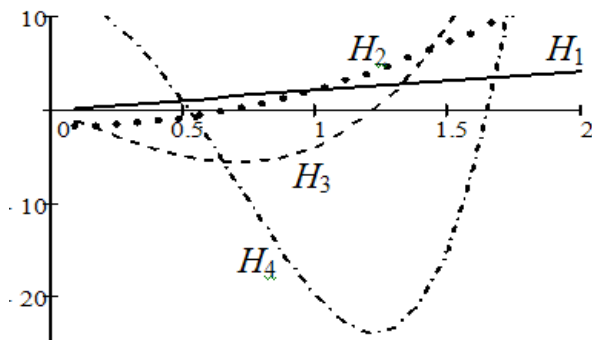


Рис. 30

Основные свойства ортогональных полиномов

Полиномы	Уравнение	Обозначение	Область	Вес $\rho(x)$	$\  \cdot \ $
Лежандра	$[(1-x^2)y']' + n(n+1)y = 0$	$P_n(x)$	$[-1, 1]$	1	$\frac{2}{2n+1}$
Чебышева I	$(1-x^2)y'' - 2xy' + n^2y = 0$	$T_n(x)$	$[-1, 1]$	$\frac{1}{\sqrt{1-x^2}}$	$\frac{\pi/2}{n \neq 0}$ $\pi, n=0$
Чебышева II	$(1-x^2)y'' - 2xy' + n(n+2)y = 0$	$U_n(x)$	$[-1, 1]$	$\sqrt{1-x^2}$	$\pi/2$
Лагерра	$y'' + (1-x)y' + ny = 0$	$L_n(x)$	$[0, \infty)$	$e^{-x}$	$(n!)^2$
Эрмита	$y'' - 2xy' + 2ny = 0$	$H_n(x)$	$(-\infty, \infty)$	$e^{-x^2}$	$2^n n! \pi^{1/2}$

## § 6. Сферические функции

Сферические функции возникают при разделении переменных в уравнениях Лапласа, Гельмгольца или пространственной части классического волнового уравнения и уравнения Шредингера для центральных сил, когда угловая зависимость целиком обусловлена оператором Лапласа в сферической системе координат.

Пусть  $y(\theta, \varphi)$  – функция двух переменных  $\theta \in [0, \pi]$ ,  $\varphi \in [0, 2\pi]$ .

Рассмотрим решение уравнения

$$\frac{1}{\sin \theta} \frac{\partial}{\partial \theta} \left( \sin \theta \frac{\partial y}{\partial \theta} \right) + \frac{1}{\sin^2 \theta} \frac{\partial^2 y}{\partial \varphi^2} + \lambda y = 0, \quad (6.1)$$

с краевыми условиями:

1.  $y(\theta, \varphi)$  ограничена по углу  $\theta$  на концах интервала

$$y(0, \varphi) \neq \infty, y(\pi, \varphi) \neq \infty. \quad (6.2)$$

2.  $y(\theta, \varphi)$  периодическая по углу  $\varphi$

$$y(\theta, \varphi) = y(\theta, \varphi + 2\pi). \quad (6.3)$$

Пусть  $y(\theta, \varphi) = \Theta(\theta)\Phi(\varphi)$ .

Тогда по методу разделения переменных получаются два уравнения:

$$\Phi'' + \mu\Phi = 0,$$

$$\Theta'' + \operatorname{ctg} \theta \cdot \Theta' + \left( \lambda - \mu \frac{1}{\sin^2 \theta} \right) \Theta = 0, \quad \mu - \text{константа разделения.}$$

Первое уравнение имеет  $2\pi$ -периодические решения  $\cos mx$  и  $\sin mx$  при  $\mu = m^2$ , где  $m = 0, 1, 2, \dots$

Второе уравнение есть присоединённое уравнение Лежандра. Ограниченные решения при  $\theta = 0$  и  $\theta = \pi$ , существуют только при  $\lambda = n(n + 1)$ , где  $n = 0, 1, 2, \dots$ . Эти решения есть присоединённые функции Лежандра  $P_n^m(\cos\theta)$ ,  $m = 0, 1, \dots, n$ .

В результате, решение нашей краевой задачи даёт систему собственных функций

$$\{Y_n^m(\theta, \varphi)\}_{n=0}^{\infty}, n = 0, 1, 2, \dots; m = 0, \pm 1, \pm 2, \dots \pm n \quad (6.4)$$

и соответствующих собственных значений,  $\lambda_n = n(n + 1)$ .

Собственные функции  $Y_n^m(\theta, \varphi)$  – **сферические** функции порядка  $n$ , определяемые равенствами

$$\begin{aligned} Y_n^m(\theta, \varphi) &= P_n^m(\cos\theta)\cos m\varphi, m = 0, 1, \dots, n; \\ Y_n^{-m}(\theta, \varphi) &= P_n^m(\cos\theta)\sin m\varphi, m = 0, 1, \dots, n. \end{aligned} \quad (6.5)$$

Положительный верхний индекс приписывают тем функциям, которые содержат  $\cos m\varphi$ , и отрицательный – функциям, содержащим  $\sin m\varphi$ .

Сферической функцией может называться линейная комбинация функций  $Y_n^m(\theta, \varphi)$ :

$$Y_n(\theta, \varphi) = \sum_{m=0}^n (A_m \cos m\varphi + B_m \sin m\varphi) P_n^m(\cos\theta),$$

где  $A_m$  и  $B_m$  – произвольные постоянные.

**Шаровой** функцией называется функция  $Y_n(\theta, \varphi)$ , умноженная на  $r^n$  или  $\frac{1}{r^{n+1}}$ .

Сферические функции можно записать в комплексной форме:

$$Y_{n,m}(\theta, \varphi) = P_n^m(\cos\theta)e^{im\varphi}, m = 0, \pm 1, \pm 2, \dots \pm n. \quad (6.6)$$

**С в о й с т в а**  $Y_n^m(\theta, \varphi)$ .

1. Так как  $m = 0, \pm n$ , то при заданном  $n$  имеем  $2n + 1$  сферических функций.

2. При  $m = 0$  сферические функции есть полиномы Лежандра

$$Y_n^0(\theta, \varphi) = P_n^0(\cos\theta) = P_n(\cos\theta).$$

3. Сферические функции ортогональны на единичной сфере с весом  $\rho = \sin\theta$ .

Для квадрата нормы имеем

$$\|Y_n^{\pm m}\|^2 = \int_0^{2\pi} d\varphi \int_0^\pi [Y_n^{|m|}(\theta, \varphi)]^2 \sin\theta d\theta = \begin{cases} \frac{4\pi}{2n+1}, & m=0 \\ \frac{2\pi}{(2n+1)} \frac{(n+|m|)!}{(n-|m|)!}, & m \neq 0 \end{cases}$$

Функция  $f(\theta, \varphi)$  двух переменных  $\theta$  и  $\varphi$ ,  $\theta \in [0, \pi]$ ,  $\varphi \in [0, 2\pi]$ , разлагается в двойной ряд Фурье по системе сферических функций:

$$f(\theta, \varphi) = \sum_{n=0}^{\infty} \sum_{m=-n}^n C_{n,m} Y_n^m(\theta, \varphi),$$

где  $C_{n,m} = \frac{1}{\|Y_n^m\|^2} \int_0^{2\pi} d\varphi \int_0^\pi f(\theta, \varphi) Y_n^m(\theta, \varphi) \sin(\theta) d\theta$ ,

или  $f(\theta, \varphi) = \sum_{n=0}^{\infty} \sum_{m=0}^n (A_{m,n} \cos m\varphi + B_{n,m} \sin m\varphi) P_n^m(\cos\theta)$ ,

$$A_{n,m} = \frac{1}{\|Y_n^m\|^2} \int_0^{2\pi} d\varphi \int_0^\pi f(\theta, \varphi) P_n^m(\theta, \varphi) \cos m\varphi \sin(\theta) d\theta,$$

$$B_{n,m} = \frac{1}{\|Y_n^m\|^2} \int_0^{2\pi} d\varphi \int_0^\pi f(\theta, \varphi) P_n^m(\theta, \varphi) \sin m\varphi \sin(\theta) d\theta.$$

Разложение функции  $f(\theta)$ , не зависящей от  $\varphi$ , совпадает с разложением  $f(\theta)$  по полиномам Лежандра  $P_n(\cos\theta)$ .

Сферические функции порядка  $n$ ,  $m = 0, \pm 1, \pm 2, \dots, \pm n$  имеют вид:

$$m = 0: Y_n^0 = P_n(\cos\theta);$$

$$m = 1: Y_n^1 = P_n^1(\cos\theta) \cos\varphi; Y_n^{-1} = P_n^1(\cos\theta) \sin\varphi;$$

$$m = 2: Y_n^2 = P_n^2(\cos\theta) \cos 2\varphi; Y_n^{-2} = P_n^2(\cos\theta) \sin 2\varphi;$$

...

$$m = n: Y_n^n = P_n^n(\cos\theta) \cos n\varphi; Y_n^{-n} = P_n^n(\cos\theta) \sin n\varphi.$$

**Пример.** Написать решение уравнения

$$\frac{1}{\sin \theta} \frac{\partial}{\partial \theta} \left( \sin \theta \frac{\partial Y}{\partial \theta} \right) + \frac{1}{\sin^2 \theta} \frac{\partial^2 Y}{\partial \varphi^2} + 6Y = 0.$$

*Решение.* Решением является фундаментальная система сферических функций для  $n(n+1) = 6$ . Тогда фундаментальная система состоит из пяти функций при  $n = 2, m = 0, \pm 1, \pm 2$ :

$$m = 0: Y_2^0 = P_2(\cos \theta) = \frac{3}{2} \cos^2 \theta - \frac{1}{2}, \quad \|Y_2^0\| = 2\sqrt{\frac{\pi}{5}};$$

$$m = 1: Y_2^1 = P_2^1(\cos \theta) \cos \varphi = 3 \sin \theta \cos \theta \cos \varphi;$$

$$m = -1: Y_2^{-1} = P_2^1(\cos \theta) \sin \varphi = 3 \sin \theta \cos \theta \sin \varphi, \quad \|Y_2^1\| = \|Y_2^{-1}\| = 2\sqrt{\frac{3\pi}{5}};$$

$$m = 2: Y_2^2 = P_2^2(\cos \theta) \cos 2\varphi = 3 \sin^2 \theta \cos 2\varphi;$$

$$m = -2: Y_2^{-2} = P_2^2(\cos \theta) \sin 2\varphi = 3 \sin^2 \theta \sin 2\varphi, \quad \|Y_2^2\| = \|Y_2^{-2}\| = 4\sqrt{\frac{3\pi}{5}}.$$

Нормированные сферические гармоники  $Y_{n,m}(\theta, \varphi)$ , записанные в комплексной форме, для  $n = 0, 1, 2$  имеют вид:

$$n = 0: Y_{00} = \frac{1}{\sqrt{4\pi}}; \quad n = 1: Y_{10} = \sqrt{\frac{3}{4\pi}} \cos \theta; \quad Y_{1,\pm 1} = -\sqrt{\frac{3}{8\pi}} \sin \theta e^{\pm i\varphi};$$

$$n = 2: Y_{20} = \sqrt{\frac{5}{4\pi}} \left( \frac{3}{2} \cos^2 \theta - \frac{1}{2} \right); \quad Y_{2,\pm 1} = -\sqrt{\frac{15}{8\pi}} \sin \theta \cos \theta e^{\pm i\varphi};$$

$$Y_{2,\pm 2} = \frac{1}{4} \sqrt{\frac{15}{2\pi}} \sin^2 \theta e^{\pm 2i\varphi}.$$

Функцию  $f(\theta, \varphi)$  можно разложить в ряд по нормированным сферическим гармоникам  $Y_{n,m}(\theta, \varphi)$ :

$$f(\theta, \varphi) = \sum_{n=0}^{\infty} \sum_{m=-n}^n a_{n,m} Y_{n,m}(\theta, \varphi), \quad a_{n,m} = \int_0^{\pi} d\varphi \int_0^{2\pi} f(\theta, \varphi) Y_{n,m}^*(\theta, \varphi) \sin \theta d\theta.$$

(\* – знак комплексного сопряжения.)

**Тестовая задача.**

Для какой краевой задачи, решаемой методом разделения переменных, сферические функции выражают угловую зависимость?

*Варианты ответов:*

1) в шаре; 2) в кубе; 3) в цилиндре; 4) в прямоугольнике.

*Ответ.* Вариант 1).

## Глава 2. НЕКОТОРЫЕ ПРИМЕРЫ ИЗ МАТЕМАТИЧЕСКОЙ ФИЗИКИ

### § 1. Уравнение Лапласа в цилиндре

#### I

Рассмотрим краевую задачу Дирихле для уравнения Лапласа внутри ограниченного цилиндра радиуса  $a$  с однородным граничным условием на поверхности цилиндра.

Например, это задача о стационарном тепловом состоянии однородного изотропного цилиндра, на одном торце которого поддерживается заданное распределение температуры, а другой торец и боковая поверхность имеют нулевую температуру.

Введём цилиндрические координаты  $\rho, \varphi, z, 0 \leq \rho < \infty, -\pi < \varphi \leq \pi, -\infty < z < \infty$ . Ось  $z$  цилиндрической системы координат совместим с осью цилиндра, а начало поместим в плоскости одного из торцов.  $M(\rho, \varphi, z)$  – точка в пространстве. Декартовы координаты связаны с цилиндрическими формулами  $x = \rho \cos \varphi, y = \rho \sin \varphi, z = z$ .

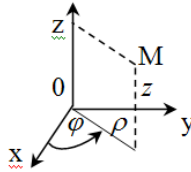


Рис. 31

Надо найти закон распределения температуры  $u(\rho, \varphi, z)$  внутри цилиндра при заданном распределении температуры на поверхности цилиндра. Эта задача сводится к тому, чтобы найти то решение уравнения Лапласа, которое принимает на поверхности цилиндра заданные значения:

$$\Delta u = 0, \rho \leq a, 0 \leq z \leq \ell, \quad (1.1)$$

$$u|_{\rho=a} = 0, \quad (1.2)$$

$$u|_{z=0} = f(\rho, \varphi), \quad (1.3)$$

$$u|_{z=\ell} = 0. \quad (1.4)$$

Для упрощения предположим, что граничное условие (1.3) не содержит переменной  $\varphi$ , то есть

$$f(\rho, \varphi) = f(\rho), \quad (1.5)$$

причём  $f(a) = 0$  в силу условия (1.2). Так как граничные значения  $f(\rho)$  не зависят от  $\varphi$ , то искомая функция  $u$  также не будет зависеть от  $\varphi$ , то есть

$$u = u(\rho, z). \quad (1.6)$$

В цилиндрических координатах  $\rho, \varphi, z$  уравнение Лапласа (1.1) имеет вид

$$\Delta u = \frac{1}{\rho} \frac{\partial}{\partial \rho} \left( \rho \frac{\partial u}{\partial \rho} \right) + \frac{1}{\rho^2} \frac{\partial^2 u}{\partial \varphi^2} + \frac{\partial^2 u}{\partial z^2} = 0. \quad (1.7)$$

Тогда для частного случая (1.6) получим уравнение

$$\frac{\partial^2 u}{\partial \rho^2} + \frac{1}{\rho} \frac{\partial u}{\partial \rho} + \frac{\partial^2 u}{\partial z^2} = 0. \quad (1.8)$$

Решение уравнения (1.8) будем искать методом разделения переменных. Представим решение в виде

$$u(\rho, z) = R(\rho) Z(z). \quad (1.9)$$

Подставим эту функцию в уравнение Лапласа (1.8) и разделим переменные

$$\frac{\frac{d}{d\rho} \left( \rho \frac{dR}{d\rho} \right)}{R} = - \frac{\frac{d^2 Z}{dz^2}}{Z} = \lambda, \lambda - \text{константа разделения.}$$

Получаем первое уравнение

$$R'' + \frac{1}{\rho} R' + \lambda R = 0, \rho \leq a, \quad (1.10)$$

решения которого должны удовлетворять однородным граничным условиям:  $R(0)$  – ограничено,  $R(a) = 0$ .

Таким образом, для функции  $R(\rho)$  имеем задачу Штурма–Лиувилля на собственные значения и собственные функции.

Уравнение (1.10) есть обобщённое уравнение Бесселя с индексом  $\nu = 0$ . Его общее решение имеет вид

$$R(\rho) = A J_0(\sqrt{\lambda} \rho) + B Y_0(\sqrt{\lambda} \rho),$$

где  $J_0$  и  $Y_0$  – функции Бесселя 1-го и 2-го рода соответственно.

В силу первого условия ограниченности на оси цилиндра надо положить  $B = 0$ , так как  $Y_0(\lambda \rho) \rightarrow \infty$  при  $\rho \rightarrow 0$ , тогда общее решение есть



$$R(\rho) = A J_0(\sqrt{\lambda} \rho), (A \neq 0).$$

Из условия  $R(a) = 0$  следует:

$$J_0(\sqrt{\lambda} a) = 0. \quad (1.11)$$

Из этого условия определяются допустимые значения параметра  $\lambda$ :

$$\lambda = \lambda_n = \left( \frac{\mu_n^0}{a} \right)^2, \quad (1.12)$$

где  $\mu_n^0$  – положительные корни уравнения (1.11), или нули функции Бесселя  $J_0(x)$ ,  $n = 1, 2, \dots$  – номер корня.

Тогда  $\lambda_n = \left( \frac{\mu_n^0}{a} \right)^2$  – собственные значения,  $n = 1, 2, \dots$

$$R_n(\rho) = A_n J_0\left(\frac{\rho}{a} \mu_n^0\right) – \text{собственные функции.} \quad (1.13)$$

Для определения  $Z(z)$  имеем уравнение

$$Z'' - \lambda Z = 0, \quad (1.14)$$

с условием  $Z(\ell) = 0$ .

Общее решение уравнения (1.14) при  $\lambda = \lambda_n = \left( \frac{\mu_n^0}{a} \right)^2$ , удовлетворяющее условию  $Z(\ell) = 0$ , имеет вид

$$Z(z) = B_n \operatorname{sh} \left[ \frac{(\ell - z)}{a} \mu_n^0 \right], \quad (1.15)$$

напомним, что  $\operatorname{sh} x = \frac{1}{2}(e^x - e^{-x})$ .

Получили частные решения уравнения Лапласа:

$$u_n(\rho, z) = C_n \operatorname{sh} \left[ \frac{(\ell - z)}{a} \mu_n^0 \right] J_0\left(\frac{\rho}{a} \mu_n^0\right), n = 1, 2, \dots \quad (1.16)$$

$$C_n = A_n B_n.$$

Общее решение рассматриваемой задачи есть суперпозиция частных решений:

$$u(\rho, z) = \sum_{n=1}^{\infty} u_n(\rho, z) = \sum_{n=1}^{\infty} C_n \operatorname{sh} \left[ \frac{(\ell - z)}{a} \mu_n^0 \right] J_0 \left( \frac{\rho}{a} \mu_n^0 \right).$$

Найдём коэффициенты  $C_n$ , при которых функция  $u(\rho, z)$  удовлетворяет граничному условию  $u|_{z=0} = f(\rho)$  на торце цилиндра:

$$u(\rho, 0) = \sum_{n=1}^{\infty} C_n \operatorname{sh} \left( \frac{\ell}{a} \mu_n^0 \right) J_0 \left( \frac{\rho}{a} \mu_n^0 \right) = f(\rho).$$

Разложим функцию  $f(\rho)$  в ряд Фурье по функциям Бесселя  $J_0 \left( \frac{\rho}{a} \mu_n^0 \right)$  и получим

$$\begin{aligned} C_n \operatorname{sh} \left( \frac{\ell}{a} \mu_n^0 \right) &= \frac{2}{a^2 J_1^2(\mu_n^0)} \int_0^a f(\rho) J_0 \left( \mu_n^0 \frac{\rho}{a} \right) \rho d\rho, \\ C_n &= \frac{2 \int_0^a f(\rho) J_0 \left( \frac{\rho}{a} \mu_n^0 \right) \rho d\rho}{a^2 \operatorname{sh} \left( \frac{\ell}{a} \mu_n^0 \right) J_1^2(\mu_n^0)}. \end{aligned} \quad (1.17)$$

Таким образом, искомое решение есть

$$u(\rho, z) = \sum_{n=1}^{\infty} C_n \operatorname{sh} \left[ \frac{(\ell - z)}{a} \mu_n^0 \right] J_0 \left( \frac{\rho}{a} \mu_n^0 \right). \quad (1.18)$$

*Замечание.* Это решение справедливо для любой непрерывной функции  $f(\rho)$  при условии  $f(a) = 0$ .

**Пример 1.** Решить краевую задачу Дирихле в цилиндре радиуса  $a$ , если  $f(\rho) = a^2 - \rho^2$ .

*Решение.* Запишем задачу (1.1) – (1.4):

$$\begin{aligned} \Delta u &= 0, \quad \rho \leq a, \quad 0 \leq z \leq a, \\ u|_{\rho=a} &= 0, \\ u|_{z=0} &= f(\rho) = a^2 - \rho^2, \quad u|_{z=\ell} = 0. \end{aligned}$$

Вычислим коэффициенты по формуле (1.17):

$$C_n = \frac{2 \int_0^a (\ell^2 - \rho^2) J_0 \left( \frac{\rho}{a} \mu_n^0 \right) \rho d\rho}{a^2 \operatorname{sh} \left( \frac{\ell}{a} \mu_n^0 \right) J_1^2(\mu_n^0)} = \frac{4\ell^2 J_2(\mu_n^0)}{(\mu_n^0)^2 \operatorname{sh} \left( \frac{\ell}{a} \mu_n^0 \right) J_1^2(\mu_n^0)}.$$

Тогда, согласно формуле (1.18), получим решение

$$u(\rho, z) = \sum_{n=1}^{\infty} \frac{4\ell^2 J_2(\mu_n^0)}{(\mu_n^0)^2 \operatorname{sh}\left(\frac{\ell}{a} \mu_n^0\right) J_1^2(\mu_n^0)} \operatorname{sh}\left[\frac{(\ell-z)}{a} \mu_n^0\right] J_0\left(\frac{\rho}{a} \mu_n^0\right).$$

**Пример 2.** Решить краевую задачу Дирихле для уравнения Лапласа в цилиндре радиуса 1, если  $f(\rho) = 1 - \rho^2$ .

*Решение.* Постановка задачи (1.1) – (1.4):

$$\Delta u = 0, \rho \leq 1, 0 \leq z \leq 1,$$

$$u|_{\rho=1} = 0,$$

$$u|_{z=0} = 1 - \rho^2, u|_{z=1} = 0.$$

Вычислим коэффициенты по формуле (1.17):

$$C_n = \frac{2 \int_0^1 (1 - \rho^2) J_0(\rho \mu_n^0) \rho d\rho}{\operatorname{sh}(\mu_n^0) J_1^2(\mu_n^0)} = \frac{4 J_2(\mu_n^0)}{(\mu_n^0)^2 \operatorname{sh}(\mu_n^0) J_1^2(\mu_n^0)}.$$

Найдём нули  $\mu_n^0$  функции Бесселя  $J_0$  [1]:

$$\mu_1^0 = 5,406, \mu_2^0 = 5,52, \mu_3^0 = 8,654, \dots$$

По формуле (1.18) получим решение:

$$u(\rho, z) = \sum_{n=1}^{\infty} u_n(\rho, z) = \sum_{n=1}^{\infty} \frac{4 J_2(\mu_n^0)}{(\mu_n^0)^2 \operatorname{sh}(\mu_n^0) J_1^2(\mu_n^0)} \operatorname{sh}[(1-z)\mu_n^0] J_0(\rho \mu_n^0) =$$

$$= 0,202 \operatorname{sh}[2,405(1-z)] J_0(2,406\rho) - 1,12 \cdot 10^{-3} \operatorname{sh}[5,52(1-z)] J_0(5,52\rho) +$$

$$+ 1,588 \cdot 10^{-5} \operatorname{sh}[8,654(1-z)] J_0(8,654\rho) + \dots$$

**Пример 3.** Рассмотрим задачу с другими граничными условиями. Пусть на торцах цилиндра функция  $u$  равна нулю, а на боковой поверхности задаётся известной функцией  $f(z)$ :

$$\Delta u = 0, \rho \leq a, 0 \leq z \leq \ell,$$

$$u|_{\rho=a} = f(z),$$

$$u|_{z=0} = u|_{z=\ell} = 0.$$

Решение ищем в виде  $u(\rho, z) = R(\rho) Z(z)$ .

Для заданных граничных условий получаем задачу на собственные значения и собственные функции:

$$Z'' - \lambda Z = 0, Z(0) = Z(\ell) = 0.$$

Решив эту задачу (см. задачи Штурма–Лиувилля в конце главы 3), получим:

$$\lambda_n = - \left( \frac{n\pi}{\ell} \right)^2 - \text{собственные значения,} \quad (1.19)$$

$$Z_n(z) = B_n \sin \left( \frac{n\pi}{\ell} z \right), n = 1, 2, \dots - \text{собственные функции.} \quad (1.20)$$

Так как собственные значения  $\lambda_n$  – отрицательные, то в уравнении (1.10) для функции  $R(\rho)$  параметр  $\lambda$  будет отрицательным, а  $\sqrt{\lambda}$  – мнимым числом, равным  $\frac{n\pi i}{\ell}$ ,  $n = 1, 2, \dots$ .

В этом случае уравнение (1.10) есть обобщённое модифицированное уравнение Бесселя при  $\alpha = \frac{n\pi}{\ell}$ , общее решение которого имеет вид

$$R(\rho) = A_1 I_0 \left( \frac{n\pi}{\ell} \rho \right) + A_2 K_0 \left( \frac{n\pi}{\ell} \rho \right), \quad (1.21)$$

где  $I_0(x)$  и  $K_0(x)$  – модифицированные функции Бесселя.

Так как функция  $K_0(\lambda\rho) \rightarrow \infty$  при  $\rho \rightarrow 0$ , то для ограниченности решения на оси цилиндра надо положить  $A_2 = 0$ .

Тогда частными решениями уравнения Лапласа будут функции

$$u_n(\rho, z) = C_n I_0 \left( \frac{n\pi}{\ell} \rho \right) \sin \left( \frac{n\pi}{\ell} z \right), n = 1, 2, \dots \quad (1.22)$$

Общее решение рассматриваемой задачи есть суперпозиция частных решений:

$$u(\rho, z) = \sum_{n=1}^{\infty} u_n(\rho, z).$$

Чтобы удовлетворить граничным условиям

$$u(a, z) = \sum_{n=1}^{\infty} C_n I_0 \left( \frac{n\pi}{\ell} a \right) \sin \left( \frac{n\pi}{\ell} z \right) = f(z),$$

разложим функцию  $f(z)$  в ряд Фурье по системе функций  $\sin \left( \frac{n\pi}{\ell} z \right)$  и, в силу единственности разложения, приходим к равенству

$$C_n I_0\left(\frac{n\pi}{\ell} a\right) = \frac{2}{\ell} \int_0^{\ell} f(z) \sin\left(\frac{n\pi}{\ell} z\right) dz, \quad C_n = \frac{\frac{2}{\ell} \int_0^a f(z) \sin\left(\frac{n\pi}{\ell} z\right) dz}{I_0\left(\frac{n\pi}{\ell} a\right)}.$$

Тогда искомое решение есть

$$u(\rho, z) = \sum_{n=1}^{\infty} C_n I_0\left(\frac{n\pi}{\ell} \rho\right) \sin\left(\frac{n\pi}{\ell} z\right). \quad (1.23)$$

## § 2. Уравнение Лапласа в шаре

### I.

Найдём общее решение уравнения Лапласа

$$\Delta u = 0 \quad (2.1)$$

для шаровой области методом разделения переменных.

Введём сферические координаты  $r, \theta, \varphi$ ,  $0 \leq r < \infty$ ,  $0 \leq \theta < \pi$ ,  $0 \leq \varphi < 2\pi$ .

Поместим центр шара в начало координат сферической системы.  $M(r, \theta, \varphi)$  – точка в пространстве. Декартовы координаты связаны со сферическими формулами:

$$x = r \sin \theta \cos \varphi, \quad y = r \sin \theta \sin \varphi, \quad z = r \cos \theta.$$

$\theta$  – азимутальный угол («широта» точки  $M$ ),  $\varphi$  – полярный угол («долгота» точки  $M$ ).

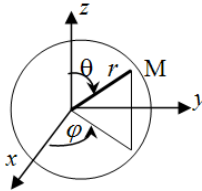


Рис. 32

В сферических координатах  $(r, \theta, \varphi)$  уравнение Лапласа (2.1) имеет вид

$$\Delta u = \frac{1}{r^2} \frac{\partial}{\partial r} \left( r^2 \frac{\partial u}{\partial r} \right) + \frac{1}{r^2 \sin \theta} \frac{\partial}{\partial \theta} \left( \sin \theta \frac{\partial u}{\partial \theta} \right) + \frac{1}{r^2 \sin^2 \theta} \frac{\partial^2 u}{\partial \varphi^2} = 0. \quad (2.2)$$

Положим  $u(r, \theta, \varphi) = R(r) Y(\theta, \varphi)$ .

Для определения  $R(r)$  получаем уравнение Эйлера

$$r^2 R'' + 2r R' - \lambda R = 0, \lambda - \text{константа разделения}, \quad (2.3)$$

а для определения  $Y(\theta, \varphi)$  уравнение

$$\Delta_{\theta \varphi} Y + \lambda Y = \frac{1}{\sin \theta} \frac{\partial}{\partial \theta} \left( \sin \theta \frac{\partial Y}{\partial \theta} \right) + \frac{1}{\sin^2 \theta} \frac{\partial^2 Y}{\partial \varphi^2} + \lambda Y = 0 \quad (2.4)$$

с условиями периодичности, обеспечивающим однозначность решения по переменной  $\varphi$ , и ограниченности по переменной  $\theta$  в полусах на единичной сфере

$$Y(\theta, \varphi + 2\pi) = Y(\theta, \varphi), \quad |Y(0, \varphi)| < \infty, \quad |Y(\pi, \varphi)| < \infty. \quad (2.5)$$

Частными решениями уравнения (2.3) при  $\lambda = n(n + 1)$  являются функции

$$R_1(r) = r^n \quad \text{и} \quad R_2(r) = \frac{1}{r^{n+1}}, \quad (2.6)$$

а уравнения (2.4)

$$Y(\theta, \varphi) = Y_n^m(\theta, \varphi), \quad m = 0, \pm 1, \pm 2, \dots, \pm n, \quad (2.7)$$

то есть  $2n + 1$  сферических функций.

Тогда общее решение уравнения Лапласа есть ряд

$$u(r, \theta, \varphi) = \sum_{n=0}^{\infty} \left( A_n r^n + \frac{B_n}{r^{n+1}} \right) Y_n(\theta, \varphi), \quad (2.8)$$

где  $Y_n(\theta, \varphi) = \sum_{m=-n}^n C_{n,m} Y_n^m(\theta, \varphi)$  – линейная комбинация всех  $2n + 1$  сферических функций.

## II.

Найдём решение уравнения Лапласа, которое удовлетворяет на поверхности сферы заданным граничным условиям.

Пусть имеем задачу Дирихле для сферы радиуса  $r = a$ .

1. Если решение ищется в области  $r < a$  (внутренняя задача):

$$\Delta u = 0, \quad r < a, \quad u|_{r=a} = f(\theta, \varphi), \quad (2.9)$$

где  $f(\theta, \varphi)$  – заданная функция на поверхности сферы, то в общем решении уравнения Лапласа (2.8) надо положить  $B_n = 0$ , так как  $\frac{1}{r^{n+1}} \rightarrow \infty$  при  $r \rightarrow 0$ .

2. Если решение ищется в области  $r > a$  (внешняя задача):

$$\Delta u = 0, r > a, u|_{r=a} = f(\theta, \varphi), \quad (2.10)$$

то в общем решении (2.8) надо положить  $A_n = 0$ , так как  $r^n \rightarrow \infty$  при  $r \rightarrow \infty$ .

В случае области  $a < r < b$ , не содержащей ни  $r = 0$ , ни  $r = \infty$ , в решение входят слагаемые с  $r^n$  и  $\frac{1}{r^{n+1}}$ .

Найдём коэффициенты  $A_n, B_n$ , при которых функция  $u(r, \theta, \varphi)$  удовлетворяет граничному условию  $u|_{r=a} = f(\theta, \varphi)$ .

3. Внутренняя задача,  $B_n = 0$ .

Разложим  $f(\theta, \varphi)$  в ряд Фурье по собственным функциям  $Y_n^m(\theta, \varphi)$  и при  $r = a$  получим:

$$\begin{aligned} u(a, \theta, \varphi) &= \sum_{n=0}^{\infty} \sum_{m=-n}^n A_{n,m} a^n Y_n^m(\theta, \varphi) = \sum_{n=0}^{\infty} \sum_{m=-n}^n C_{n,m} Y_n^m(\theta, \varphi) = \\ &= f(\theta, \varphi), \quad A_{n,m} a^n = C_{n,m}, \end{aligned}$$

где 
$$C_{n,m} = \frac{1}{\|Y_n^m\|^2} \int_0^{2\pi} d\varphi \int_0^{\pi} f(\theta, \varphi) Y_n^m(\theta, \varphi) \sin(\theta) d\theta. \quad (2.11)$$

Получили решение внутренней задачи:

$$u(r, \theta, \varphi) = \sum_{n=0}^{\infty} \left(\frac{r}{a}\right)^n \sum_{m=-n}^n C_{n,m} Y_n^m(\theta, \varphi). \quad (2.12)$$

4. Аналогично получим решение для внешней задачи:

$$u(r, \theta, \varphi) = \sum_{n=0}^{\infty} \left[\left(\frac{a}{r}\right)^{n+1} \sum_{m=-n}^n C_{n,m} Y_n^m(\theta, \varphi)\right], \quad (2.13)$$

$$C_{n,m} = \frac{1}{\|Y_n^m\|^2} \int_0^{2\pi} d\varphi \int_0^{\pi} f(\theta, \varphi) Y_n^m(\theta, \varphi) \sin(\theta) d\theta.$$

В частном случае  $f(\theta, \varphi) = f(\theta)$  – не зависит от  $\varphi$ , решение упрощается:

$$u(r, \theta) = \sum_{n=0}^{\infty} A_n \left(\frac{r}{a}\right)^n P_n(\cos\theta) \text{ – для внутренней задачи,} \quad (2.14)$$

$$u(r, \theta) = \sum_{n=0}^{\infty} B_n \left(\frac{a}{r}\right)^{n+1} P_n(\cos\theta) \text{ – для внешней задачи,} \quad (2.15)$$

где 
$$A_n = B_n = \frac{2n+1}{2} \int_0^{\pi} f(\theta) P_n(\cos\theta) \sin\theta d\theta, \quad (2.16)$$

– коэффициенты Фурье функции  $f(\theta)$  по полиномам Лежандра.

**Пример 1.** Найти стационарное распределение температуры в шаре радиуса  $a$ , если на поверхности поддерживается температура  $u(a, \theta) = f(\theta) = 1 + \cos\theta + \cos^2\theta$ .

*Решение.* Имеем внутреннюю задачу Дирихле:

$$\Delta u = 0, \quad r < a, \quad u|_{r=a} = 1 + \cos\theta + \cos^2\theta.$$

Согласно формуле (2.14), решение имеет вид

$$u(r, \theta) = \sum_{n=0}^{\infty} A_n \left(\frac{r}{a}\right)^n P_n \cos\theta.$$

Вычислим коэффициенты  $A_n$  по формуле (2.16):

$$A_0 = \frac{1}{2} \int_0^{\pi} (1 + \cos\theta + \cos^2\theta) \sin\theta d\theta = \frac{5}{3},$$

$$A_1 = \frac{3}{2} \int_0^{\pi} (1 + \cos\theta + \cos^2\theta) \cos\theta \sin\theta d\theta = 1,$$

$$A_2 = \frac{5}{2} \int_0^{\pi} (1 + \cos\theta + \cos^2\theta) \left(\frac{3}{2} \cos^2\theta - \frac{1}{2}\right) \sin\theta d\theta = \frac{2}{3}, \quad A_n = 0 \text{ при } n \geq 3.$$

Получили разложение  $f(\theta)$  в ряд по полиномам Лежандра

$$f(\theta) = 1 + \cos\theta + \cos^2\theta = \frac{5}{3} P_0(\cos\theta) + P_1(\cos\theta) + \frac{2}{3} P_2(\cos\theta).$$

Подставим найденные коэффициенты в формулу (2.14) и получим решение уравнения Лапласа, которое на поверхности шара имеет заданное распределение:



$$u(r, \theta) = \frac{5}{3} + \frac{r}{a} \cos \theta + \frac{2}{3} \frac{r^2}{a^2} \left( \frac{3}{2} \cos^2 \theta - \frac{1}{2} \right).$$

*Замечание.* По виду функции  $f(\theta) = 1 + \cos \theta + \cos^2 \theta$  можно сразу сказать, что решение  $u(r, \theta)$  будет содержать только полиномы  $P_0, P_1$  и  $P_2$ .

**Пример 2.** Задача обтекания шара потоком несжимаемой жидкости.

Пусть безвихревой поток несжимаемой жидкости обтекает шар радиуса  $a$ . Скорость жидкости на бесконечности равна  $v_0$ . Сталкиваясь с шаром, жидкость приобретает дополнительную скорость, потенциал которой обозначим через  $u$  (потенциал Стокса).

Введём сферическую систему координат. Поместим начало в центр шара и направим полярную ось в сторону, противоположную движению жидкости.

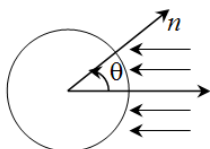


Рис. 33

Тогда для искомого потенциала  $u(r, \theta)$ , для которого нормальная составляющая дополнительной скорости жидкости на поверхности шара равна  $-v_0 \cos \theta$ , имеем *внешнюю задачу*:

$$\Delta u = 0, r > a, \quad \frac{\partial u}{\partial r} \Big|_{r=a} = -v_0 \cos \theta.$$

*Решение.* По формуле (2.15) решение внешней задачи есть

$$u(r, \theta) = \sum_{n=0}^{\infty} B_n \left( \frac{a}{r} \right)^{n+1} P_n(\cos \theta).$$

Коэффициенты  $B_n$  найдём методом неопределённых коэффициентов. Из граничного условия при  $r = a$  следует:

$$-\frac{1}{a} \sum_{n=0}^{\infty} (n+1) B_n P_n(\cos \theta) = -v_0 \cos \theta,$$

откуда  $B_0 = 0, B_1 = -\frac{av_0}{2}, B_2 = B_3 = \dots = 0$ .

Получили искомый потенциал Стокса:

$$u(r, \theta) = \frac{v_0 a^3}{2r^2} \cos \theta.$$

**Задачи 1.** Решить краевую задачу Дирихле для уравнения Лапласа в шаре.

1.  $\Delta u = 0, 0 \leq r < 2, u|_{r=2} = 3 + 2\cos\theta + 6\cos^2\theta.$
2.  $\Delta u = 0, 0 \leq r < 3, u|_{r=3} = 6 - 3\cos\theta - 3\cos^2\theta.$
3.  $\Delta u = 0, 0 \leq r < 1, u|_{r=1} = -3 + 5\cos\theta - 3\cos^2\theta.$
4.  $\Delta u = 0, 0 \leq r < 4, u|_{r=4} = 12 \cos\theta + 6\cos^2\theta.$
5.  $\Delta u = 0, 0 \leq r < 5, u|_{r=5} = -9 + 9\cos^2\theta.$
6.  $\Delta u = 0, 0 \leq r < 4, u|_{r=4} = -2 + 8\cos\theta + 3\cos^2\theta.$
7.  $\Delta u = 0, 0 \leq r < 3, u|_{r=3} = 3 + 12\cos\theta - 9\cos^2\theta.$
8.  $\Delta u = 0, 0 \leq r < 2, u|_{r=2} = -6\cos\theta + 9\cos^2\theta.$
9.  $\Delta u = 0, 0 \leq r < 5, u|_{r=5} = 6 + 5\cos\theta - 6\cos^2\theta.$
10.  $\Delta u = 0, 0 \leq r < 1, u|_{r=1} = -3 - 2\cos\theta + 3\cos^2\theta.$

*Ответы.*

- 1)  $u(r, \theta) = 7 + r \cos\theta + 4 \frac{r^2}{4} \left( \frac{3}{2} \cos^2\theta - \frac{1}{2} \right).$  2)  $u(r, \theta) = 4 - r \cos\theta -$   
 $-2 \frac{r^2}{9} \left( \frac{3}{2} \cos^2\theta - \frac{1}{2} \right).$  3)  $u(r, \theta) = -5 + 5r \cos\theta - 2r^2 \left( \frac{3}{2} \cos^2\theta - \frac{1}{2} \right).$
- 4)  $u(r, \theta) = 4 + 3r \cos\theta + 4 \frac{r^2}{16} \left( \frac{3}{2} \cos^2\theta - \frac{1}{2} \right).$  5)  $u(r, \theta) = -3 + 6 \frac{r^2}{25} \times$   
 $\times \left( \frac{3}{2} \cos^2\theta - \frac{1}{2} \right).$  6)  $u(r, \theta) = 2r \cos\theta + 2 \frac{r^2}{16} \left( \frac{3}{2} \cos^2\theta - \frac{1}{2} \right).$
- 7)  $u(r, \theta) = -3 + 4r \cos\theta - 6 \frac{r^2}{9} \left( \frac{3}{2} \cos^2\theta - \frac{1}{2} \right).$  8)  $u(r, \theta) = 6 - 3r \cos\theta +$   
 $+ 6 \frac{r^2}{4} \left( \frac{3}{2} \cos^2\theta - \frac{1}{2} \right).$  9)  $u(r, \theta) = 2 - r \cos\theta - 4 \frac{r^2}{25} \left( \frac{3}{2} \cos^2\theta - \frac{1}{2} \right).$
- 10)  $u(r, \theta) = -1 - 2r \cos\theta + 2 r^2 \left( \frac{3}{2} \cos^2\theta - \frac{1}{2} \right).$

### Задачи 2.

1. Горец полубесконечного цилиндра ( $0 \leq r \leq a$ ,  $0 \leq z < \infty$ ) поддерживается при постоянной температуре  $T_0$ , а боковая поверхность находится при температуре, равной нулю. Получить стационарное распределение температуры в цилиндре.

$$\text{Ответ. } T(r, z) = 2T_0 \sum_{n=1}^{\infty} \frac{J_0\left(\lambda_n \frac{r}{a}\right)}{\lambda_n J_1(\lambda_n)} e^{-\frac{\lambda_n}{a} z},$$

где  $\lambda_n$  – последовательные положительные корни уравнения  $J_0(x) = 0$ .

2. Найти стационарное распределение температуры в цилиндре радиуса  $a$  и длины  $\ell$ , торцы которого поддерживаются при нулевой температуре, а температура боковой поверхности равна  $T_0$ .

$$\text{Ответ. } T(r, z) = \frac{4T_0}{\pi} \sum_{n=0}^{\infty} \frac{I_0\left(\frac{2n+1}{\ell} r\pi\right)}{I_1\left(\frac{2n+1}{\ell} a\pi\right)} \cdot \frac{\sin \frac{2n+1}{\ell} z\pi}{2n+1}.$$

3. Шар радиуса  $a$  нагревается плоскопараллельным потоком плотности  $q$ , падающим на его поверхность, и отдаёт тепло в окружающую среду в соответствии с законом Ньютона. Найти стационарное распределение температуры в шаре.

У к а з а н и е. Граничное условие в рассматриваемой задаче имеет вид

$$\frac{\partial T}{\partial r} + hT \Big|_{r=a} = \begin{cases} \frac{q}{k} \cos \theta, & 0 \leq \theta \leq \frac{\pi}{2} \\ 0, & \frac{\pi}{2} \leq \theta \leq \pi \end{cases}.$$

Ответ.

$$T(r, \theta) = \frac{qa}{2k} \left[ \frac{1}{2ah} + \frac{r}{a} \cdot \frac{\cos \theta}{1+ah} - \sum_{n=1}^{\infty} \frac{(4n+1)P_{2n}(0)}{(2n+ah)(2n-1)(2n+2)} \left(\frac{r}{a}\right)^n P_{2n}(\cos \theta) \right].$$

### § 3. Уравнение Гельмгольца в шаре

Уравнения гиперболического и параболического типов переходят в эллиптический тип, если процесс установился.

Широкий класс вопросов связан с установившимися колебаниями (механическими, акустическим, электромагнитными и т.д.).

Если волновое движение имеет гармоническую зависимость от времени, которую удобно описывать с помощью комплексных функций вида

$$U(x, y, z, t) = u(x, y, z) e^{-i\omega t}, \quad (3.1)$$

или 
$$U(x, y, z, t) = u(x, y, z) e^{i\omega t}, \quad (3.2)$$

то волновое уравнение

$$\frac{\partial^2 U}{\partial t^2} = a^2 \Delta U$$

для функции  $U$  переходит в уравнение Гельмгольца для функции  $u$  только для пространственных координат:

$$\Delta u + k^2 u = 0, \quad (3.3)$$

где  $k = \frac{\omega}{a}$  – волновое число;  $a$  – параметр, характеризующий свойства физической системы.

Функция  $u$  определяет в каждой точке пространства поле амплитуд процессов, происходящих во всех точках по одному и тому же гармоническому закону (3.1) или (3.2).

### I.

Рассмотрим задачу на собственные значения и собственные функции уравнения

$$\Delta u + \lambda u = 0, \quad \lambda - \text{параметр}, \quad (3.4)$$

с однородным граничным условием на поверхности сферы радиуса  $a$ :

$$u|_{r=a} = 0. \quad (3.5)$$

Эта задача о собственных колебаниях сферы с нулевыми граничными условиями первого рода. Поместим начало сферической системы координат в центр сферы. Тогда уравнение (3.4) для функции  $u(r, \theta, \varphi)$  в сферической системе примет вид

$$\frac{1}{r^2} \frac{\partial}{\partial r} \left( r^2 \frac{\partial u}{\partial r} \right) + \frac{1}{r^2 \sin \theta} \frac{\partial}{\partial \theta} \left( \sin \theta \frac{\partial u}{\partial \theta} \right) + \frac{1}{r^2 \sin^2 \theta} \frac{\partial^2 u}{\partial \varphi^2} + \lambda u = 0. \quad (3.6)$$

Решение будем искать методом разделения переменных.

Положим  $u(r, \theta, \varphi) = R(r) Y(\theta, \varphi)$ .

Для определения  $R(r)$  получаем уравнение

$$\frac{1}{r^2} \frac{d}{dr} \left( r^2 \frac{dR}{dr} \right) + \left( \lambda - \frac{\mu}{r^2} \right) R = 0, \quad \mu - \text{константа разделения}, \quad (3.7)$$

а для определения  $Y(\theta, \varphi)$  – уравнение

$$\Delta_{\theta, \varphi} Y + \lambda Y = \frac{1}{\sin \theta} \frac{\partial}{\partial \theta} \left( \sin \theta \frac{\partial Y}{\partial \theta} \right) + \frac{1}{\sin^2 \theta} \frac{\partial^2 Y}{\partial \varphi^2} + \mu Y = 0 \quad (3.8)$$

с условиями периодичности

$$Y(\theta, \varphi + 2\pi) = Y(\theta, \varphi) \quad (3.9)$$

и ограниченности в полюсах сферы

$$|Y(0, \varphi)| < \infty, \quad |Y(\pi, \varphi)| < \infty. \quad (3.10)$$

Частными решениями уравнения (3.8), которые удовлетворяют условиям (3.9) и (3.10) при  $\mu = n(n+1)$  являются  $2n+1$  сферических функций  $Y(\theta, \varphi) = Y_n^m(\theta, \varphi)$ ,  $m = 0, \pm 1, \pm 2, \dots, \pm n$ .

Функция  $R(r)$  должна удовлетворять уравнению

$$\frac{1}{r^2} \frac{d}{dr} \left( r^2 \frac{dR}{dr} \right) + \left[ \lambda - \frac{n(n+1)}{r^2} \right] R = 0 \quad (3.11)$$

и граничным условиям

$$R(a) = 0, \quad (3.12)$$

$$|R(0)| < \infty. \quad (3.13)$$

Условие (3.12) следует из однородного граничного условия (3.5), а условие (3.13) является естественным условием ограниченности в нуле для внутренней задачи.

Задача (3.11)–(3.13) есть задача на собственные значения и собственные функции.

С помощью подстановки  $R(r) = \frac{y(r)}{\sqrt{r}}$  уравнение (3.11) приводится к модифицированному уравнению Бесселя индекса  $\left(n + \frac{1}{2}\right)$ ,

и параметра  $k^2 = \lambda$ :

$$y'' + \frac{1}{r} y' + \left[ \lambda - \frac{\left(n + \frac{1}{2}\right)^2}{r^2} \right] y = 0. \quad (3.14)$$

Общее решение уравнения (3.14) есть

$$y(r) = C_1 J_{n+1/2}(\sqrt{\lambda} r) + C_2 Y_{n+1/2}(\sqrt{\lambda} r).$$

Условие (3.13) ограниченности решения даёт

$$C_2 = 0, \quad y(r) = C_1 J_{n+1/2}(\sqrt{\lambda} r),$$

тогда 
$$R(r) = C_1 \frac{J_{n+1/2}(\sqrt{\lambda}r)}{\sqrt{r}}. \quad (3.15)$$

Условие (3.12) приводит при  $C_1 \neq 0$  к уравнению

$$J_{n+1/2}(\sqrt{\lambda}a) = 0. \quad (3.16)$$

Пусть  $v_j^n$  – положительные корни уравнения  $J_{n+1/2}(v) = 0$ ,  $j = 1, 2, \dots$  – номер корня.

Условие (3.16) определяет допустимые значения параметра  $\lambda$ :  $\sqrt{\lambda}a = v_j^n$ . Тогда

$$\lambda_{n,j} = \left( \frac{v_j^n}{a} \right)^2, \quad j = 1, 2, \dots \quad (3.17)$$

собственные значения задачи (3.11)–(3.13),  $\lambda_{n,j}$  – положительные числа.

Собственные функции этой задачи:

$$u_{n,j,m}(r, \theta, \varphi) = \frac{J_{n+1/2}\left(\frac{v_j^n}{a}r\right)}{\sqrt{r}} Y_n^m(\theta, \varphi), \quad (3.18)$$

$n = 0, 1, 2, \dots, j = 1, 2, \dots, m = 0, \pm 1, \pm 2, \dots \pm n$ .

Если воспользоваться сферическими функциями Бесселя при полуцелом индексе  $\left(n + \frac{1}{2}\right)$

$$j_n(x) = \sqrt{\frac{\pi}{2x}} J_{n+\frac{1}{2}}(x),$$

то собственные функции (3.18) можно представить в виде

$$u_{n,j,m}(r, \theta, \varphi) = j_n\left(\frac{v_j^n}{a}r\right) Y_n^m(\theta, \varphi). \quad (3.19)$$

*Замечание.* Если однородная задача  $\Delta u + k^2 u = 0$ ,  $u|_{r=a} = 0$  имеет нетривиальное решение, то неоднородная задача  $\Delta u + k^2 u = 0$ ,  $u|_{r=a} = f(\theta, \varphi)$  неразрешима.

Если однородная задача при данном значении  $k^2$  не имеет решений, отличных от тривиального решения  $u = 0$ , то неоднородная задача имеет единственное решение.

### Тестовая задача.

Методом разделения переменных решается задача на собственные значения в шаре. Радиальная зависимость собственных функций выражается с помощью функций:

Варианты ответов:

$$1) \frac{J_n(\sqrt{\lambda}r)}{r^2} . 2) \frac{N_n(\sqrt{\lambda}r)}{\sqrt{r}} . 3) \frac{J_{n+\frac{1}{2}}(\sqrt{\lambda}r)}{\sqrt{r}} . 4) \frac{J_n(\sqrt{\lambda}r)}{\sqrt{r}} .$$

Ответ. Вариант 3).

## II.

Рассмотрим первую внутреннюю краевую задачу для уравнения Гельмгольца в шаре

$$\Delta u + k^2 u = 0, 0 \leq r \leq a \quad (3.20)$$

при неоднородном граничном условии

$$u|_{r=a} = f(\theta, \varphi). \quad (3.21)$$

Ищем решения в виде  $u(r, \theta, \varphi) = R(r) Y(\theta, \varphi)$ .

Частные решения уравнения (3.20):

$$u_{n,m}(r, \theta, \varphi) = \frac{J_{n+\frac{1}{2}}(kr)}{\sqrt{r}} Y_n^m(\theta, \varphi),$$

где  $k^2 \neq \lambda_{n,j} = \left(\frac{\nu_j^n}{a}\right)^2$ , так как  $u|_{r=a} \neq 0$ .

Общее решение уравнения (3.20) есть суперпозиция частных решений

$$u(r, \theta, \varphi) = \sum_{n=0}^{\infty} \sum_{m=-n}^n B_{n,m} \frac{J_{n+1/2}(kr)}{\sqrt{r}} Y_n^m(\theta, \varphi).$$

Найдём коэффициенты  $B_{n,m}$ , при которых функция  $u(r, \theta, \varphi)$  удовлетворяет граничному условию (3.21):

$$\begin{aligned} u(a, \theta, \varphi) &= \sum_{n=0}^{\infty} \sum_{m=-n}^n B_{n,m} \frac{J_{n+1/2}(ka)}{\sqrt{a}} Y_n^m(\theta, \varphi) = \\ &= \sum_{n=0}^{\infty} \sum_{m=-n}^n A_{n,m} J_{n+\frac{1}{2}}(ka) Y_n^m(\theta, \varphi) = f(\theta, \varphi), A_{n,m} = B_{n,m} / \sqrt{a}. \end{aligned}$$

Чтобы найти коэффициенты  $A_{n,m}$ , разложим  $f(\theta, \varphi)$  в ряд Фурье по собственным функциям  $Y_n^m(\theta, \varphi)$  и получим

$$f(\theta, \varphi) = \sum_{n=0}^{\infty} \sum_{m=-n}^n C_{n,m} Y_n^m(\theta, \varphi);$$

$$C_{n,m} = \frac{1}{\|Y_n^m\|^2} \int_0^{2\pi} d\varphi \int_0^{\pi} f(\theta, \varphi) Y_n^m(\theta, \varphi) \sin(\theta) d\theta;$$

$$A_{n,m} J_{n+\frac{1}{2}}(ka) = C_{n,m}, \quad A_{n,m} = \frac{C_{n,m}}{J_{n+\frac{1}{2}}(ka)}.$$

Получили решение задачи (3.20)–(3.21) в виде

$$u(r, \theta, \varphi) = \sum_{n=0}^{\infty} \sum_{m=-n}^n C_{n,m} \frac{J_{n+\frac{1}{2}}(kr)}{\sqrt{r} J_{n+\frac{1}{2}}(ka)} Y_n^m(\theta, \varphi) \quad (3.22)$$

или, используя сферические функции Бесселя,

$$u(r, \theta, \varphi) = \sum_{n=0}^{\infty} \sum_{m=-n}^n C_{n,m} \frac{j_n(kr)}{j_n(ka)} Y_n^m(\theta, \varphi). \quad (3.23)$$

### III.

Рассмотрим частный случай задачи (3.20)–(3.21), когда граничное условие на поверхности шара не зависит от  $\varphi$ , то есть  $f(\theta, \varphi) = f(\theta)$ . Тогда функция  $u = u(r, \theta)$  также не зависит от  $\varphi$ . В этом случае имеем задачу

$$\Delta u + k^2 u = 0, \quad 0 \leq r \leq a,$$

$$u|_{r=a} = f(\theta). \quad (3.24)$$

Ищем решение в виде

$$u(r, \theta) = R(r) Y(\theta).$$

Подставляя функцию  $u(r, \theta)$  в уравнение  $\Delta u + k^2 u = 0$  и разделяя переменные, получим

$$\frac{r^2 R'' + 2rR' + k^2 r^2 R}{R} = \frac{Y'' + \text{ctg}(\theta)Y'}{Y} = \lambda = \text{const}.$$

Функции  $R(r)$  и  $Y(\theta)$  являются решениями связанных задач:

$$Y'' + \text{ctg} \theta Y' + \lambda Y = 0, \quad |Y(0)| < \infty, \quad |Y(\pi)| < \infty, \quad (3.25)$$

$$r^2 R'' + 2rR' + (k^2 r^2 - \lambda)R = 0, \quad |R(0)| < \infty. \quad (3.26)$$



Решениями задачи (3.25) являются полиномы Лежандра  $Y_n = P_n(\cos \theta)$  при  $\lambda = n(n+1)$ .

Общее решение уравнения (3.26) есть

$$R_n(r) = A_n \frac{J_{n+1/2}(kr)}{\sqrt{r}} + B_n \frac{Y_{n+1/2}(kr)}{\sqrt{r}}.$$

Для внутренней задачи  $B_n = 0$  в силу условия  $|R(0)| < \infty$ .

Итак, частные решения задачи имеют вид

$$u_n(r, \theta) = \frac{J_{n+1/2}(kr)}{\sqrt{r}} P_n(\cos \theta).$$

Получили общее решение задачи

$$u(r, \theta) = \sum_{n=0}^{\infty} A_n u_n = \sum_{n=0}^{\infty} A_n \frac{J_{n+1/2}(kr)}{\sqrt{r}} P_n(\cos \theta).$$

Разложим функцию  $f(\theta)$  по полиномам Лежандра и найдём коэффициенты  $A_n$ , при которых  $u(r, \theta)$  удовлетворяет граничному условию (3.24)

$$u(a, \theta) = \sum_{n=0}^{\infty} A_n \frac{J_{n+1/2}(ka)}{\sqrt{a}} P_n(\cos \theta) = f(\theta) = \sum_{n=0}^{\infty} C_n P_n(\cos \theta),$$

$$A_n \frac{J_{n+1/2}(ka)}{\sqrt{a}} = C_n, A_n = \frac{\sqrt{a}}{J_{n+1/2}(ka)} C_n,$$

$$C_n = \frac{2n+1}{2} \int_0^{\pi} f(\theta) P_n(\cos \theta) \sin \theta d\theta. \quad (3.27)$$

Подставим эти коэффициенты в общее решение и получим решение исходной задачи:

$$u(r, \theta) = \sum_{n=0}^{\infty} C_n \sqrt{\frac{a}{r}} \cdot \frac{J_{n+1/2}(kr)}{J_{n+1/2}(ka)} P_n(\cos \theta). \quad (3.28)$$

**Пример 1.** Найти решение внутренней задачи для уравнения Гельмгольца в шаре

$$\Delta u + k^2 u = 0, 0 \leq r \leq a; u|_{r=a} = f(\theta) = b + c \cos \theta + d \cos^2 \theta.$$

*Решение.* По формуле (3.27) найдём коэффициенты Фурье для функции  $f(\theta)$ :

$$C_0 = \frac{1}{2} \int_0^\pi (b + c \cos \theta + d \cos^2 \theta) \sin \theta d\theta = b + \frac{2d}{3},$$

$$C_1 = \frac{3}{2} \int_0^\pi (b + c \cos \theta + d \cos^2 \theta) \cos \theta \sin \theta d\theta = c,$$

$$C_2 = \frac{5}{2} \int_0^\pi (b + c \cos \theta + d \cos^2 \theta) \left( \frac{3}{2} \cos^2 \theta - \frac{1}{2} \right) \sin \theta d\theta = \frac{2d}{3}; C_n = 0, n \geq 3.$$

Тогда разложение  $f(\theta)$  в ряд по полиномам Лежандра есть

$$f(\theta) = b + c \cos \theta + d \cos^2 \theta = \left( b + \frac{2d}{3} \right) P_0 + c P_1 + \frac{2d}{3} P_2.$$

$$\text{Отсюда } A_0 = \left( b + \frac{2d}{3} \right) \frac{\sqrt{a}}{J_{1/2}(ka)}, A_1 = c \frac{\sqrt{a}}{J_{3/2}(ka)},$$

$$A_2 = \frac{2d}{3} \frac{\sqrt{a}}{J_{5/2}(ka)}, A_n = 0, n \geq 3.$$

Получили по формуле (3.28) решение данной задачи

$$u(r, \theta) = \left( b + \frac{2d}{3} \right) \sqrt{\frac{a}{r}} \frac{J_{1/2}(kr)}{J_{1/2}(ka)} + c \sqrt{\frac{a}{r}} \frac{J_{3/2}(kr)}{J_{3/2}(ka)} \cos \theta + \\ + \frac{2d}{3} \sqrt{\frac{a}{r}} \frac{J_{5/2}(kr)}{J_{5/2}(ka)} \left( \frac{3}{2} \cos^2 \theta - \frac{1}{2} \right).$$

**Пример 2.** Найти решение внутренней задачи для уравнения Гельмгольца в шаре

$$\Delta u + 2u = 0, 0 \leq r \leq a,$$

$$u|_{r=a} = f(\theta) = 3 \cos^2 \theta.$$

*Решение.* Найдём коэффициенты  $C_n$  по формуле (3.27):

$$C_0 = 1, C_1 = 0, C_2 = 2, C_n = 0, n \geq 3.$$

Разложение  $f(\theta) = 3 \cos^2 \theta$  в ряд Фурье имеет вид:

$$3 \cos^2 \theta = P_0(\cos \theta) + 2P_2(\cos \theta);$$

$$A_0 = \frac{1}{J_{1/2}(\sqrt{2})}, A_1 = 0, A_2 = \frac{2}{J_{5/2}(\sqrt{2})}, A_n = 0, n \geq 3.$$

Тогда решение данной задачи:

$$u(r, \theta) = \frac{J_{1/2}(\sqrt{2}r)}{\sqrt{r}J_{1/2}(\sqrt{2})} + 2 \frac{J_{5/2}(\sqrt{2}r)}{\sqrt{r}J_{5/2}(\sqrt{2})} \left( \frac{3}{2} \cos^2 \theta - \frac{1}{2} \right).$$

**Задачи.** Решить внутреннюю краевую задачу для уравнения Гельмгольца в шаре.

1.  $\Delta u + 2u = 0, 0 \leq r < 2, u|_{r=2} = 3 + 2\cos \theta + 6\cos^2 \theta.$
2.  $\Delta u + 2u = 0, 0 \leq r < 3, u|_{r=3} = 6 - 3\cos \theta - 3\cos^2 \theta.$
3.  $\Delta u + 3u = 0, 0 \leq r < 1, u|_{r=1} = -3 + 5\cos \theta - 3\cos^2 \theta.$
4.  $\Delta u + 4u = 0, 0 \leq r < 4, u|_{r=4} = 12 \cos \theta + 6\cos^2 \theta.$
5.  $\Delta u + 5u = 0, 0 \leq r < 5, u|_{r=5} = -9 + 9\cos^2 \theta.$
6.  $\Delta u + 6u = 0, 0 \leq r < 4, u|_{r=4} = -2 + 8\cos \theta + 3\cos^2 \theta.$
7.  $\Delta u + 7u = 0, 0 \leq r < 3, u|_{r=3} = 3 + 12\cos \theta - 9\cos^2 \theta.$
8.  $\Delta u + 8u = 0, 0 \leq r < 2, u|_{r=2} = -6\cos \theta + 9\cos^2 \theta.$
9.  $\Delta u + 9u = 0, 0 \leq r < 5, u|_{r=5} = 6 + 5\cos \theta - 6\cos^2 \theta.$
10.  $\Delta u + 9u = 0, 0 \leq r < 1, u|_{r=1} = -3 - 2\cos \theta + 3\cos^2 \theta.$

Ответы.

$$1. u(r, \theta) = 7 \sqrt{\frac{2}{r}} \frac{J_{1/2}(\sqrt{2}r)}{J_{1/2}(2\sqrt{2})} + 2 \sqrt{\frac{2}{r}} \frac{J_{3/2}(\sqrt{2}r)}{J_{3/2}(2\sqrt{2})} \cos \theta + \\ + \sqrt{\frac{2}{r}} \frac{J_{5/2}(\sqrt{2}r)}{J_{5/2}(2\sqrt{2})} (6\cos^2 \theta - 2).$$

$$2. u(r, \theta) = 4 \sqrt{\frac{3}{r}} \frac{J_{1/2}(\sqrt{2}r)}{J_{1/2}(3\sqrt{2})} - 3 \sqrt{\frac{2}{r}} \frac{J_{3/2}(\sqrt{2}r)}{J_{3/2}(3\sqrt{2})} \cos \theta - \\ - \sqrt{\frac{3}{r}} \frac{J_{5/2}(\sqrt{2}r)}{J_{5/2}(2\sqrt{2})} (3\cos^2 \theta - 1).$$

$$3. u(r, \theta) = -5 \sqrt{\frac{1}{r}} \frac{J_{1/2}(\sqrt{3}r)}{J_{1/2}(\sqrt{3})} + 5 \sqrt{\frac{1}{r}} \frac{J_{3/2}(\sqrt{3}r)}{J_{3/2}(\sqrt{3})} \cos \theta - \\ - \sqrt{\frac{1}{r}} \frac{J_{5/2}(\sqrt{3}r)}{J_{5/2}(\sqrt{3})} (3\cos^2 \theta - 1).$$

$$4. u(r, \theta) = \frac{8}{\sqrt{r}} \frac{J_{1/2}(2r)}{J_{1/2}(8)} + \frac{24}{\sqrt{r}} \frac{J_{3/2}(2r)}{J_{3/2}(8)} \cos \theta + \frac{2}{\sqrt{r}} \frac{J_{5/2}(2r)}{J_{5/2}(8)} (6\cos^2 \theta - 2).$$

5.  $u(r, \theta) = -3 \sqrt{\frac{5}{r}} \frac{J_{1/2}(\sqrt{5}r)}{J_{1/2}(5\sqrt{5})} + \sqrt{\frac{5}{r}} \frac{J_{5/2}(\sqrt{5}r)}{J_{5/2}(5\sqrt{5})} (9\cos^2\theta - 3).$
6.  $u(r, \theta) = \frac{16}{\sqrt{r}} \frac{J_{3/2}(\sqrt{6}r)}{J_{3/2}(4\sqrt{6})} \cos\theta + \frac{2}{\sqrt{r}} \frac{J_{5/2}(\sqrt{6}r)}{J_{5/2}(4\sqrt{6})} (3\cos^2\theta - 1).$
7.  $u(r, \theta) = -3 \sqrt{\frac{3}{r}} \frac{J_{1/2}(\sqrt{8}r)}{J_{1/2}(3\sqrt{8})} + 12 \sqrt{\frac{3}{r}} \frac{J_{3/2}(\sqrt{7}r)}{J_{3/2}(3\sqrt{7})} \cos\theta -$   
 $-\sqrt{\frac{3}{r}} \frac{J_{5/2}(\sqrt{7}r)}{J_{5/2}(3\sqrt{7})} (9\cos^2\theta - 3).$
8.  $u(r, \theta) = 6 \sqrt{\frac{2}{r}} \frac{J_{1/2}(\sqrt{2}r)}{J_{1/2}(2\sqrt{2})} - 6 \sqrt{\frac{2}{r}} \frac{J_{3/2}(\sqrt{8}r)}{J_{3/2}(2\sqrt{8})} \cos\theta +$   
 $+ \sqrt{\frac{2}{r}} \frac{J_{5/2}(\sqrt{8}r)}{J_{5/2}(2\sqrt{8})} (9\cos^2\theta - 3).$
9.  $u(r, \theta) = 2 \sqrt{\frac{5}{r}} \frac{J_{1/2}(3r)}{J_{1/2}(15)} - 5 \sqrt{\frac{5}{r}} \frac{J_{3/2}(3r)}{J_{3/2}(15)} \cos\theta -$   
 $-\sqrt{\frac{5}{r}} \frac{J_{5/2}(3r)}{J_{5/2}(15)} (6\cos^2\theta - 2).$
10.  $u(r, \theta) = -1 \frac{1}{\sqrt{r}} \frac{J_{1/2}(3r)}{J_{1/2}(3)} - 2 \frac{1}{\sqrt{r}} \frac{J_{3/2}(3r)}{J_{3/2}(3)} \cos\theta +$   
 $+ \frac{1}{\sqrt{r}} \frac{J_{5/2}(3r)}{J_{5/2}(3)} (3\cos^2\theta - 1).$

**Тестовые задачи.**

1. Найти ограниченное решение задачи

$$\begin{cases} \Delta u - 16u = 0, & \rho > 8, \quad \varphi \in [0, 2\pi]; \\ u(8, \varphi) = 1, & 0 \leq \varphi < 2\pi; \\ |u(\rho, \varphi)| < \infty, & \rho \rightarrow \infty, \end{cases}$$

для уравнения Гельмгольца вне круга радиуса  $\rho = 8$ .

*Варианты ответов:*

$$1) u(\rho) = \frac{K_4(4\rho)}{K_4(32)}; \quad 2) u(\rho) = \frac{K_0(4\rho)}{K_0(32)}; \quad 3) u(\rho) = \frac{I_4(4\rho)}{I_4(32)};$$

$$4) u(\rho) = \frac{J_4(8\rho)}{J_4(64)} \sin 4\varphi.$$

*Ответ.* Вариант 2).

2. Найти ограниченное решение задачи

$$\begin{cases} \Delta u + 25u = 0, & 0 < r < 8, \quad 0 < \theta < \pi, \varphi \in [0, 2\pi], \\ |u|_{r=0} < \infty, \\ u(8, \theta, \varphi) = 4 \sin \theta \sin \varphi, \end{cases}$$

для уравнения Гельмгольца в шаре радиуса  $r = 8$ .

*Варианты ответов:*

$$1) u(r, \theta, \varphi) = 4 \frac{\sqrt{8} J_{3/2}(5r)}{\sqrt{r} J_{3/2}(40)} \cos \theta \sin \varphi;$$

$$2) u(r, \theta, \varphi) = 4 \frac{\sqrt{8} H_{3/2}^{(1)}(9r)}{\sqrt{r} H_{3/2}^{(1)}(54)} \cos \theta \sin \varphi;$$

$$3) u(r, \theta, \varphi) = 4 \frac{J_{3/2}(5r)}{J_{3/2}(40)} \cos \theta \sin \varphi;$$

$$4) u(r, \theta, \varphi) = 4 \frac{\sqrt{8} I_{3/2}(5r)}{\sqrt{r} I_{3/2}(40)} \cos \theta \sin \varphi.$$

*Ответ.* Вариант 1).

## § 4. Некоторые задачи дифракции и рассеяния

### I.

Рассмотрим задачу о дифракции плоской электромагнитной волны, падающей на бесконечно длинный проводящий цилиндр радиуса  $a$ .

Напомним, что плоской волной, распространяющейся в заданном направлении, называется решение волнового уравнения

$$\Delta U - \frac{1}{a^2} U_{tt} = 0,$$

зависящее от времени  $t$  и одной пространственной координаты,

отсчитываемой в направлении распространения.

Пусть имеем установившиеся гармонические колебания, тогда зависимость от времени характеризуется множителем  $e^{i\omega t}$ , где  $\omega$  – частота колебаний (зависимость от времени можно выбрать в виде  $e^{-i\omega t}$ ). Вектор электрического поля в падающей волне и в отражённой волне параллелен оси цилиндра.

Введём систему цилиндрических координат  $(\rho, \varphi, z)$  так, чтобы ось  $z$  совпадала с осью цилиндра, отсчёт угла  $\varphi$  ведётся по направлению, вдоль которого распространяется волна. Тогда плоская волна, распространяющаяся в направлении  $x$ , есть  $u_0 e^{-ikx} = u_0 e^{-ik\rho\cos\varphi}$ .

Здесь  $k = \frac{\omega}{c} = \frac{2\pi}{\lambda}$  – волновое число,  $c$  – скорость волны,  $u_0$  –

амплитуда падающей плоской волны.

Рассматриваемая задача приводит к определению комплексной амплитуды  $u(\rho, \varphi)$  дифрагированного поля, удовлетворяющей

1) уравнению Гельмгольца:

$$\Delta u + k^2 u = 0, \rho \geq a, \quad (4.1)$$

которое в цилиндрических координатах примет вид

$$\frac{1}{\rho} \frac{\partial}{\partial \rho} \left( \rho \frac{\partial u}{\partial \rho} \right) + \frac{1}{\rho^2} \frac{\partial^2 u}{\partial \varphi^2} + k^2 u = 0; \quad (4.2)$$

2) граничному условию (условию сопряжения):

$$u|_{\rho=a} = -u_0 e^{-ik a \cos\varphi}, \quad (4.3)$$

которое означает, что на границе падающая и рассеянная волны должны совпадать;

3) условию излучения (Зоммерфельда):

$$\frac{\partial u}{\partial \rho} + iku = o\left(\frac{1}{\rho}\right), u = O\left(\frac{1}{\rho}\right), \text{ при } \rho \rightarrow \infty. \quad (4.4)$$

Условие излучения исключает из рассмотрения волны, сходящиеся из бесконечности к данному телу.

*Замечание.* Если выбрать гармоническую зависимость от времени в виде экспоненты с отрицательным показателем  $e^{-i\omega t}$ , то условие излучения надо взять в виде

$$\frac{\partial u}{\partial \rho} - iku = o\left(\frac{1}{\rho}\right), u = O\left(\frac{1}{\rho}\right), \text{ при } \rho \rightarrow \infty.$$

Применяя метод разделения переменных, находим частные, периодические относительно  $\varphi$ , решения уравнения Гельмгольца:

$$u_n(\rho, \varphi) = [A_n H_n^{(1)}(k\rho) + B_n H_n^{(2)}(k\rho)](M_n \cos n\varphi + N_n \sin n\varphi), \\ n = 0, 1, 2, \dots, \quad (4.5)$$

где  $H_n^{(1),(2)}(k\rho)$  – функции Ханкеля первого и второго рода.

Из условия симметрии задачи следует, что  $u$  – чётная функция от  $\varphi$ , поэтому достаточно ограничиться решениями, содержащими  $\cos n\varphi$ , то есть в (4.5) положим  $N_n = 0$ .

Чтобы удовлетворить условию излучения, выделяющему волны, расходящиеся на бесконечности, надо положить  $A_n = 0$ , так как функции Ханкеля первого и второго рода имеют разное поведение на бесконечности:

$$H_\nu^{(1)}(x) \rightarrow \frac{1}{\sqrt{x}} e^{ix}, \quad H_\nu^{(2)}(x) \rightarrow \frac{1}{\sqrt{x}} e^{-ix}.$$

*Замечание.* Если выбрана зависимость от времени  $e^{-i\omega t}$ , то  $B_n = 0$ .

Таким образом, решение следует искать в виде

$$u(\rho, \varphi) = \sum_{n=1}^{\infty} u_n(\rho, \varphi) = \sum_{n=0}^{\infty} A_n H_n^{(2)}(k\rho) \cos n\varphi. \quad (4.6)$$

Найдём коэффициенты  $A_n$ , при которых будут выполнены граничные условия (4.3)

$$\sum_{n=0}^{\infty} A_n H_n^{(2)}(ka) \cos n\varphi + u_0 e^{-i k a \cos \varphi} = 0.$$

Подставим в это равенство разложение плоской волны в точке  $\rho = a$ :

$$e^{-i k a \cos \varphi} = J_0(ka) + 2 \sum_{n=1}^{\infty} (-i)^n J_n(ka) \cos n\varphi, \quad (4.7)$$

и, приравняв коэффициенты при  $\cos n\varphi$ ,  $n = 0, 1, \dots$ , получим:

$$A_0 H_0^{(2)}(ka) = -u_0 J_0(ka), \quad A_n H_n^{(2)}(ka) = -2u_0 (-i)^n J_n(ka).$$

$$A_0 = -u_0 \frac{J_0(ka)}{H_0^{(2)}(ka)}, A_n = -2u_0 \frac{(-i)^n J_n(ka)}{H_n^{(2)}(ka)}, n = 1, 2, \dots \quad (4.8)$$

Тогда искомое решение даётся формулой

$$u(\rho, \varphi) = A_0 H_0^{(2)}(k\rho) + \sum_{n=1}^{\infty} A_n H_n^{(2)}(k\rho) \cos n\varphi = \\ = -u_0 \left[ \frac{J_0(ka)}{H_0^{(2)}(ka)} H_0^{(2)}(k\rho) + 2 \sum_{n=1}^{\infty} (-i)^n \frac{J_n(ka)}{H_n^{(2)}(ka)} H_n^{(2)}(k\rho) \cos n\varphi \right]. \quad (4.9)$$

*Замечание.* Действительное поле есть сумма дифрагированного поля (4.9) и падающей волны.

### **Тестовая задача**

Решением уравнения  $\Delta u + 25u = 0$  в полярных координатах, удовлетворяющим условиям излучения Зоммерфельда

$$\lim_{\rho \rightarrow \infty} \sqrt{\rho} \left( \frac{\partial u}{\partial \rho} - i5u \right) = 0 \text{ на бесконечности, является функция:}$$

*Варианты ответов:*

- 1)  $u = I_0(5\rho) \sin 2\varphi$ ; 2)  $u = 5\rho^5 \cos 5\varphi$ ;  
3)  $u = H_2^{(1)}(5\rho) \cos 2\varphi$ ; 4)  $u = H_4^{(2)}(5\rho) \cos 2\varphi$ .

*Ответ.* Вариант 3).

## **II.**

Аналогично решается следующая задача акустики.

Плоская звуковая волна  $v$  распространяется в направлении, перпендикулярном к оси бесконечного кругового цилиндра радиуса  $a$ . Найти рассеянную волну.

$$\text{Пусть } v = u_0 e^{-ikx} = u_0 e^{-ik\rho \cos\varphi} = u_0 \left[ J_0(ka) + 2 \sum_{n=1}^{\infty} (-i)^n J_n(ka) \cos n\varphi \right] -$$

давление в плоской волне, распространяющейся вдоль оси  $x$ , перпендикулярной к оси цилиндра  $z$ ,  $k = \frac{\omega}{c}$ ,  $\omega$  – круговая частота звуковых колебаний,  $c$  – скорость звука.

Тогда, согласно формуле (4.9), получим  $u$  – давление (амплитуда колебаний давления) в рассеянной волне:



$$u(\rho, \varphi) = -u_0 \left[ \frac{J_0(ka)}{H_0^{(2)}(ka)} H_n^{(2)}(k\rho) + 2 \sum_{n=1}^{\infty} (-i)^n \frac{J_n(ka)}{H_n^{(2)}(ka)} H_n^{(2)}(k\rho) \cos n\varphi \right].$$

В волновой зоне (на больших расстояниях от цилиндра  $k\rho \gg 1$ ) будем иметь

$$u(\rho, \varphi) \approx \sqrt{\frac{2}{\pi k\rho}} e^{-i(k\rho - \frac{\pi}{4})} \left( A_0 + \sum_{n=1}^{\infty} A_n (i)^n \cos n\varphi \right). \quad (4.10)$$

Интенсивность звука определяется выражением  $I = \frac{|u(\rho, \varphi)|^2}{2\mu c}$ ,

$\mu$  – плотность среды.

Таким образом, поток энергии рассеянного поля убывает пропорционально первой степени расстояния.

*Замечание.* Действительное звуковое поле есть сумма найденного поля (4.10) и падающей волны.

### III.

Рассмотрим рассеяние звука на твёрдой неподвижной сфере радиуса  $a$ . Пусть в направлении оси  $z$  из бесконечности падает плоская волна  $v = u_0 e^{-ikz} = u_0 e^{-ikr \cos\theta}$  на шар радиуса  $a$  с центром в начале координат. Надо найти давление (амплитуду) в рассеянной волне.

Рассматривая установившийся гармонический процесс  $u(x, y, z, t) = u(x, y, z)e^{i\omega t}$ , получаем для амплитуды  $u(x, y, z)$  уравнение Гельмгольца  $\Delta u + k^2 u = 0$ .

На поверхности сферы в силу её абсолютной твёрдости должна равняться нулю суммарная нормальная составляющая градиента, что приводит к граничному условию (условию сопряжения) для давления

$$\frac{\partial(u - v)}{\partial r} \Big|_{r=a} = 0, \text{ или } \frac{\partial u}{\partial r} \Big|_{r=a} = u_0 i k \cos\theta e^{-i k a \cos\theta}. \quad (4.11)$$

Рассеянная волна ведёт себя на бесконечности как расходящаяся сферическая волна, то есть удовлетворяет условию излучения

$$\lim_{r \rightarrow \infty} r \left( \frac{\partial u}{\partial r} + iku \right) = 0, \quad \lim_{r \rightarrow \infty} u = 0. \quad (4.12)$$

Разложим плоскую волну по сферическим функциям

$$u_0 e^{-ikz} = u_0 e^{-ikr \cos \theta} = u_0 \sum_{n=0}^{\infty} (2n+1)(-i)^n j_n(kr) P_n(\cos \theta), \quad (4.13)$$

где  $j_n(kr) = \sqrt{\frac{\pi}{2kr}} J_{n+\frac{1}{2}}(kr)$  – сферическая функция Бесселя 1-го рода.

Будем искать поле рассеянной волны в виде разложения в ряд по частным решениям уравнения Гельмгольца

$$u(r, \theta) = \sum_{n=0}^{\infty} A_n h_n(kr) P_n(\cos \theta), \quad (4.14)$$

где  $h_n(kr) = \sqrt{\frac{\pi}{2kr}} H_{n+\frac{1}{2}}^{(2)}(kr)$  – сферическая функция Ханкеля 2-го рода.

Подставим указанные ряды в условия сопряжения и приравняем два ряда. Тогда для определения коэффициентов  $A_n$  получим уравнение

$$A_n h'_n(ka) = u_0 (2n+1) i^n j'_n(ka). \quad (4.15)$$

Таким образом, решение для случая симметрии вращения относительно полярной оси, когда  $u$  не зависит от координаты  $\varphi$ , выражается формулой:

$$u(r, \theta) = -u_0 \sum_{n=0}^{\infty} (2n+1)(-i)^n \frac{j'_n(ka)}{h'_n(ka)} h_n(kr) P_n(\cos \theta). \quad (4.16)$$

Если длина волны велика по сравнению с размерами шара  $ka \ll 1$ , то решение данной задачи на большом удалении от шара  $kr \gg 1$  может быть представлено приближённой формулой

$$u(r, \theta) \approx -u_0 \frac{k^2 a^2}{3r} \left(1 - \frac{3}{2} \cos \theta\right) e^{-ikr}. \quad (4.17)$$

*Замечание.* Если зависимость от времени в задаче на установившиеся колебания характеризуется множителем  $e^{-i\omega t}$ , следует заменить  $H_{n+\frac{1}{2}}^{(2)}(kr)$  на  $H_{n+\frac{1}{2}}^{(1)}(kr)$ , а условие излучения

$$\frac{\partial u}{\partial \rho} + iku = o\left(\frac{1}{\rho}\right) \text{ при } \rho \rightarrow \infty \text{ на } \frac{\partial u}{\partial \rho} - iku = o\left(\frac{1}{\rho}\right).$$

### Тестовая задача.

Плоская звуковая волна распространяется в направлении, перпендикулярном оси неподвижного бесконечного жёсткого цилиндра радиуса  $a$ . Пусть потенциал скоростей в падающей волне

имеет вид  $U_0 = A e^{-i\omega(t - \frac{x}{c})}$ , где  $c$  – скорость звука. Решением какой задачи является комплексная амплитуда  $u$  потенциала скоростей  $U = u e^{-i\omega t}$  рассеянной волны?

Варианты ответов:

$$1) \left\{ \begin{array}{l} \Delta u + k^2 u = 0, \quad r > a, \quad \varphi \in [0, 2\pi], \quad k^2 = \frac{\omega^2}{c^2}; \\ \frac{\partial u}{\partial \rho} \Big|_{\rho=a} = -\frac{\partial u_0}{\partial \rho} \Big|_{\rho=a}, \quad \text{где } u_0 = A e^{ik\rho \cos\varphi}; \\ \frac{\partial u}{\partial \rho} - iku = o\left(\frac{1}{\sqrt{\rho}}\right), \quad u = O\left(\frac{1}{\rho}\right), \quad \text{при } \rho \rightarrow \infty. \end{array} \right.$$

$$2) \left\{ \begin{array}{l} \Delta u + k^2 u = 0, \quad r > a, \quad \varphi \in [0, 2\pi], \quad k^2 = \frac{\omega^2}{c^2}; \\ \frac{\partial u}{\partial \rho} \Big|_{\rho=a} = -\frac{\partial u_0}{\partial \rho} \Big|_{\rho=a}, \quad \text{где } u_0 = A e^{ik\rho \cos\varphi}; \\ u \rightarrow 0 \quad \text{при } \rho \rightarrow \infty. \end{array} \right.$$

$$3) \left\{ \begin{array}{l} \Delta u + k^2 u = 0, \quad r > a, \quad \varphi \in [0, 2\pi], \quad k^2 = \frac{\omega^2}{c^2}; \\ \frac{\partial u}{\partial \rho} \Big|_{\rho=a} = \frac{\partial u_0}{\partial \rho} \Big|_{\rho=a}, \quad \text{где } u_0 = A e^{ik\rho \cos\varphi}; \\ \frac{\partial u}{\partial \rho} - iku = o\left(\frac{1}{\sqrt{\rho}}\right), \quad u = O\left(\frac{1}{\rho}\right) \quad \text{при } \rho \rightarrow \infty. \end{array} \right.$$

Ответ. Вариант 1).

### Глава 3. ОРТОГОНАЛЬНЫЕ РЯДЫ

Представление искомых функций в виде функциональных рядов позволяет находить решение широкого круга физических и технических задач.

Кроме рядов Тейлора, представляющих функцию в окрестности фиксированной точки, во многих задачах математической физики используются функциональные ряды другого типа, а именно ортогональные ряды, или ряды Фурье.

Ряды Фурье дают разложение функций по полной системе ортогональных функций на отрезке  $[a, b]$ .

#### § 1. Скалярное произведение и норма в функциональном пространстве

Пусть имеется линейное функциональное пространство  $\{f\}$ , например, пространство  $L_2[a, b]$  – множество функций, интегрируемых с квадратом на  $[a, b]$ :

$$\int_a^b f^2(x)dx = M < \infty ,$$

или  $L_2[a, b, \rho]$ , интегрируемых с весом  $\rho(x)$  на  $[a, b]$ :

$$\int_a^b f^2(x)\rho(x)dx = M < \infty .$$

Скалярным произведением двух элементов  $f_1 \in \{f\}$  и  $f_2 \in \{f\}$  называется число  $(f_1, f_2)$ , если выполнены условия:

1.  $(f_1, f_2) = (f_2, f_1)$  – для вещественного пространства,
2.  $(f_1 + f_2, f_3) = (f_1, f_3) + (f_2, f_3)$ ,
3.  $(\alpha f_1, f_2) = \alpha (f_1, f_2)$ ,
4.  $|(f_1, f_2)| \leq (f_1, f_1) (f_2, f_2)$ ,
5.  $(f, f) \geq 0$  ( $= 0$  только при  $f = 0$ ).

Вещественное функциональное пространство со скалярным произведением называется *евклидовым* (комплексное пространство – *гильбертовым*).

Элементы  $f_1$  и  $f_2$  называются *ортгоналными*, если их скалярное произведение равно нулю:  $(f_1, f_2) = 0$ .

Число  $\|f\|$  называется *нормой* элемента  $f$

$$\|f\| = \sqrt{(f, f)}. \quad (1.1)$$

Пространство называется *нормированным*, если  $\|f\| = 1$ .

Для пространства  $L_2[a, b]$  скалярное произведение и норма имеют вид:

$$(f_1, f_2) = \int_a^b f_1(x)f_2(x)dx, \quad \|f\| = \sqrt{\int_a^b f^2(x)dx}; \quad (1.2)$$

для  $L_2[a, b, \rho]$ :

$$(f_1, f_2) = \int_a^b f_1(x)f_2(x)\rho(x)dx, \quad \|f\| = \sqrt{\int_a^b f^2(x)\rho(x)dx}. \quad (1.3)$$

*Замечание.* Весовая функция  $\rho(x)$  вводится для того, чтобы нужные функции  $\sqrt{\rho(x)}f_i(x)$  были ортгоналными.

Из свойств скалярного произведения следуют неравенства:

1.  $|(f_1, f_2)| \leq \|f_1\| \cdot \|f_2\|$  – неравенство Коши–Буняковского (Шварца);

2.  $\|f_1 + f_2\| \leq \|f_1\| + \|f_2\|$  – неравенство треугольника.

**Пример.** Найти нормы функций  $f_1 = x$ ,  $f_2 = \sin(x)$ , их скалярное произведение и угол между векторами  $f_1$  и  $f_2$  на интервале  $[-1, 1]$ .

*Решение.*

$$\|x\| = \sqrt{\int_{-1}^1 x^2 dx} = 2/3 = 0,667, \quad \|\sin(x)\| = \sqrt{\int_{-1}^1 \sin^2(x) dx} = -\cos(1)\sin(1) + 1 =$$

$$= 0,545, \quad [x, \sin(x)] = \int_{-1}^1 x \sin x dx = 0,602, \quad \cos(\varphi) = \frac{(x, \sin x)}{\|x\| \cdot \|\sin x\|} =$$

$$= \frac{0,602}{0,667 \cdot 0,545} = 1,606 \cdot 10^{-3}, \quad \varphi = 1,569 \text{ град.}$$

## § 2. Базисы в функциональных пространствах. Ряды Фурье

Пусть имеем линейно независимую систему  $\{\varphi_n\}$  в  $L_2[a, b]$  или в  $L_2[a, b, \rho]$ .

Система  $\{\varphi_n\}$  называется *базисом*, или *полной* системой, если любой элемент  $f \in L_2$  можно представить в виде линейной комбинации базисных элементов  $\varphi_n$ .

Доказано, что в  $L_2[a, b]$  нет конечных базисов.

Если система  $\{\varphi_n\}_0^\infty$  – бесконечный базис, то разложение функции  $f$  по базису – функциональный ряд

$$f = C_0 \varphi_0 + C_1 \varphi_1 + \dots + C_n \varphi_n + \dots = \sum_{n=0}^{\infty} C_n \varphi_n, \quad (2.1)$$

где числа  $C_n$  – коэффициенты линейной комбинации.

В качестве базисов удобно выбирать ортогональные или ортонормированные системы:

$$(\varphi_n, \varphi_k) = \begin{cases} 0, & n \neq k \\ \|\varphi_k\|^2, & n = k \end{cases}, \quad (\varphi_n, \varphi_k) = \begin{cases} 0 & n \neq k \\ 1 & n = k \end{cases}. \quad (2.2)$$

Функциональный ряд (2.1) сходится к  $f$  в *среднем* на интервале  $(a, b)$ , то есть по норме пространства  $L_2[a, b]$ , если

$$\lim_{n \rightarrow \infty} \left\| f - \sum_{k=0}^n C_k \varphi_k \right\| = 0, \quad \int_a^b (f - \sum_{k=0}^n C_k \varphi_k)^2 dx \rightarrow 0, \text{ при } n \rightarrow \infty. \quad (2.3)$$

Сходящиеся в среднем ряды можно почленно интегрировать.

Пусть система  $\{\varphi_n\}_0^\infty$  – базис. Найдём коэффициенты  $C_n$  ряда (2.1), умножив ряд скалярно на  $\varphi_n$ . Учитывая ортогональность функций системы  $\{\varphi_n\}_0^\infty$ , получим коэффициенты  $C_n$ , которые называются *коэффициентами Фурье* функции  $f$  по системе  $\{\varphi_n\}_0^\infty$ :

$$C_n = \frac{(f, \varphi_n)}{\|\varphi_n\|^2} \text{ – для ортогонального базиса;} \quad (2.4)$$

$$C_n = (f, \varphi_n) \text{ – для ортонормированного базиса.} \quad (2.5)$$

Функциональный ряд

$$C_0 \varphi_0 + C_1 \varphi_1 + \dots + C_n \varphi_n + \dots = \sum_{n=0}^{\infty} C_n \varphi_n ,$$

где  $C_n$  – коэффициенты Фурье, называется *ортгоналным* рядом, или *рядом Фурье* функции  $f$  по системе  $\{\varphi_n\}_0^\infty$ . Все слагаемые ряда Фурье ортогональны друг другу.

Ряд Фурье по полной системе  $\{\varphi_n\}_0^\infty$  сходится к функции  $f$  в среднем, то есть в смысле (2.3).

Сходимостъ в среднем, как правило, достаточна для целей физики, так как две функции  $f_1$  и  $f_2$ , равные в среднем, то есть такие, что  $\int_a^b |f_1 - f_2|^2 dx = 0$ , могут отличаться друг от друга на множестве точек, столь малом, что это не влияет на значение интегралов от  $f_1$  и  $f_2$ . Две такие функции обычно считаются эквивалентными.

### ***Геометрическая интерпретация*** рядов Фурье.

Для интерпретации рядов Фурье удобно использовать геометрические представления линейной алгебры. Выбранный класс функций рассматривается как бесконечномерное линейное векторное пространство, в котором векторами являются функции. Равенство нулю скалярного произведения есть условие ортогональности векторов.

Функция  $f$  есть вектор в таком пространстве, а функции ортогональной системы  $\{\varphi_n\}_0^\infty$  – базисные орты этого пространства.

Ряд Фурье функции  $f$  по системе  $\{\varphi_n\}_0^\infty$  можно трактовать как разложение  $f$  по базисным ортам, при этом коэффициенты  $C_n$  имеют смысл проекций вектора  $f$  на базисные орты  $\varphi_n$ , то есть

- 1)  $f$  – вектор пространства,
- 2)  $\{\varphi_n\}$  – базисные орты пространства,
- 3)  $C_n$  – проекции вектора  $f$  на базисные орты  $\varphi_n$ , то есть вклад орта  $\varphi_n$  в вектор  $f$ .

### ***Критерий ортонормированного базиса***

Следующая теорема даёт условие полноты системы  $\{\varphi_n\}$  для рассматриваемых функций  $f(x)$ .

Теорема. Для того чтобы ортонормированная система  $\{\varphi_n\}$  была полной, т. е. являлась базисом, необходимо и достаточно, чтобы для любого элемента  $f \in L_2$  выполнялось равенство Парсеваля:

$$\|f\|^2 = \sum_{n=0}^{\infty} C_n^2, \quad (2.6)$$

где  $C_n$  – коэффициенты Фурье функции  $f$  по системе  $\{\varphi_n\}_0^{\infty}$ .

Если система  $\{\varphi_n\}$  ортогональна, равенство (2.6) принимает вид

$$\|f\|^2 = \sum_{n=0}^{\infty} C_n^2 \|\varphi_n\|^2. \quad (2.7)$$

Формула (2.7) представляет собой обобщение теоремы Пифагора на бесконечномерные пространства.

Если система  $\{\varphi_n\}$  не полная, то вместо равенства Парсеваля имеем неравенство Бесселя:

$$\|f\|^2 \geq \sum_{n=0}^{\infty} C_n^2. \quad (2.8)$$

Если область бесконечна, то достичь полноты можно, лишь беря плотную последовательность функций, используемых для получения разложения. Индекс-параметр  $n$  превращается тогда в переменную  $t$ , и вместо  $\varphi_n(x)$  следует взять содержащую два параметра функцию  $\varphi(t, x)$ . Разложение при этом имеет вид

$$f(x) = \int_{-\infty}^{\infty} C(t) \varphi(t, x) dt, \quad (2.9)$$

если 
$$\int_{-\infty}^{+\infty} \varphi(t, x) \varphi(t', x) dx = \begin{cases} 0, & t \neq t' \\ 1, & t = t' \end{cases}$$

то 
$$C(t) = \int_{-\infty}^{+\infty} \varphi(t, x) f(x) dx.$$

Функция  $C(t)$  называется *спектральной функцией* представления. Соотношение полноты здесь принимает вид

$$\int_{-\infty}^{\infty} |C(t)|^2 dt = \int_{-\infty}^{+\infty} |f(x)|^2 dx. \quad (2.10)$$



При аппроксимации функции  $f$  линейной комбинацией  $T_n$  первых  $n$  функций системы  $\{\varphi_n\}_0^\infty$ :

$$f \approx T_n = a_0\varphi_0 + a_1\varphi_1 + \dots + a_n\varphi_n = \sum_{k=0}^n a_k\varphi_k,$$

наилучшее среднеквадратическое приближение даёт частичная сумма ряда Фурье  $S_n$ , где  $a_k = C_k$  – коэффициенты Фурье:

$$T_n = S_n = \sum_{k=0}^n C_k\varphi_k, \quad \|f - S_n\| - MIN. \quad (2.11)$$

**Пример.** Построить для функции  $f(x) = e^{-x}$  на интервале  $[-1, 1]$  многочлен  $T_1(x) = C_0 + C_1x$  наилучшего среднеквадратического приближения.

*Решение.* На отрезке  $[-1, 1]$  можно взять ортогональную систему полиномов Лежандра  $P_n(x)$ , первые члены которой есть  $\varphi_1 = P_0(x) = 1$ ,  $\varphi_2 = P_1(x) = x$ .

Искомый многочлен имеет вид  $T_1(x) = C_0 \cdot 1 + C_1 x$ .

Найдём коэффициенты Фурье:

$$C_0 = \frac{(e^{-x}, 1)}{\|1\|^2} = \frac{\int_{-1}^1 e^{-x} 1 dx}{\int_{-1}^1 1^2 dx} = \frac{2,35}{2} = 1,17,$$

$$C_1 = \frac{(e^{-x}, x)}{\|x\|^2} = \frac{\int_{-1}^1 e^{-x} x dx}{\int_{-1}^1 x^2 dx} = \frac{-0,736}{0,667} = -1,103.$$

Получили наилучшее, в смысле среднего квадратичного, приближение функции  $f(x) = e^{-x}$  полиномом 1-й степени:

$$e^{-x} \approx S_1(x) = T_1(x) = 1,17 - 1,103x.$$

Геометрический смысл полученного приближения: площадь между графиком функции  $e^{-x}$  (сплошная линия) и графиком  $T_1(x)$  (пунктирная линия) на рис. 34 минимальна на отрезке  $[-1, 1]$  среди всех полиномов вида  $P(x) = a_0 + a_1x$ .

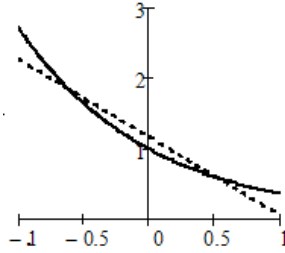


Рис. 34

### § 3. Ортогональные системы

В качестве ортогональной системы  $\{\varphi_i\}$  обычно берут собственные функции задачи Штурма–Лиувилля.

Задачей Штурма–Лиувилля принято называть задачу о нахождении нетривиальных (ненулевых) решений однородного дифференциального уравнения вида

$$\frac{d}{dx} \left[ p(x) \frac{dy}{dx} \right] + [\lambda \rho(x) - q(x)] y = 0, \quad x \in [a, b] \quad (3.1)$$

при однородных граничных условиях, например

$$y(a) = 0, \quad y(b) = 0, \quad (3.2)$$

или  $y(a)$  – ограничена, если  $a$  – особая точка уравнения. Функции  $p(x)$ ,  $\rho(x)$  и  $q(x)$  – известны,  $\lambda$  – параметр.

Если уравнение (3.1) записано в виде

$$A(x) y''(x) + B(x) y'(x) + C(x) y(x) = -\lambda y(x),$$

то  $p(x)$ ,  $q(x)$ ,  $\rho(x)$  выражаются через  $A$ ,  $B$  и  $C$  формулами:

$$p(x) = e^{\int_a^x \frac{B(x)}{A(x)} dx}, \quad \rho(x) = \frac{p(x)}{A(x)}, \quad q(x) = -C(x)\rho(x).$$

Уравнение (3.1) вместе с однородными краевыми условиями есть задача на собственные функции и собственные значения оператора Штурма–Лиувилля  $L$ :

$$Ly = \lambda y, \quad (3.3)$$

$$L = \frac{1}{\rho(x)} \frac{d}{dx} \left[ p(x) \frac{d}{dx} \right] + \frac{q(x)}{\rho(x)},$$

определённого на функциях, удовлетворяющих однородным краевым условиям.

Те значения  $\lambda_n$ , при которых нетривиальное решение задачи существует, называются *собственными значениями* задачи Ш-Л, а соответствующие им решения  $y_n$  – *собственными функциями* задачи Ш-Л. Совокупность собственных значений  $\lambda_n$  называется *спектром* оператора  $L$ .

Задача Штурма–Лиувилля характеризуется четырьмя важными свойствами:

1. Существует бесконечное множество вещественных собственных значений  $\lambda_n$ :  $\lambda_1 < \lambda_2 < \dots$ ,  $\lambda_n < \dots$ , которым соответствуют собственные функции  $y_1(x), y_2(x), \dots, y_n(x), \dots$ .

2. При  $q(x) \geq 0$  все собственные значения  $\lambda_n$  неотрицательны.

3. Собственные функции  $y_n(x)$  и  $y_m(x)$ , соответствующие разным собственным значениям  $\lambda_n$  и  $\lambda_m$ , ортогональны между собой с весом  $\rho(x)$  на интервале  $(a, b)$ .

4. Собственные функции  $\{y_n\}_0^\infty$  образуют ортогональный базис в  $L_2[a, b]$  с весом  $\rho(x)$ .

Произвольную функцию  $f \in L_2[a, b]$  можно разложить в ряд Фурье по собственным функциям  $\{y_n\}_0^\infty$  задачи Ш-Л. Этот ряд сходится в смысле среднего квадратичного:

$$f(x) = \sum_{n=0}^{\infty} C_n y_n, \quad C_n = \frac{(f, y_n)}{\|y_n\|^2} = \frac{\int_a^b f(x) y_n(x) \rho(x) dx}{\int_a^b y_n^2(x) \rho(x) dx}. \quad (3.4)$$

Если функция  $f(x)$  имеет при  $a < x < b$  непрерывные первые и вторые производные и удовлетворяет граничным условиям задачи, то имеет место следующая *теорема разложимости*.

**Теорема.** Функция  $f(x)$  разлагается на интервале  $(a, b)$  в равномерно сходящийся ряд (3.4) по собственным функциям  $\{y_n\}_0^\infty$  данной задачи.

Для различных  $p, q, \rho$  и  $\lambda$  получаем частные случаи уравнения (3.1):

1) уравнение Бесселя:

$$(xy')' + \left(x - \frac{v^2}{x}\right)y = 0, \quad p(x) = x, \quad q(x) = \frac{v^2}{x}, \quad \rho(x) = x, \quad \lambda = 1;$$

2) обобщённое уравнение Бесселя:

$$(xy')' + \left(k^2x - \frac{v^2}{x}\right)y = 0, \quad p(x) = x, \quad q(x) = \frac{v^2}{x}, \quad \rho(x) = x, \quad \lambda = k^2;$$

3) уравнение Лежандра:

$$[(1-x^2)y']' + \lambda y = 0, \quad p(x) = 1-x^2, \quad q(x) = 0, \quad \rho(x) = 1.$$

### Примеры ортогональных систем.

1. Система функций Бесселя.

Система функций Бесселя 1-го рода  $\{\varphi_n\}_1^\infty = \left\{J_\nu\left(\mu_n \frac{x}{\ell}\right)\right\}_1^\infty$  ортогональна на промежутке  $[0, \ell]$  с весом  $\rho(x) = x$ ,  $\nu$  – индекс уравнения,  $\mu_n$  – корень функции Бесселя с номером  $n$ :

$$\int_0^\ell J_\nu\left(\mu_n \frac{x}{\ell}\right) J_\nu\left(\mu_j \frac{x}{\ell}\right) x dx = \begin{cases} \frac{\ell^2}{2} J_{\nu+1}^2(\mu_n), & n = j, \\ 0, & n \neq j. \end{cases}$$

Если  $f(x)$  – кусочно-непрерывная функция в интервале  $(0, \ell)$ ,

и интеграл  $\int_0^\ell \sqrt{x} |f(x)| dx$  сходится, то справедлива следующая теорема.

**Теорема.** Ряд Фурье-Бесселя

$$\sum_{n=1}^{\infty} C_n J_\nu\left(\mu_n \frac{x}{\ell}\right),$$

где  $C_n = \frac{2}{\ell^2 J_{\nu+1}^2(\mu_n)} \int_0^\ell f(x) J_\nu\left(\mu_n \frac{x}{\ell}\right) x dx,$

сходится к  $f(x)$  в ее точках непрерывности, а в точках разрыва 1-го рода сумма ряда равна  $\frac{1}{2}[f(x-0) + f(x+0)].$

## 2. Тригонометрическая система.

Разложение по тригонометрическим функциям называется *гармоническим анализом*.

Система тригонометрических функций

$$\left\{ 1, \sin \frac{n\pi x}{\ell}, \cos \frac{n\pi x}{\ell} \right\}_0^\infty \quad (3.5)$$

называется *общей тригонометрической системой*, она ортогональна на  $[-\ell, \ell]$ .

Функция  $f(x) \in L_2[-\ell, \ell]$  раскладывается в тригонометрический ряд Фурье

$$f(x) = \frac{1}{2} a_0 + \sum_{n=1}^{\infty} \left( a_n \cos \frac{n\pi}{\ell} x + b_n \sin \frac{n\pi}{\ell} x \right), \quad (3.6)$$

$$a_n = \frac{1}{\ell} \int_{-\ell}^{\ell} f(x) \cos \frac{n\pi}{\ell} x dx, \quad b_n = \frac{1}{\ell} \int_{-\ell}^{\ell} f(x) \sin \frac{n\pi}{\ell} x dx. \quad (3.7)$$

При этом (теорема *Дирихле*), если  $S(x)$  – сумма ряда (3.6), то

$$S(x) = \begin{cases} f(x), & x - \text{точка непрерывности;} \\ \frac{1}{2}[f(x-0) + f(x+0)], & x - \text{точка разрыва 1-го рода} \\ \frac{1}{2}[f(-\ell+0) + f(\ell-0)], & x = \pm\ell. \end{cases}$$

**Пример.** Задача Ш-Л (*гармонический осциллятор*):

$$y'' + \lambda y = 0, \quad y(0) = 0, \quad y(2\pi) = 0$$

имеет собственные значения  $\lambda_n = n^2$  и собственные функции  $\cos n\pi$ ,  $\sin n\pi$ ,  $n = 0, 1, 2, \dots$  на отрезке  $[0, 2\pi]$ .

3. Системы ортогональных полиномов (см. табл. 2).

Таблица 3

Название	Обозначение	Область	$\rho(x)$	$\ \cdot\ ^2$
Полиномы Лежандра	$P_n(x)$	$[-1, 1]$	1	$\frac{2}{2n+1}$
Полиномы Чебышева I	$T_n(x)$	$[-1, 1]$	$(1-x^2)^{-1/2}$	$\frac{\pi}{2}, n \neq 0$ $\pi, n=0$
Полиномы Лагерра	$L_n(x)$	$[0, \infty)$	$e^{-x}$	1
Полиномы Эрмита	$H_n(x)$	$(-\infty, \infty)$	$e^{-x^2}$	$2^n n! \pi^{1/2}$

Рассмотрим вопрос о представлении решений дифференциальных уравнений в виде суперпозиции частных решений.

Пусть  $L(u)$  – линейный дифференциальный оператор, равный сумме некоторых производных функции (обыкновенных или частных) с коэффициентами, являющимися функциями независимых переменных

Имеет место следующий *обобщённый принцип суперпозиции*.

Если функции  $u_n$  ( $n = 1, 2, \dots$ ) являются частными решениями уравнения  $L(u) = 0$ , то ряд  $u = \sum_{n=1}^{\infty} C_n u_n$  является также решением этого уравнения при условии, что ряд можно почленно дифференцировать.

Достаточным условием возможности почленного дифференцирования ряда является условие равномерной сходимости ряда  $\sum_{n=1}^{\infty} C_n L(u_n)$ .

### Задачи.

Одномерные задачи Штурма–Лиувилля.

1. Найти собственные значения и собственные функции для уравнения

$$\frac{d^2 y}{dx^2} + \lambda y = 0,$$

если  $x$  меняется в промежутке  $0 < x < \ell$  для граничных условий, указанных в табл. 4.

Таблица 4

Вар.	Условия	Ответ
1	2	3
1	$y _{x=0} = 0, y _{x=\ell} = 0$	$\lambda_n = \frac{n^2 \pi^2}{\ell^2}, y_n = C_n \sin\left(\frac{n\pi}{\ell} x\right), n = 1, 2, 3, \dots$
2	$y _{x=0} = 0, \frac{dy}{dx} _{x=\ell} = 0$	$\lambda_n = \frac{(2n+1)^2 \pi^2}{4\ell^2}, y_n = C_n \sin\left[\frac{(2n+1)\pi}{2\ell} x\right],$ $n = 0, 1, 2, 3.$
3	$\frac{dy}{dx} _{x=0} = 0, y _{x=\ell} = 0$	$\lambda_n = \frac{(2n+1)^2 \pi^2}{4\ell^2}, y_n = C_n \cos\left[\frac{(2n+1)\pi}{2\ell} x\right],$ $n = 0, 1, 2, 3, \dots$

1	2	3
4	$\frac{dy}{dx} \Big _{x=0} = 0,$ $\frac{dy}{dx} \Big _{x=\ell} = 0$	$\lambda_0 = 0, y_0 = C_0 = \text{const};$ $\lambda_n = \frac{n^2 \pi^2}{\ell^2}, y_n = C_n \cos\left(\frac{n\pi}{\ell} x\right), n = 1, 2, 3, \dots$
5	$y \Big _{x=0} = 0,$ $\left(\frac{dy}{dx} + hy\right) \Big _{x=\ell} = 0$	$\lambda_n = \frac{\gamma_n^2}{\ell^2},$ где $\gamma_n$ – положительные корни уравнения $\text{tg} \gamma \ell = -\frac{\gamma}{h\ell}, y_n = C_n \sin\left(\frac{\gamma_n}{\ell} x\right)$
6	$\left(\frac{dy}{dx} + hy\right) \Big _{x=0} = 0, y \Big _{x=\ell} = 0$	$\lambda_n = \frac{\gamma_n^2}{\ell^2},$ где $\gamma_n$ – положительные корни уравнения $\text{tg} \gamma \ell = -\frac{\gamma}{h\ell}, y_n = C_n \sin\left[\frac{\gamma_n(\ell - x)}{\ell}\right], n = 1, 2, 3, \dots$
7	$\frac{dy}{dx} \Big _{x=0} = 0,$ $\left(\frac{dy}{dx} + hy\right) \Big _{x=\ell} = 0$	$\lambda_n = \frac{\gamma_n^2}{\ell^2},$ где $\gamma_n$ – положительные корни уравнения $\text{tg} \gamma \ell = \frac{h\ell}{\gamma}, y_n = C_n \cos\left(\frac{\gamma_n}{\ell} x\right)$
8	$\left(-\frac{dy}{dx} + hy\right) \Big _{x=0} = 0,$ $\frac{dy}{dx} \Big _{x=\ell} = 0$	$\lambda_n = \frac{\gamma_n^2}{\ell^2},$ где $\gamma_n$ – положительные корни уравнения $\text{tg} \gamma \ell = \frac{h\ell}{\gamma}, y_n = C_n \cos\left[\frac{\gamma_n(\ell - x)}{\ell}\right]$
9	$\left(-\frac{dy}{dx} + hy\right) \Big _{x=0} = 0,$ $\left(\frac{dy}{dx} + hy\right) \Big _{x=\ell} = 0$	<p>Спектр состоит из двух независимых наборов собственных чисел: <math>\lambda_n = \left(\frac{2\gamma_n}{\ell}\right)^2</math>, где <math>\gamma_n</math> – положительные корни уравнения <math>\text{tg} \gamma \ell = -\frac{2\gamma}{h\ell}, y_n = C_n \sin \frac{\gamma_n(\ell - 2x)}{\ell}</math>, и <math>\lambda_k = \left(\frac{2\gamma_k}{\ell}\right)^2</math>, где <math>\gamma_k</math> – положительные корни уравнения <math>\text{tg} \gamma \ell = \frac{h\ell}{2\gamma}, y_k = D_k \cos\left[\frac{\gamma_k(\ell - x)}{\ell}\right], n = 1, 2, 3, \dots</math></p>

1	2	3
10	$y _{x=0} = y _{x=\ell}$ $\frac{dy}{dx} _{x=0} = \frac{dy}{dx} _{x=\ell}$	$\lambda_0 = 0, y_0 = C_0 = \text{const}; \lambda_n = \frac{2n^2\pi^2}{\ell^2},$ $y_n = C_n \cos\left(\frac{2n\pi}{\ell}x\right) + D_n \sin\left(\frac{2n\pi}{\ell}x\right), n = 1, 2,$ $3 \dots$ , здесь $C_n$ и $D_n$ — две произвольные постоянные, одному собственному числу соответствуют две линейно независимые собственные функции

2. Найти собственные значения и собственные функции для уравнения

$$\frac{d^2y}{dx^2} + \lambda y = 0,$$

если  $x$  меняется в интервале  $-\ell < x < \ell$  для граничных условий, указанных в табл. 5.

Таблица 5

Вар.	Условия	Ответ
1	$y _{x=\ell} = 0, y _{x=-\ell} = 0$	$\lambda_n = \frac{(2n+1)^2\pi^2}{4\ell^2}, y_n = C_n \cos\left(\frac{(2n+1)\pi}{2\ell}x\right), n = 0, 1, 2, \dots$ $\lambda_k = \frac{k^2\pi^2}{\ell^2}, y_k = D_k \sin\left(\frac{k\pi}{\ell}x\right), (k = 1, 2, 3 \dots)$
2	$\frac{dy}{dx} _{x=\ell} = 0,$ $\frac{dy}{dx} _{x=-\ell} = 0$	$\lambda_0 = 0, y_0 = C_0 = \text{const};$ $\lambda_n = \frac{n^2\pi^2}{\ell^2}, y_n = C_n \cos\left(\frac{n\pi}{\ell}x\right), n = 1, 2, 3, \dots$ $\lambda_k = \frac{(2k+1)^2\pi^2}{4\ell^2}, y_k = D_k \sin\left(\frac{(2k+1)\pi x}{\ell}\right), k = 1, 2, 3 \dots$
3	$\left(\frac{dy}{dx} + hy\right) _{x=\ell} = 0$ $\left(-\frac{dy}{dx} + hy\right) _{x=-\ell} = 0$	$\lambda_n = \frac{\gamma_n^2}{\ell^2}$ , где $\gamma_n$ — положительные корни уравнения $\text{tg}\gamma = -\frac{\gamma}{h\ell}, y_n = C_n \sin\left(\frac{\gamma_n}{\ell}x\right),$ $\lambda_k = \left(\frac{\gamma_k}{\ell}\right)^2$ , где $\gamma_k$ — положительные корни уравнения $\text{tg}\gamma = \frac{h\ell}{\gamma}, y_k = D_k \cos\left(\frac{\gamma_k x}{\ell}\right), k = 1, 2, 3 \dots$



1	2	3
4	$y _{x=-\ell} = y _x = \ell$ $\frac{dy}{dx} _{x=-\ell} =$ $= \frac{dy}{dx} _{x=\ell}$	$\lambda_0 = 0, y_0 = C_0 = \text{const}; \lambda_n = \frac{n^2 \pi^2}{\ell^2}, y_n = C_n \cos\left(\frac{n\pi}{\ell} x\right) + D_n$ $\sin\left(\frac{n\pi}{\ell} x\right), n = 1, 2, 3, \dots$

#### § 4. Применение ортогональных рядов для решения дифференциальных уравнений

Разность между данной функцией  $F$  и частичной суммой ряда Фурье  $F - S_n$  называют *невязкой* и обозначают

$$\varepsilon_n = F - S_n, \quad S_n = \sum_{k=0}^n C_k \varphi_k.$$

Невязка  $\varepsilon_n = \sum_{k=n+1}^{\infty} C_k \varphi_k$  — это остаток ряда Фурье, содержащий функции  $\varphi_{n+1}, \varphi_{n+2}, \dots$ .

Если  $S_n = \sum_{k=0}^n C_k \varphi_k$  — полином наилучшего приближения в смысле среднего квадратичного, то невязка  $\varepsilon_n = F - S_n$  ортогональна ко всем первым функциям  $\varphi_0, \varphi_1, \dots, \varphi_n$ , входящим в  $S_n$ :  $\varepsilon_n \perp \varphi_k$ , то есть

$$(\varepsilon_n, \varphi_k) = (F - S_n, \varphi_k) = 0, \quad k = 0, 1, \dots, n. \quad (4.1)$$

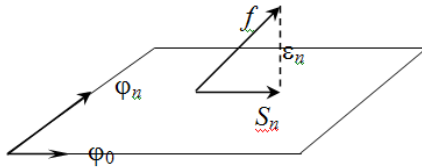


Рис. 35

Из условия ортогональности (4.1) удобно находить коэффициенты  $C_0, C_1, \dots, C_n$ .

Свойство (4.1) является основой следующего метода для решения дифференциальных уравнений (*метод Галёркина*).

Пусть требуется найти решение дифференциального уравнения

$$L y = f \quad (4.2)$$

при условиях  $y(a) = y_a, \quad y(b) = y_b,$  (4.3)

где  $L$  – дифференциальный оператор (например,  $L = \frac{d^2}{dx^2}$ ),  $f(x)$  – известная функция.

Приближённое решение  $y_n(x)$  ищем в виде линейной комбинации базисных функций  $\{\varphi_k\}$ :

$$y_n(x) = \sum_{k=0}^n C_k \varphi_k(x), \quad (4.4)$$

где  $y_n$  –  $n$ -е приближение к решению задачи (4.2)–(4.3),  $C_k$  – неизвестные коэффициенты.

При каждом  $n$  должны выполняться граничные условия (4.3). Для этого удобно представить  $y_n$  в виде

$$y_n(x) = \varphi_0(x) + \sum_{k=1}^n C_k \varphi_k(x), \quad (4.5)$$

где  $\varphi_0(x)$  удовлетворяет условиям (4.3):

$$\varphi_0(a) = y_a, \quad \varphi_0(b) = y_b,$$

а  $\varphi_k(x)$  – однородным условиям

$$\varphi_k(a) = \varphi_k(b) = 0, \quad k = 1, \dots, n.$$

Если  $y = y^*$  – точное решение уравнения (4.2), то разность  $L y^* - f$  тождественно равна нулю для  $x \in [a, b]$ ,  $L y^* - f \equiv 0$ .

Если  $y = y_n$  – приближённое решение (4.4), то разность  $L y_n - f = \varepsilon_n$  уже не равна нулю, но будет некоторой малой величиной, которая называется погрешностью приближения или *невязкой*.

Из формулы (4.1) следует, что наилучшим приближением  $y_n$  (4.4) к точному решению  $y^*$  будет приближение, при котором невязка  $\varepsilon_n$  будет ортогональна ко всем базисным функциям  $\varphi_k(x)$ , включённым в линейную комбинацию (4.4):

$$(\varepsilon_n, \varphi_k) = 0, \quad k = 0, 1, \dots, n. \quad (4.6)$$

Поэтому неизвестные параметры  $C_k$  определяются из условия ортогональности невязки  $\varepsilon_n$  к элементам  $\varphi_1, \dots, \varphi_n$ :

$$(Ly_n - f, \varphi_k) = \int_a^b (Ly_n - f)\varphi_k(x)dx = 0, k = 1 \dots n. \quad (4.7)$$

Уравнения (4.7) называются *уравнениями Бубнова – Галёркина*. Базисные функции  $\varphi_k(x)$  в методе Галёркина часто называют *координатными функциями*.

**Пример.** Найти методом Галёркина первое и второе приближения для краевой задачи:

$$y'' + y = -x, y(0) = y(1) = 0, [Ly = f(x), L = \frac{d^2}{dx^2} + 1, f(x) = -x].$$

*Решение.* Выберем координатные функции так, чтобы выполнялись нулевые граничные условия:

$$\varphi_1 = x(1-x), \varphi_2 = x^2(1-x), \varphi_3 = x^3(1-x), \dots$$

Эти функции линейно независимы, так как содержат различные степени  $x$ .

Первое приближение  $y_1$  содержит одну функцию  $\varphi_1$ :

$$y_1 = C \varphi_1(x) = Cx(1-x), \quad y_1'' = -2C,$$

$$\varepsilon_1(x) = Ly_1 - f = y_1'' + y_1 + x = -2C + Cx(1-x) + x.$$

Подставим  $y_1$  в уравнение (4.7):

$$\int_0^1 \varepsilon_1(x)\varphi_1(x)dx = \int_0^1 [-2C + Cx(1-x) + x]x(1-x)dx = 0.$$

Интегрируя, получим  $\frac{3}{10}C - \frac{1}{12} = 0$ , откуда  $C = \frac{5}{18}$ .

Тогда  $y_1(x) = \frac{5}{18}x(1-x)$  – первое приближение.

Найдем второе приближение:

$$y_2(x) = C_1x(1-x) + C_2x^2(1-x), \quad y_2''(x) = -2C_1 + C_2(2-6x).$$

Для  $\varepsilon_2$  получим

$$\begin{aligned} \varepsilon_2 &= Ly_2 - f = y_2'' + y_2 + x = \\ &= -2C_1 + C_2(2-6x) + C_1x(1-x) + C_2x^2(1-x) + x. \end{aligned}$$

Напишем условия ортогональности (4.6):

$$\int_0^1 \varepsilon_2(x) \varphi_1(x) dx = \int_0^1 [-2C_1 + C_2(2-6x) + C_1x(1-x) + C_2x^2(1-x) + x]x(1-x) dx = 0;$$

$$\int_0^1 \varepsilon_2(x) \varphi_2(x) dx = \int_0^1 [-2C_1 + C_2(2-6x) + C_1x(1-x) + C_2x^2(1-x) + x]x^2(1-x) dx = 0.$$

После вычисления интегралов получим систему:

$$\begin{cases} \frac{3}{10}C_1 + \frac{3}{20}C_2 = \frac{1}{12}, \\ \frac{3}{20}C_1 + \frac{13}{105}C_2 = \frac{1}{20} \end{cases}, \text{ откуда } C_1 = \frac{71}{369}, C_2 = \frac{7}{41}.$$

Тогда второе приближение получим по формуле:

$$y_2(x) = \frac{71}{369}x(1-x) + \frac{7}{41}x^2(1-x) = x(1-x)\left(\frac{71}{369} + \frac{7}{41}x\right).$$

Сравним известное точное решение этой задачи  $y^*(x) = \frac{\sin x}{\sin 1} - x$

с приближёнными  $y_1(x)$  и  $y_2(x)$  в нескольких точках:

Таблица 6

$x$	0	0,2	0,4	0,6	0,8	0
$y_1$	0	0,044	0,067	0,067	0,044	0
$y_2$	0	0,036	0,063	0,071	0,053	0
$y^*$	0	0,036	0,063	0,071	0,053	0

Как видно из табл. 6,  $y^*$  и  $y_2$  совпали в пределах заданной точности.

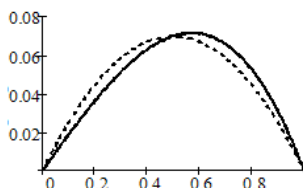


Рис. 36

На рис. 36 представлены  $y^*$  (сплошная линия),  $y_1$  (пунктирная линия) и  $y_2$ , при этом  $y^*$  совпало с  $y_2$ .

Отметим, что схема применения метода не зависит ни от порядка уравнения, ни от числа уравнений, ни от количества независимых переменных.

## **Литература**

1. Справочник по специальным функциям. – М.: Наука, 1979.
2. *Градштейн И.С., Рыжик И.М.* Таблицы интегралов, суммы рядов и произведений. – М.: Наука, 1971. – 1108 с.
3. *Янке Б., Эмде Ф., Леш Ф.* Специальные функции. – М.: Наука, 1977.
4. *Кузнецов Д.С.* Специальные функции. – М.: Высшая школа, 1965.
5. *Лебедев Н.Н.* Специальные функции и их применение. – СПб.: Лань, 2010.
6. *Бейтмен Г., Эрдейн А.* Высшие трансцендентные функции. Гипергеометрическая функция, функция Лежандра. Т. 1. – М.: Наука, 1973. – 294 с.
7. *Бронштейн И.Н., Семендяев К.А.* Справочник по математике. – М.: Наука, 1967.
8. *Корн Г., Корн Т.* Справочник по математике. – М.: Наука, 1979.
9. *Арсенин В.Я.* Методы математической физики и специальные функции. – М.: Наука, 1974.
10. *Кручкович Г.И. и др.* Сборник задач и упражнений по специальным главам высшей математики. – М.: Высшая школа, 1970.
11. *Камке Э.* Справочник по обыкновенным дифференциальным уравнениям. – М.: Наука, 1971. – 576 с.
12. *Данилов Ю.А.* Многочлены Чебышева. – М., 2003.

## **Дополнительная литература**

13. *Тихонов А.Н., Самарский А.А.* Уравнения математической физики. – М.: Наука, 1972. – 735 с.
14. *Смирнов В.И.* Курс высшей математики. Т. 3. – М.: Наука, 1969. – 672 с.
15. *Будак Б.М., Самарский А.А., Тихонов А.Н.* Сборник задач по уравнениям математической физики. – М.: Наука, 1980. – 686 с.
16. *Кошляков Н.С., Глинер Э.Б., Смирнов М.М.* Уравнения в частных производных математической физики. – М.: Высшая школа, 1970. – 710 с.
17. *Арфкен Г.* Математические методы в физике. – М.: Атомиздат, 1970. – 712 с.
18. *Ньютон Р.* Теория рассеяния волн и частиц. – М.: Мир, 1969. – 607 с.
19. *Фарлоу С.* Уравнения с частными производными. – М.: Мир, 1985. – 380 с.
20. *Морс Ф.М., Фешбах Г.* Методы теоретической физики. – М.: Иностранная литература, 1962. Т. 1. – 923 с. Т. 2. – 897 с.
21. *Аксёненкова И.М. и др.* Ряды. Интеграл Фурье. Приложения. – М., 2009.

Учебное издание

Татьяна Георгиевна Андреева

МАТЕМАТИКА:  
СПЕЦИАЛЬНЫЕ ФУНКЦИИ И  
НЕКОТОРЫЕ ПРИЛОЖЕНИЯ

Учебное пособие

*Редактор* Г.И. Беликова  
*Компьютерная верстка* Н.И. Афанасьевой  
ЛР № 020309 от 30.12.96

---

Подписано в печать 30.08.13. Формат 60×90 <sup>1</sup>/<sub>16</sub>. Гарнитура Times New Roman.  
Печать цифровая. Усл. печ. л. 6,4. Тираж 300 экз. Заказ № 243.  
РГМУ, 195196, Санкт-Петербург, Малоохтинский пр., 98.  
Отпечатано в ЦОП РГМУ

---